

**O'ZBEKISTON RESPUBLIKASI  
OLIY VA O'RTA MAXSUS TA'LIM VAZIRLIGI**

**ABU RAYHON BERUNIY NOMIDAGI  
TOSHKENT DAVLAT TEXNIKA UNIVERSITETI**

**RADIOTEXNIK ZANJIRLAR VA  
SIGNALLAR**

*O'quv-uslubiy qo'llanma*

**II qism**

**TOSHKENT – 2012**

UDK 621.396.61

“Radiotexnik zanjirlar va signallar”. O‘quv-uslubiy qo‘llanma.  
II qism. Pisetskiy YU. V., Hasanov M. M. / Toshkent, ToshDTU,  
2012.

Ushbu o‘quv-uslubiy qo‘llanma 5311100 – „Radioelektron qurilmalar va tizimlar” va 5111000 – „Kasb ta’limi (Radioelektron qurilmalar va tizimlar)” yo‘nalishi bo‘yicha ta’lim oluvchi bakalavriat talabalariga mo‘ljallangan bo‘lib, „Radiotexnik zanjirlar va signallar” fanining o‘quv dasturiga asosan II qismini o‘z ichiga olgan.

O‘quv-uslubiy qo‘llanma 6 banddan iborat bo‘lib, III bosqichning 6 semestrida o‘tiladigan ma’ruza mashg‘ulotlariga asoslanib, talabalarga mustaqil ravishda bilimlarini oshirish uchun mo‘ljallangan.

Mas’ul muharrir t.f.n., dots. Mavlonov Sh. A.

*Abu Rayhon Beruniy nomidagi Toshkent davlat texnika universitetining ilmiy-uslubiy kengashi qarori bilan chop etildi.*

Taqrizchilar: TATU dotsenti, t.f.n. Davronbekov D. A.

TDTU „AB” kafedrasi professori, t.f.d. Shipulin Yu. G.

© Toshkent davlat texnika universiteti, 2012.

# NOCHIZIQ ZANJIRLI VA RAQAMLI QURILMALAR

## 1. Nochiziqli zanjirlar va ularni tahlil qilish usullari

### 1.1. Rezistiv va reaktiv nochiziqli elementlar

**Nochiziqli elementlar.** Asosiy radiotexnik o‘zgartirishlar nochiziqli zanjirlar yoki o‘zgaruvchan parametrli chiziqli zanjirlar yordamida amalga oshiriladi.

O‘zgaruvchan parametrli chiziqli zanjirlar nochiziqli elementlar yordamida tashkil etiladi (masalan, yarimo‘tkazgichli diodning  $p-n$  o‘tishidagi sig‘im), ba’zi bir parametrik zanjirlar esa o‘zi nochiziqli rejimda ishlaydi (masalan, parametrik generator).

Nochiziqli elementlar rezistiv (qarshilik) va reaktiv (induktiv, sig‘im) elementlarga ajratiladi. Radiotexnik zanjirlar va qurilmalar uchun eng tavsifli va tarqalgan rezistiv nochiziqli elementlar yarimo‘tkazgichli, lampali va boshqa turli asboblar hisoblanadi, ular nochiziqli volt-amper tavsifnomaga ega bo‘lib, signallarni kuchaytirish yoki o‘zgartirish uchun qo‘llaniladi.

Rezistiv elementning muhim parametrlaridan biri bu – uning tavsifnomasining qiyaligidir. Tavsifnomada qiyaligini aniqlashning ikki usuli mavjud:

- 1) kuchsiz signal rejimida ko‘rib chiqilayotgan ish nuqtasida (differensial qiyalik);
- 2) kuchli garmonik tebranish rejimida (o‘rtacha qiyalik).

Qiyalikni birinchi aniqlash usuli qurilmaning chiziqli ish rejimiga to‘g‘ri keladi (1.1-rasm.) va uning qiyaligi quyidagi formuladan ifodalanadi:

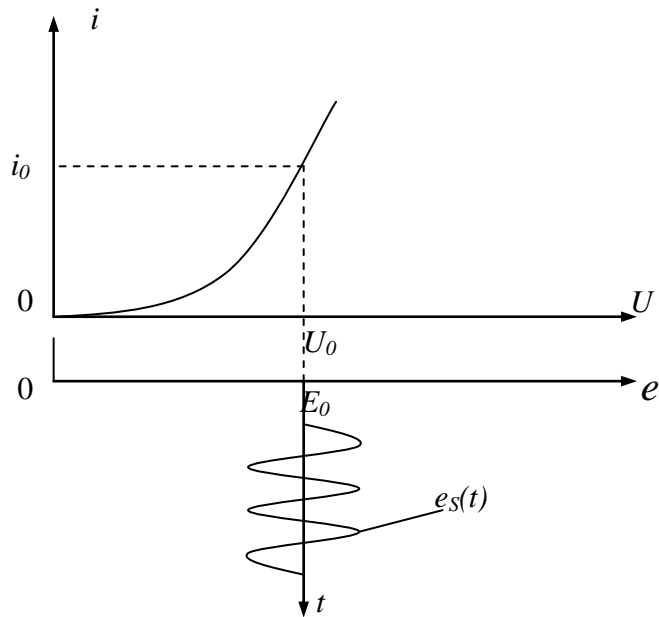
$$S = a_1 = \left( \frac{di}{du} \right)_{u=U_0} \quad (1.1)$$

$U_0$  kuchlanish tranzistorlar uchun  $U_{BE0}=E_1$  olinadi. Buni batafsil ko‘rib chiqaylik.

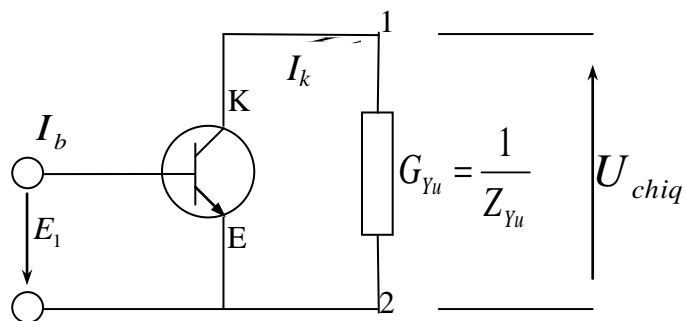
Umumiy emitter (UE) sxemali kuchaytirgich (1.2-rasm) uchun  $\beta=I_k/I_b$  toklar nisbati kuchaytirish qobiliyatini ko‘rsatadi. Biqtibli tranzistorning pasportidagi ma’lumotlar ichida u  $h_{21e}$  ko‘rinishda belgilanadi. UE sxema uchun  $\beta \approx h_{21e}$  tengligi o‘rinlidir, shuning uchun

quyidagi parametrni  $U_{be}=U_{BEo}=E_1$  nuqtadagi  $i_k(U_{be})$  tavsifnomaning qiyaligi deb atash mumkin:

$$S = \frac{h_{21E}}{R_{kir}} = h_{21E} \frac{I_b}{E_1} = \frac{I_k}{E_1}. \quad (1.2)$$

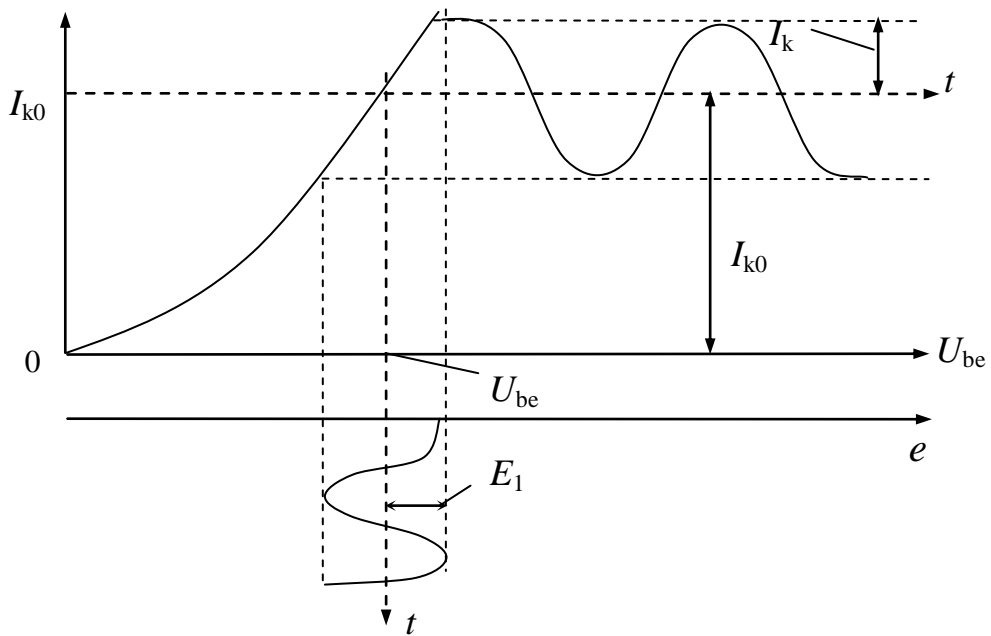


1.1-rasm. Nochiziq volt-amper tavsifnomali elementning chiziqli ish rejimi.



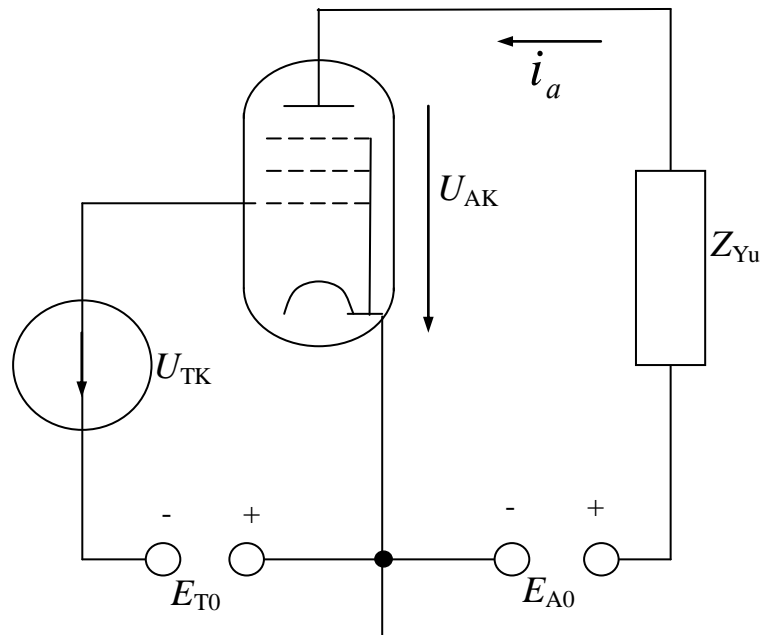
1.2-rasm. UE sxemali tranzistor kuchaytirgichi.

UE tranzistor kuchaytirgichining kuchsiz signal rejimida ishlashi 1.3-rasmda ko‘rsatilgan. Kollektor o‘zgaruvchan tokining amplitudasi ko‘chish kuchlanishi  $U_{BEo}$  ga mos keluvchi o‘zgarmas tok  $I_{Ko}$  dan bir necha marta kichik.



1.3-rasm. UE kuchaytirgichda tebranishning chiziqli kuchaytirish rejimi.

**Chiziqli kuchaytirish rejimi.** Elektron lampali kuchaytirgich uchun yuqoridagi kabi misolni ko‘rib chiqaylik. 1.4-rasmida pentodda yig‘ilgan eng sodda kuchaytirgich sxemasi ko‘rsatilgan.



1.4-rasm. Pentodda yig‘ilgan sodda kuchaytirgich.

Kichik signalda (chiziqli kuchaytirish rejimi) anod toki va to‘rkatod, anod-katod kuchlanishlari orasidagi bog‘lanish quyidagicha aniqlanadi:

$$i_a = S u_{tk} + (1/R_i) u_{ak} = S(u_{tk} + D u_{ak}), \quad (1.3)$$

bunda  $S = \frac{di_a}{du_{sk}}$   $u_{s-k} = E_{so}$ ,  $u_{a-k} = E_{ao}$  bo‘lganda,

$$\frac{1}{R_i} = \frac{di_a}{du_{ak}} \quad u_{s-k} = E_{so}, \quad u_{a-k} = E_{ao} \quad \text{bo‘lganda.}$$

$D = \frac{1}{SRi}$  – boshqaruvchi to‘r bo‘yicha singdiruvchanlik (nisbat setka tokisiz ishlaganda amal qiladi).

$R_i$  – pentodning ichki qarshiligi.

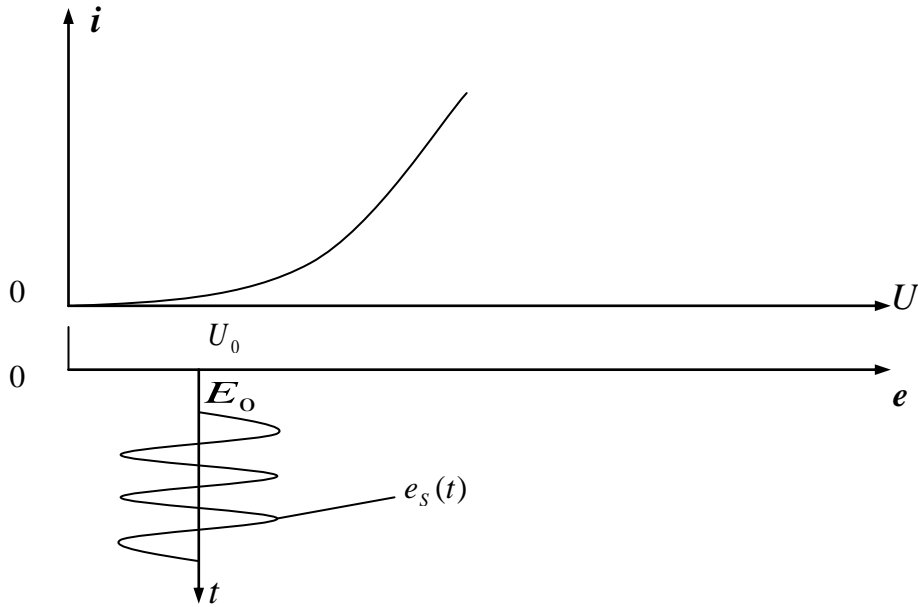
$i_a(U_{tk})$  tavsifnomaning qiyaligi  $S$  va pentodning ichki qarshiligi  $R_i$  differential parametrlar hisoblanib, pentod VAT dagi ish nuqtasida  $i_a$  tokning berilgan  $i_{ao}$  qiymatdan farqlanganda aniqlanadi. (1.3) ifodada ikkinchi qo‘siluvchi oldida musbat ishora olingani sababi  $U_{ak}$  bu misolda mustaqil manba kuchlanishi sifatida ko‘rilmoqda.

To‘r zanjiri uchun (1.3) ga o‘xshash ifoda tuzish mumkin:

$$i_t = (1/R_{tk}) u_{tk} + S_{ta} u_{ak}. \quad (1.4)$$

Qiyalikni aniqlashning ikkinchi usuli butunlay qurilmaning nochiziqli ish rejimiga mos keladi (1.5-rasm) va faqat kirish signalining amplitudasiga bog‘liq bo‘lgan nochiziqli elementning keng oraliqlardagi VAT ning shaklini hisobga olgan holdagina berilishi mumkin.

Nochiziqli sig‘im misolda  $q(u)$  nochiziqli volt-kulon tavsifnomali istalgan qurilma xizmat qilishi mumkin. 1.6-rasmda  $q_{nch}(u)$  va  $C_{nch}(u)/u$  volt-farad tavsifnomalari hamda chiziqli sig‘im uchun mos bo‘lgan tavsifnomalar  $q_{ch}(u)$  va  $C_{ch}=q_{ch}(u)/u=const$  tasvirlangan.



1.5-rasm. 1.1-rasmdagi volt-amper tavsifnomali elementning  
nochiziqli ish rejimi.

Ko‘rilayotgan misolda nochiziqli sig‘imning volt-kulon tavsifnomasi  $b_1=1$  Kл/V va  $b_2=0,3$  Kл/V bo‘lganda quyidagi ifoda orqali berilgan:

$$q_{nch}(u)=b_1u+b_2u^2.$$

Bundan keyin u nochiziqli sig‘im  $C(u)$  orqali belgilanadi. Agar  $C(u)$  sig‘imga berilgan kuchlanish vaqt bo‘yicha o‘zgarsa, sig‘im orqali o‘tadigan tokni quyidagi ikki ekvivalent ifodalar orqali aniqlash mumkin:

$$i(t)=\frac{dq(u)}{dt}=\frac{dq(u)}{du}\cdot\frac{du}{dt}, \quad (1.5)$$

$$i(t)=\frac{d\left[\frac{C(u)\cdot u}{u}\right]}{dt}=u\frac{dC(u)}{dt}+C(u)\frac{du}{dt}=\left[u\frac{dC(u)}{du}+C(u)\right]\frac{du}{dt}. \quad (1.6)$$

Agar  $|e|<<U_0$  sharti bilan kuchlanish  $u=U_0+e$  bo‘lsa, bunda  $U_0$  – ish nuqtasidagi kuchlanish,  $e$  – kuchlanishning o‘zgarishi, u holda sig‘imi quyidagi ko‘rinishda ifodalash mumkin:

$$C_0 \approx \frac{dq_{NCh}(u)}{du} \Big|_{u=U_0}. \quad (1.7)$$

Shu yo‘l bilan aniqlangan sig‘imni differensial sig‘im deyiladi.

$C_0$  parametr  $q_{nch}(u)$  volt-kulon tavsifnomaning qiyaligi orqali aniqlanadi. 1.6-rasmida ko‘rsatilgan  $C_0$  ning  $u$  ga bog‘liqligi quyidagi ifoda orqali hisoblanadi:

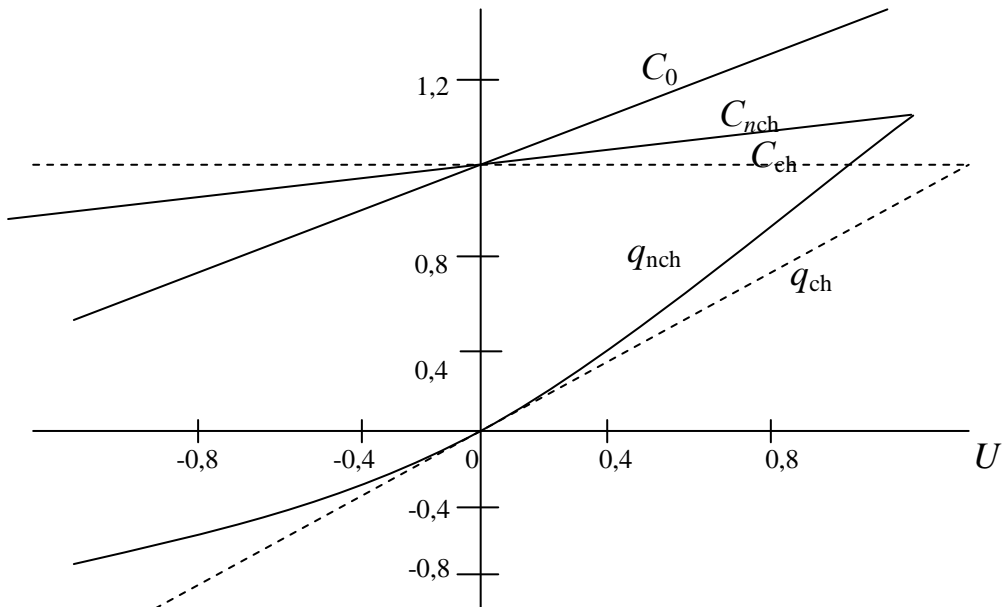
$$C_0 = b_1 + 2b_2 u \Big|_{u=U_0} = 1 + 2 \cdot 0,3 U_0. \quad (1.8)$$

Kuchli tok oqimi ta’sirida o‘zagi magnit to‘yinish darajasiga yetgan ferromagnit o‘zakli g‘altak nochiziqli induktivlik  $L(i)$  misoli bo‘la oladi. Induktivlikdagi  $i$  tok va kuchlanish  $u_2$  orasidagi nisbatni magnit oqimi ifodasidan aniqlanadi:

$$\Phi(i) = L(i)I, \quad (1.9)$$

unga ko‘ra:

$$u_L(t) = \frac{d\phi(i)}{dt} = \frac{dL(i)}{di} \frac{di}{dt} i + L(i) \frac{di}{dt} = \left[ i \frac{dL(i)}{di} + L(i) \right] \frac{di}{dt}. \quad (1.10)$$



1.6-rasm. Chiziqli va nochiziqli sig‘imlarning volt-kulon va volt-farad tavsifnomalari.

Agar induktivlik  $u_L(t)$  kuchlanishi berilgan bo‘lsa, u holda

$$\int u_L(t) dt = u(t) = L(i)i(t) \quad (1.11)$$

va chiziqli induktivlik holatidagi kabi:

$$i(t) = \frac{1}{L(i)} \int u_L(t) \cdot dt \quad (1.12)$$

Differensial induktivlik ostida quyidagi kattalik tushuniladi:

$$L_0 \approx \left. \frac{d\phi(i)}{di} \right|_{i=I_0} \quad (1.13)$$

„Differensial qarshilik, sig‘im va induktivlik“ tushunchalarini kuchsiz signallarni nochiziqli elementlarga nisbatan ta’sirini ko‘rishda keng qo‘llaniladi. Bunda elementning nochiziqliligi  $R_0$ ,  $C_0$  va  $L_0$  lar, ish nuqtasini nochiziqli tavsifnomada joylashganini aniqlaydigan boshqaruvchi kuchlanishga (yoki tokga) bog‘liq ekanligidan namoyon bo‘ladi. Kuchsiz signalga nisbatan esa bu kabi element o‘zgaruvchan parametrlri chiziqli qurilma hisoblanadi (agar nochiziqli elementlarga kuchsiz signalning ta’sirini boshqaruvchi kuchlanish vaqt bo‘yicha o‘zgarsa).

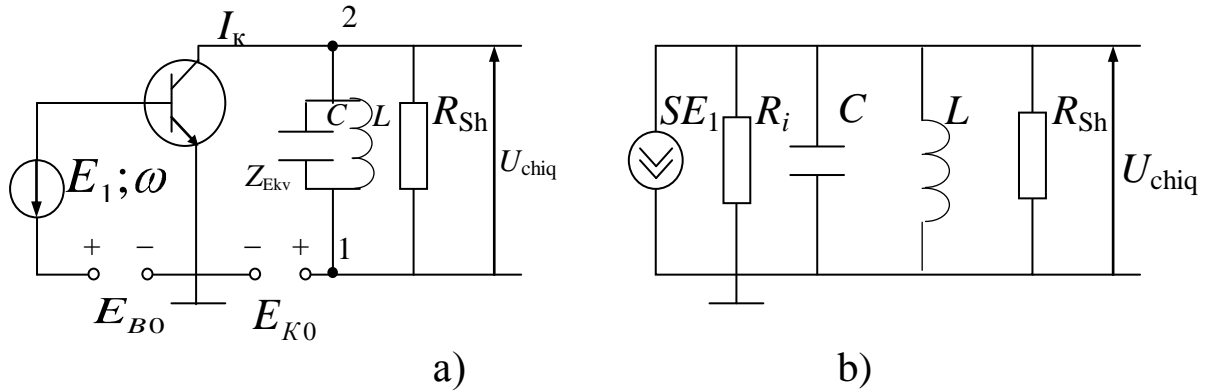
## 1.2. Nochiziq rezonansli kuchaytirish

**Tokni kesish rejimidagi nochiziq rezonansli kuchaytirgich.** Oldingi bandlarda nochiziqli kuchaytirgichlarni kuchsiz signallar kuchaytirgichlari deb aytilgan edi. Ularda aktiv elementdagи (masalan, tranzistorning kollektor zanjiridagi)  $I_1$  tokning o‘zgaruvchan tashkil etuvchisining amplitudasi kuchaytirgichning iste’mol manbasidan olinadigan  $I_0$  o‘zgarmas tokning kam ulushini tashkil etadi. Shuningdek, chiqish signali quvvatini energiya manbasidan olinayotgan quvvatiga nisbati orqali aniqlanadigan FIK juda kamdir.

Radio qabulqiluvchi qurilmalarda ishlataladigan rezonans kuchaytirgichlarda  $I_1/I_0$  nisbat shunaqangi kichikki, FIK haqida savol

umuman etiborga olinmaydi.  $I_1/I_0$  nisbatni kuchaytirgichning tokni kesish bilan ishlash rejimiga, ya’ni, nochiziqli rejimga o’tkazish yo‘li bilan oshirish mumkin.

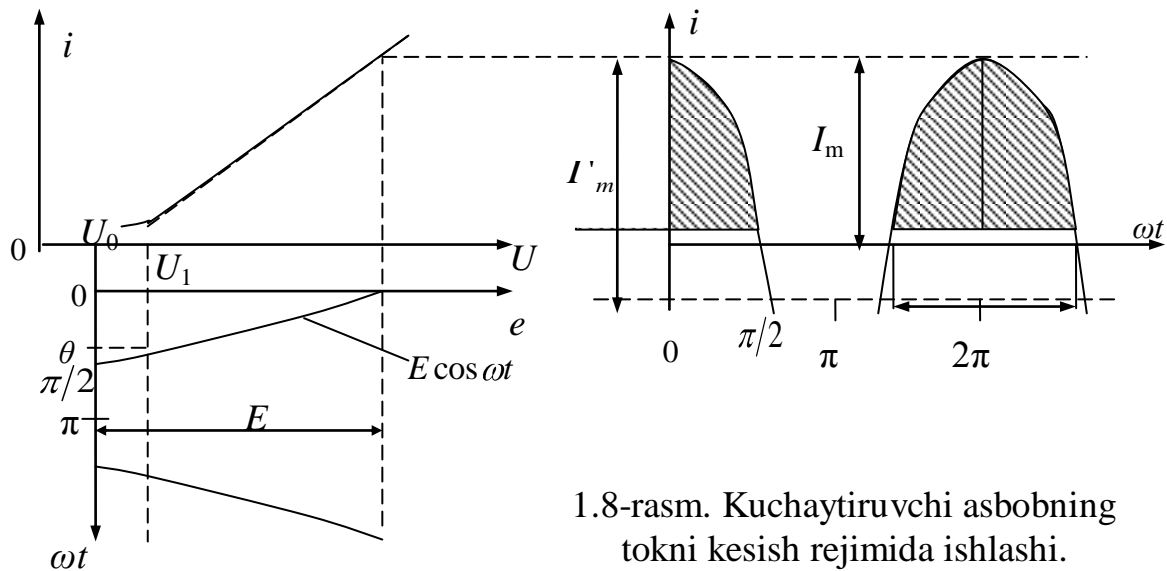
Avvalam bor kuchaytirgich kirishidagi garmonik signalni ko‘rib chiqaylik.



1.7-rasm. a) rezonans kuchaytirgich va b) kollektor zanjirining ekvivalent sxemasi.

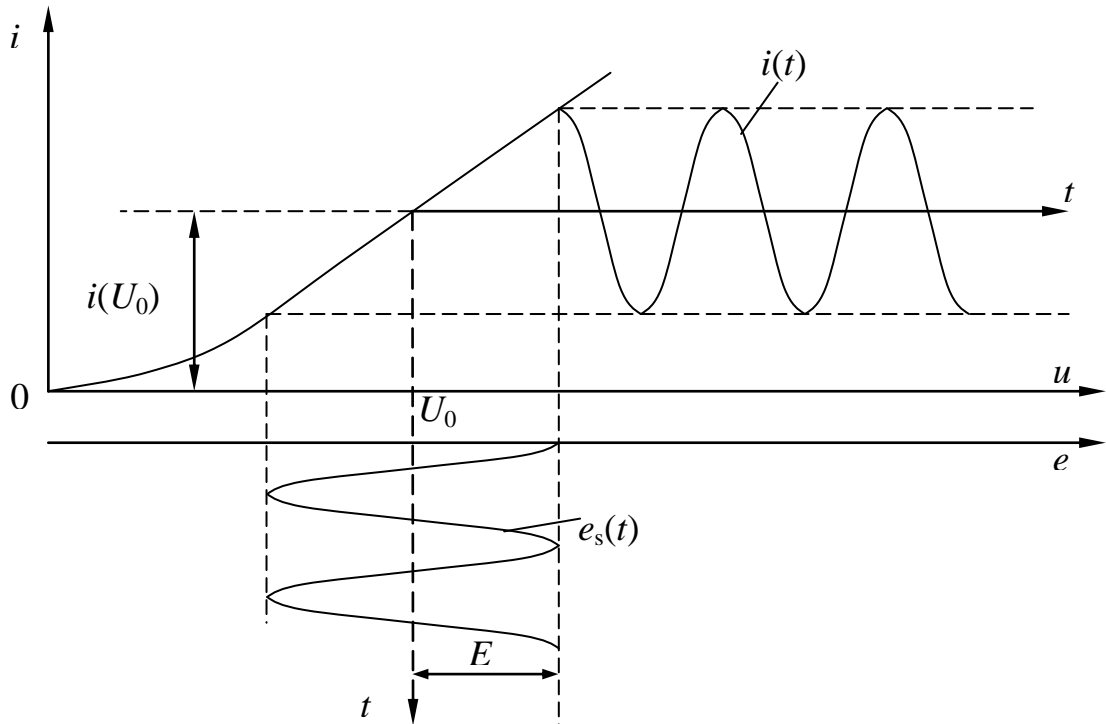
1.7-rasmida nochiziqli rezonans kuchaytirgichning sxemasi ko‘rsatilgan. Uning asosiy farqi – kuchaytiruvchi asbobning ishlash rejimidadir. Volt-amper tavsifnomadagi  $U_0$  ish nuqtasini siljitim va kirishdagi tebranish  $E_0$  amplitudasini oshirish orqali ish rejimi tranzistorli kuchaytirgichda kollektor toki  $i_k(t)$  ni kesish bilan o‘rnataladi (1.8-rasm).

Tokning maksimal qiymati  $I_m$  dan nolgacha o‘zgarishiga mos keluvchi  $\theta$  burchagi *tokni kesish burchagi* deb nom olgan.



1.8-rasm. Kuchaytiruvchi asbobning tokni kesish rejimida ishlashi.

1.9-rasmdagi VATda signaling  $e_s(t)$  kuchlanishi,  $U_1$  nuqtanining chegarasidan o‘tib ketmaydi.



1.9-rasm. Kuchaytiruvchi asbobning kuchsiz nochiziqli ishlash rejimi.

Garmonik tebranishda tok  $i(t)$  impuls shaklni egallaydi (1.8, b-rasm). Tok impulslarining davomiyligi  $2\theta$  ga teng. 1.8, a-rasmdan quyidagi ifoda kelib chiqadi:

$$\cos\theta = (U_1 - U_0)/E. \quad (1.14)$$

Tokning amplitudasi quyidagiga teng:

$$I_m = a_1 [E - (U_1 - U_0)] = a_1 E (1 - \cos\theta). \quad (1.15)$$

bunda  $a_1$ —volt-amper tavsifnomaning chiziqli qismining qiyaligi.

$-\theta < \omega t < \theta$  oralig‘ida nochiziqli elementni garmonik tebrantirganda tok impulsining shakli kesilgan kosinusoidaga yaqin va agar VAT ning pastki egriligidagi qiyalikni hisobga olinmasa (1.8, a-rasm), u holda tokning oniy qiymatini quyidagi tenglama orqali ifodalash mumkin:

$$i(t) = I'_m (\cos\omega t - \cos\theta), \quad -\theta < \omega t < \theta. \quad (1.16)$$

$I_m$  simvoli bilan  $\theta = \pi/2$  da bo‘lishi mumkin bo‘lgan impuls amplitudasi belgilangan.

Real impulsning  $I_m$  amplitudasi  $\omega t = 0$  momentiga to‘g‘ri kelgani bois, quyidagi nisbat o‘rinlidir :

$$I_m = i(0)I'_m (1 - \cos\theta), \quad \text{undan esa} \quad I'_m = I_m / (1 - \cos\theta).$$

Bu ifodani (1.11) ga qo‘yib, quyidagini olamiz:

$$i(t) = \frac{I_m}{1 - \cos\theta} (\cos\omega t - \cos\theta), \quad -\theta < \omega t < \theta. \quad (1.17)$$

$\theta = 0$  da tok umuman nolga teng (nochiziqli element butun davr mobaynida yopiq);

$\theta = 180^\circ$  da esa tok kesilishi bo‘lmaydi va ish rejimi chiziqli bo‘ladi.

Kesish burchagi  $180^\circ$  dan kam bo‘lgandagi ishslashda birinchi  $I_1$  garmonikaning o‘zgarmas  $I_0$  tashkil etuvchiga nisbati birdan katta. Ko‘rinib turibdiki,  $\theta$  ning kamayishi bilan

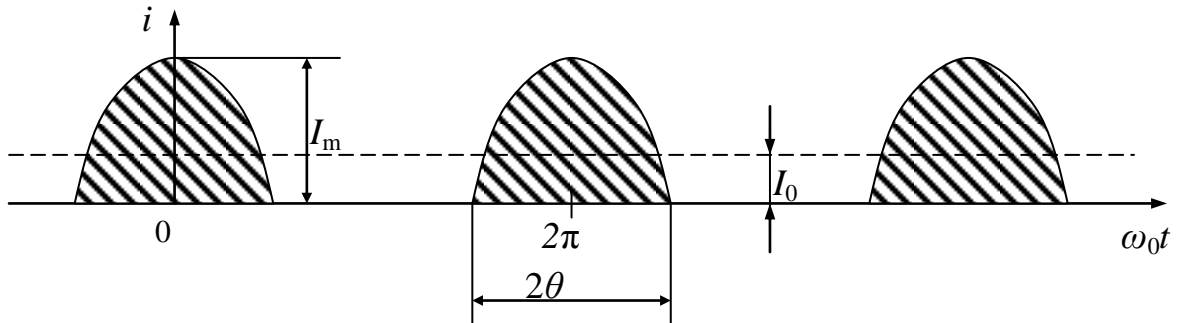
$$\gamma_1 = \frac{\alpha_1}{\alpha_0} = \frac{I_1}{I_0} = \frac{\theta - \sin\theta \cos\theta}{\sin\theta - \theta \cos\theta} \quad (1.18)$$

nisbat ortib boradi, bunda –  $\alpha_0(\theta) = \frac{I_0}{I_m} = \frac{\sin\theta - \theta \cos\theta}{\pi(1 - \cos\theta)},$

$$\alpha_1(\theta) = \frac{I_1}{I_m} = \frac{\theta - \sin\theta \cos\theta}{\pi(1 - \cos\theta)}.$$

Kuchaytirgichlarning istalgan turiga tavsifli bo‘lgan nochiziqli rejimning ahamiyatli tomonlarini ko‘rib chiqamiz.

Kuchaytirgich kesish bilan ishlaganda, tok  $i(t)$  chiqish zanjirida impuls shaklga ega bo‘ladi (1.10-rasm), va o‘zgarmas tashkil etuvchi hamda foydali bo‘lgan birinchi garmonika bilan bartaraf etilishi (filtrlanishi) lozim bo‘lgan yuqori garmonikalar qatoriga ega bo‘ladi.



1.10-rasm. 1.7-rasmida ko'rsatilgan rejimga mos keluvchi impuls toki.

Bu masalani kirish tebranishi  $\omega_0$  chastotasiga sozlangan parallel tebranish konturi yechadi. Toklar rezonansida parallel konturning  $Z_{ekr}$  ekvivalent qarshiligi 1–2 nuqtalar (1.7-rasm) orasida juda katta qiymatga ega va kuchaytirgichning yuklama qarshiligi hisoblanadi.

Konturning asilligi:

$$Q = \frac{R_{sh}}{\rho} = \frac{R_{sh}}{1/\omega_r \cdot C} = \frac{\omega_r \tau_k}{2} = \frac{\omega_r}{2\alpha_k}$$

- |                          |                                                 |
|--------------------------|-------------------------------------------------|
| rezonans chastotasi      | $\omega_r = 1 / \sqrt{LC}$                      |
| xarakteristik qarshiligi | $\rho = \sqrt{L/C} = \omega_r L = 1/\omega_r C$ |
| so'nishi                 | $\alpha_k = 1 / (2R_{sh} C)$                    |
| vaqt doimiysi            | $\tau_k = 2R_{sh} C = 1 / \alpha_k$             |

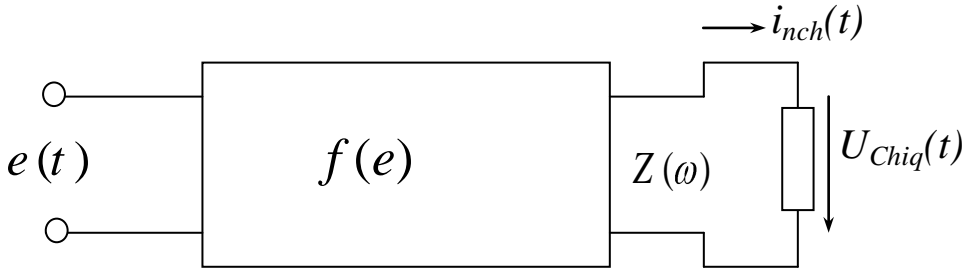
$i(t)$  tokning yuqori garmonikalariga nisbatan yetarlicha katta  $Q$  asillikka ega bo'lgan konturni qisqa tutashuv deb qarash mumkin.

Natijada, yuklama konturida  $i(t)$  tokning impuls shaklini buzilishiga qaramasdan, huddi chiziqli kuchaytirgichdagi kabi garmonik shaklga juda yaqin bo'lgan kuchlanish ajralib chiqadi.

Nochiziqli kuchaytirgichda asosiy  $\omega_0$  chastota kuchlanishlari va toklari orasidagi nisbatni o'rnatamiz.

Agar chiqish kuchlanishining  $I_1$  tokka teskari reaksiyasini hisobga olinmasa, ya'ni umumlashtirilgan 1.10-rasmdan kelib chiqqan holda:

$$I_m = a_l E (1 - \cos \theta) = I_1 / \alpha_l(\theta),$$



1.11-rasm. Nochiziqli to‘rtqutblik va spektrning foydali tashkil etuvchilarini ajratib olish uchun tanlovchi zanjir.

undan kelib chiqqan holda:

$$I_l = \alpha_l(\theta) I_m = \alpha_l(\theta)(1 - \cos\theta) a_l E. \quad (1.19)$$

Agar  $a_1$  volt-amper tavsifnomaning chiziqli qismidagi qiyaligi bo‘lsa, ya’ni,  $a_1=S$ , u holda

$$I_l = \alpha_l(\theta)(1 - \cos\theta) S E. \quad (1.20)$$

### 1.3. Chastotani ko‘paytirish

Agar kirish signalingining katta amplitudasi bilan ishlayotgan rezonansli kuchaytirgich sxemasida tebranish tizimi  $n\omega$  chastotasiga, ya’ni kirish signalingining biror bir yuqori garmonikalaridan birining chastotasiga sozlansa, u holda bu qurilma chastota ko‘paytirgichi sifatida qo‘llanilishi mumkin.

Chastota ko‘payturgichi va nochiziqli rezonans kuchaytirgichlarni hisoblash amalda bir-biridan farq qilmaydi. Kollektor tokining birinchi garmonikasi chiqishda hosil qilgan

$$U_{mchiq} = I_l R_{rez} = S R_{rez} U_m \gamma_l(\theta) \quad (1.21)$$

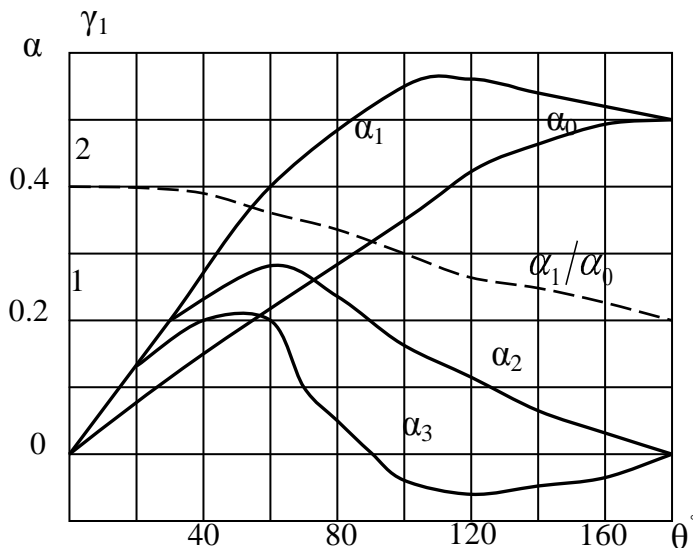
amplitudali foydali kuchlanishning ifodasi kabi, ko‘paytirgichning chiqish signalingining amplitudasi bo‘lak-chiziqli approksimatsiyanganida quyidagi ko‘rinishda bo‘ladi:

$$U_{mchiq} = S R_{rez} U_{mkir} \gamma_n(\theta). \quad (1.22)$$

Chastota ko‘paytirgichlarini qurishning qiyin tomoni shundaki, ko‘paytirish darajasining katta qiymatlarida  $\gamma_n(\theta)$  ning qiymatlari kamayib ketadi. Shuning uchun mos keluvchi Berg koeffitsientlarini maksimallashtiruvchi kesish burchagini tanlash zarur.  $\gamma_n(\theta)$  funksiyalarini tahlili shuni ko‘rsatadiki, optimal  $\theta_{opt}$  burchagi mavjud bo‘lib, u quyidagicha aniqlanadi:

$$\theta_{opt} = 180^\circ/n. \quad (1.23)$$

Chastota ko‘paytirgichida tokni kesish burchagi qo‘zg‘atuvchi kuchlanish amplitudasining o‘zgarmas (fiksatsiyalangan) qiymatida aynan shunday bo‘lishi lozim.

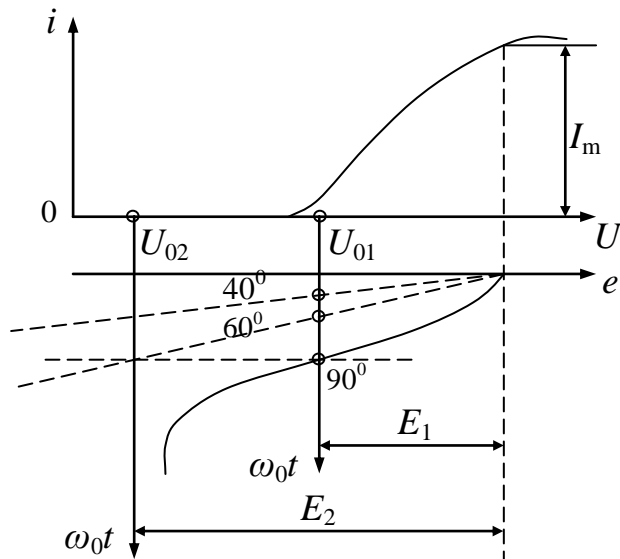


1.12-rasm. Impuls tokni Furye qatoriga yoyishda  $\theta$  kesish burchagiga bog‘liqlik koeffitsienti.

1.12-rasmida ko‘rsatilgan grafiklardan ko‘rinib turibdiki, chastotani ikkiga ko‘paytirish uchun  $60^\circ$  ga yaqin kesish burchagi bilan ishslash afzaldir. Unda ikkinchi garmonika koeffitsienti maksimumdan o‘tadi, chastotani uchga ko‘paytirish uchun  $40^\circ$  kesish burchagi to‘g‘ri keladi va hokazo.

Agar kontur  $n\omega_0$ ,  $n = 2, 3, \dots$ , chastotaga sozlangan bo‘lsa, tokning  $n-1$  va undan ham past tartibli garmonikalari induktiv zanjir orqali,  $n+1$  va undan yuqori garmonikalar esa konturning sig‘imli zanjiridan o‘tadi. Yetarlicha yuqori asilligida konturdagi kuchlanish  $n$ -garmonikadan tashqari barcha garmonikalarda juda pastdir.

Shuning uchun konturdagi kuchlanish  $n\omega_0$  chastotali garmonik kuchlanishga yaqin bo‘ladi.



1.13-rasm. Ko‘paytirishning har xil koeffitsientlarida chastota ko‘paytirgichi uchun kesish burchagini tanlash.

Shuni nazarda tutish lozimki, elektron qurilmaning quvvatini to‘liq ishlatish uchun kesish burchagini kamaytirib, impuls amplitudasini o‘zgartirmasdan ushlab turilganda bajarilishi kerak. Buning uchun  $|U_0|$  ko‘chishni o‘zgartirish bilan birgalikda kirishdagi o‘zgaruvchan  $E$  kuchlanishning amplitudasini ko‘tarish zarur bo‘ladi. 1.13-rasmda  $\theta = 90^\circ$  burchakka  $U_{01}$  ko‘chish mos keladi,  $\theta = 60^\circ$  burchakka  $U_{02}$  ko‘chishi va hokazo.  $E_1, E_2, \dots$ , amplitudalari shunday tanlanganki,  $I_m$  o‘zgarmasdan qoladi.

Yuqoridagilarni hisobga olib, chastota ko‘paytirgichlari uchun kirish signalining katta amplitudali ish rejimi tavsifli ekanini ta’kidlash mumkin.

#### 1.4. Amplituda bo‘yicha chegaralash

Radiotexnikada tanlovchi zanjirlar orqali chastota bo‘yicha modulatsiyalangan tebranishlarni uzatishda radiosignalga qo‘shiluvchi xalaqitlar tufayli vujudga keladigan yuqori chastotali tebranishning amplitudasi o‘zgarishini bartaraf etish zaruriyati ko‘p sodir bo‘lib turadi. Buning uchun nochiziqli element va tanlovchi yuklamadan iborat amplituda bo‘yicha chegaralagichlar keng qo‘llaniladi.

Nochiziqli elementning volt-amper tavsifnomasi aniq ko‘rinishli gorizontal qismga ega bo‘lishi zarur, tanlovchi zanjirning o‘tkazish kengligi esa ma’lumotni uzatish uchun ajratilgan kenglikdan ko‘p bo‘lmasligi kerak hamda chegaralanuvchi tebranish chastotasida (yoki fazasida) joylashgan bo‘lishi lozim.

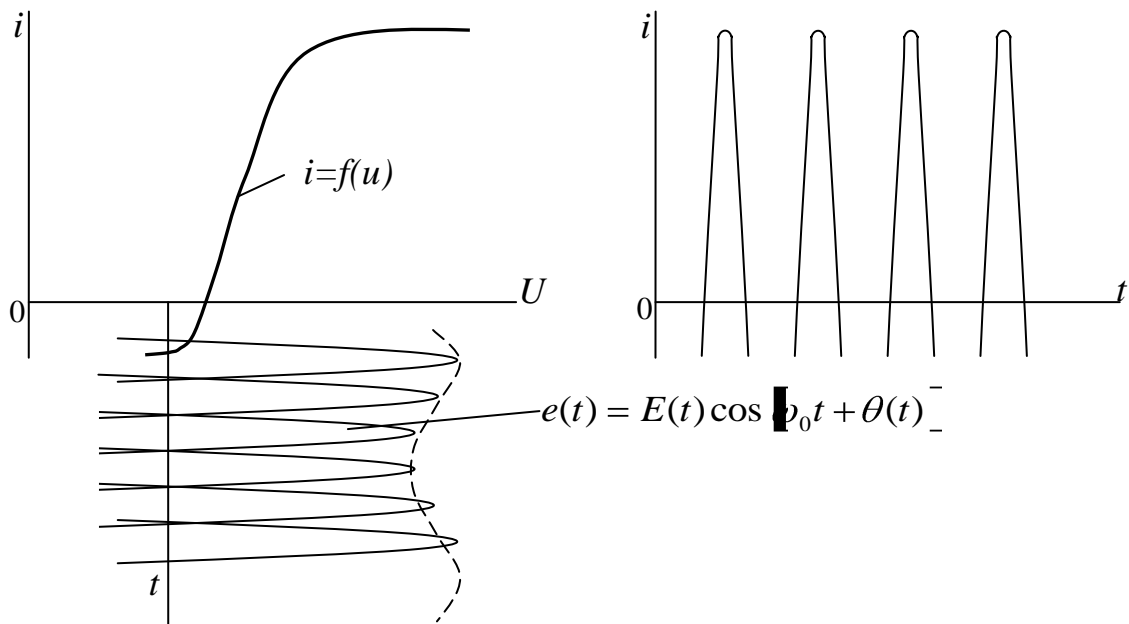
Amplituda bo‘yicha chegaralagich sifatida 1.13-rasmda ko‘rsatilgan ish rejimida ishlovchi 1.6-rasmdagi nochiziqli rezonans kuchaytirgich qo‘llanilishi mumkin.

Chegaralagichga quyidagi ko‘rinishda tebranish berilayotgan bo‘lsin:

$$e(t) = E(t)\cos[\omega_0 t + \theta(t)], \quad (1.24)$$

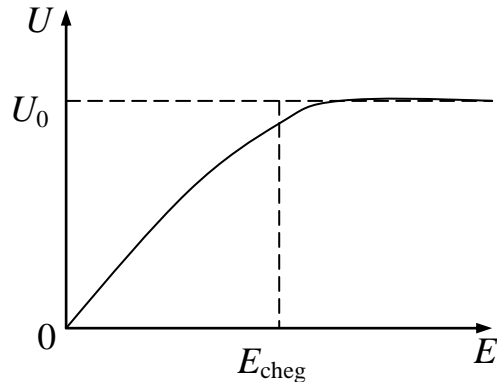
shuningdek  $E(t)$  og‘uvchining o‘zgarmasligi muhim omillardan biri hisoblanadi. Agar u o‘zgarsa, va bu o‘zgarish  $i=f(u)$  tavsifnomaning gorizontal qismining chegarasidan chiqib ketmasa (1.14-rasm), unda  $E(t)$  ga bog‘liq bo‘lмаган holda tok impulsleri bir xil amplitudaga ega bo‘ladi. Impulslar cho‘qqilarining kenligi bir oz o‘zgaradi xolos.

Shu sabab birinchi aniqlashtirishda birinchi garmonikaning amplitudasi va o‘z navbatida tebranish konturidagi kuchlanish amplitudasi ham,  $E(t)$  amplituda o‘zgarishining ma’lum oralig‘idagi o‘zgarmas kattaliklari deb hisoblash mumkin.



1.14-rasm. Amplituda chegaralagichining ish rejimi.

Yuqori garmonikalarni filtrlashni ta'minlovchi, tanlovchi yuklamaga ega bo'lgan chegaralagichning tavsifnomasini 1.15-rasmda ko'rsatilganidek, tasvirlash mumkin.



1.15-rasm. Rezonans chegaralagich tavsifnomasi.

$E_{cheg}$  orqali kirish kuchlanishi amplitudasining chegaraviy qiymati belgilangan, bu qiymatdan boshlab  $U_0$  sathida to'liq chegaralash ta'minlanadi.  $E(t) > E_{cheg}$  bo'lganda chiqishdagi amplituda deyarli o'zgarmaydi. Tokning birinchi garmonikasining fazasi va shuningdek chiqish kuchlanishining fazasi chegaralagichning kirishidagi kuchlanish fazasi bilan mos tushadi.

Shu sabab chiqish kuchlanishi uchun quyidagi ifodani keltirish mumkin:

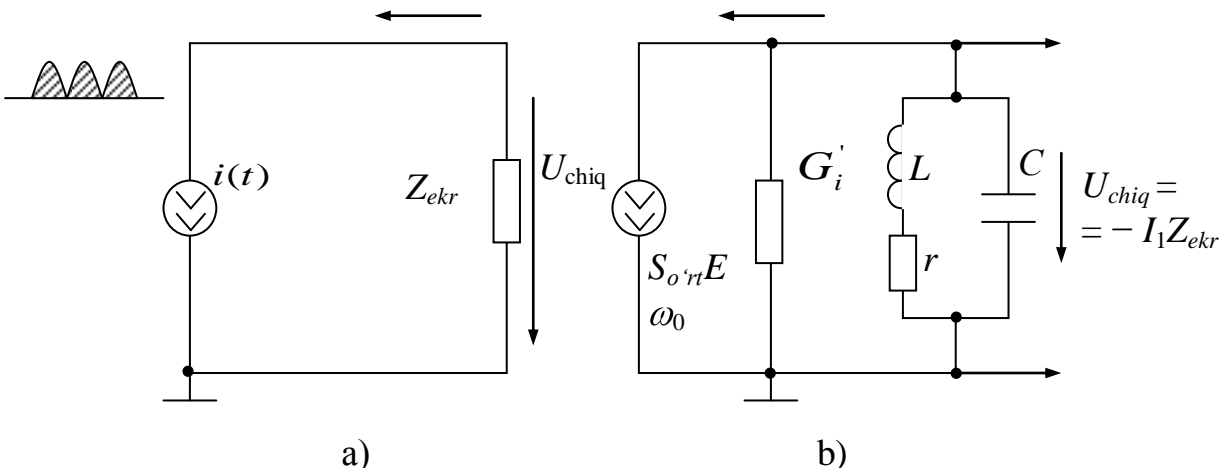
$$u_{chiq}(t) \approx U_0 \cos[\omega_0 t + \theta(t)]. \quad (1.25)$$

Chiqish kuchlanishi  $U_0$  amplitudasini nochiziqli element va tanlovchi yuklama parametrlari orqali aniqlanadi.

1.16, b - rasmdagi sxema uchun :

$$U_0 = I_1 Z_{ekr}$$

bunda  $Z_{ekr}$  – toklar rezonansida parallel konturning ekvivalent qarshiligi,  $I_1$  – impuls cho'qqisining torayishini hisobga olgan holda aniqlanadigan birinchi garmonika amplitudasi.

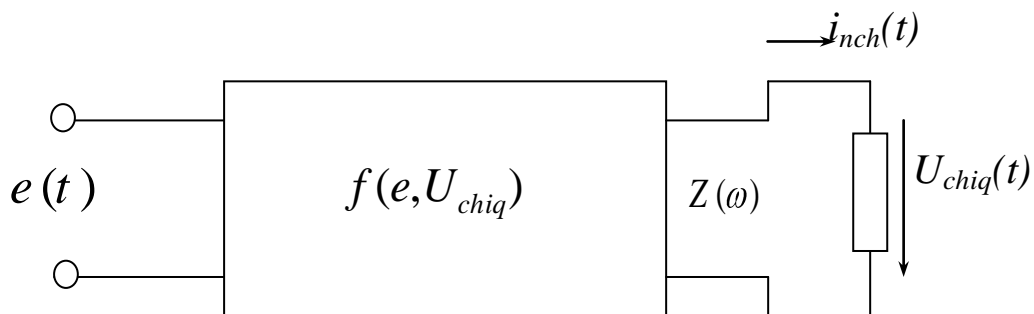


1.16-rasm. Kuchaytirgich chiqish zanjirining umumiy ekvivalent sxemasi:  
a) tokni kesish rejimida; b) impulsli tokning 1-garmonikasi uchun.

### 1.5. Signal chastotasini o'zgartirish

Radiotexnikada ko'p hollarda signal spektrini chastotalar o'qi bo'ylab ma'lum bir o'zgarmas qiymatga signal strukturasi (tuzilishi) saqlagan holda siljitimni amalga oshirish talab qilinadi. Bunday siljitimni *chastotani o'zgartirish* deyiladi.

Nochiziqli elementga ikki kuchlanishning ta'sirini ko'rib chiqaylik.



1.17-rasm. Nochiziqli to'rtqutblik va teskari reaksiya sodir bo'lganda spektrning foydali tashkil etuvchilarini ajratib olish uchun tanlovchi zanjir.

Nochiziqli zanjirda tok  $i_{nch}(t)$  ham kirishdagি  $e(t)$  signalga, ham kuchlanish  $U_{chiq}(t)$  ga bog'liq bo'ladi. Nochiziqli elementning tavsifnomasini ko'rsatuvchi  $f(e)$  nochiziqli funksiya uning qurilishi va ish rejimiga bog'liq.

$Z(\omega)$  orqali chiziqli-chastotaviy tanlovchi zanjirning kompleks qarshiligi belgilangan. Berilgan bu holatda yordamchi generator (geterodin) tomonidan ishlab beriladigan tebranish garmonik hisoblanadi. Ikkinchisi tebranish, ya’ni signal, istalgan murakkab, ammo tor kenglikka ega jarayon bo‘lib, u o‘zgartirilishi lozim bo‘ladi.

Shunday qilib, nochiziqli elementga ikki kuchlanish ta’sir qilmoqda:

geterodindan

$$e_g = E_g \cos(\omega_g t + \theta_g), \quad (1.26)$$

signal manbasidan

$$e_s = E_s(t) \cos \left[ \int \omega_s(t) dt + \theta_s \right]. \quad (1.27)$$

$E_g$  amplituda,  $\omega_g$  chastota va boshlang‘ich faza  $\theta_g$  geterodin tebranishining o‘zgarmas kattaliklaridir. Signalning  $E_s(t)$  amplitudasi va  $\omega_s(t)$  oniy chastotasi modulatsiyalangan bo‘lishi mumkin, ya’ni vaqtning sekin o‘zgaruvchi funksiyalari (tor kenglikli jarayon) bo‘lishi mumkin. Signalning boshlang‘ich fazasi  $\theta_s$  – o‘zgarmas kattalik.

Chastotani o‘zgartirilishining maqsadi, yig‘indi yoki farqlanuvchi  $\omega_s \pm \omega_g$  chastotani olish hisoblanadi.

Tebranishni quyidagi yig‘indi ko‘rinishida tasvirlaymiz:

$$e_s(t) = E_1 \cos(\omega_1 t + \theta_1) + E_2 \cos(\omega_2 t + \theta_2) = E_1 \cos \Psi_1(t) + E_2 \cos \Psi_2(t). \quad (1.28)$$

Endi quyidagini eslaylik: asli tavsifnomani uni yaqinlashtirib ko‘rsatadigan funksiya bilan almashtirilish tavsifnomani approksimatsiyalash deyiladi. Ehg keng tarqalgan usullardan biri bu – darajali polinom bilan approksimatsiyalash hisoblanadi.

Approksimatsiyalovchi darajali polinomni quyidagi shaklda yozamiz:

$$i(u) = i(U_0) + a_1(u - U_0) + a_2(u - U_0)^2 + a_3(u - U_0)^3 + \dots \quad (1.29)$$

$a_1, a_2, a_3, \dots$ , koeffitsientlari

$$a_1 \left( \frac{di}{du} \right) u = U_0, \quad a_2 = \frac{1}{2!} \left( \frac{d^2 i}{du^2} \right) u = U_0, \quad a_3 = \frac{1}{3!} \left( \frac{d^3 i}{du^3} \right) u = U_0. \quad (1.30)$$

ifodalar orqali aniqlanadi, bunda  $a_1$  – tavsifnomaning  $u=U_0$  nuqtadagi qiyaligini ko'rsatadi;  $a_2$  – qiyalikning  $1/2!$  koeffitsientli birinchi hosilasini,  $a_3$  – qiyalikning  $1/3!$  koeffitsientli ikkinchi hosilasini va h.k. Volt-amper tavsifnomaning berilgan shaklida  $a_1, a_2, a_3, \dots$ , koeffitsientlar  $U_0$  ga, ya'ni, ish nuqtasining tavsifnomadagi vaziyatiga bog'liq.

(1.28) ni (1.29) qatorga qo'yish quyidagi natijalarga olib keladi:

a) qatorning chiziqli tashkil etuvchisi uchun

$$a_1 e_s(t) = a_1 E_1 \cos \Psi_1(t) + a_2 E_2 \cos \Psi_2(t) \quad (1.31)$$

b) qatorning kvadratik tashkil etuvchisi uchun

$$\begin{aligned} a_2 e^2 s(t) = & a_2 [E_1 \cos \Psi_1(t) + E_2 \cos \Psi_2(t)]^2 = 1/2 a_2 (E_1^2 + E_2^2) + \\ & + 1/2 a_2 E_1^2 \cos 2(\omega_1 t + \theta_1) + 1/2 a_2 E_2^2 \cos 2(\omega_2 t + \theta_2) + \\ & + a_2 E_1 E_2 \{ \cos[(\omega_1 + \omega_2)t + (\theta_1 + \theta_2)] + \cos[(\omega_1 - \omega_2)t + (\theta_1 - \theta_2)] \} \end{aligned} \quad (1.32)$$

vaqtga bog'liq bo'limgan birinchi qo'shiluvchi o'zgarmas tokning ko'payishini aniqlab beradi.  $2\omega_1$  va  $2\omega_2$  chastotali qo'shiluvchilar kirish signalining mos tashkil etuvchilarining ikkinchi garmonikalaridir.  $\omega_1 - \omega_2$  chastotali qo'shiluvchilar kombinatsion tebranishlarni ko'rsatadi.

Shunday qilib, chastota o'zgartirishning maqsadi, yig'indi yoki farqlovchi chastota  $\omega_s \pm \omega_g$  ni olish hisoblanadi. (1.32) ifodadan kelib chiqqan holda, buning uchun kvadratik nochiziqlikni qo'llash zarur. Nochiziqli element sifatida diodni olamiz, ammo signal va geterodin tebranishlarining o'zaro amal qilish natijalarini to'liq aniqlash uchun diodning tavsifnomasini to'rtinchchi darajali polinom bilan approksimatsiyalaymiz:

$$\begin{aligned} i = & i_0 + a_1(e_s + e_g) + a_2(e_s + e_g)^2 + a_3(e_s + e_g)^3 + a_4(e_s + e_g)^4 = \\ = & i_0 + a_1 e_s + a_1 e_g + a_2 e_s^2 + 2a_2 e_s e_g + a_2 e_g^2 + a_3 e_s^3 + 3a_3 e_s^2 e_g + \end{aligned}$$

$$+a_3e_s^3+a_4e_g^4+6a_1e_s^2e_g^2+4a_4e_3e_g^3+4a_4e_s^3e_g+a_4e_g^4. \quad (1.33)$$

Har xil darajali faqat  $e_s$  va  $e_g$  lardan iborat qo'shiluvchilar qiziqish hosil qilmaydi.

Chastotani o'zgartirish (siljitim) nuqtai nazaridan asosiy natijani  $e_s^n e_g^m$  ko'rinishdagi ko'paytmalardan iborat tashkil etuvchilar hal etadi.

Shu ko'paytmalarga (1.26) va (1.27) ifodalarni qo'yib hamda  $\omega_s + \omega_g$  yig'indi yoki  $\omega_s - \omega_g$  farqlanish chastotalari bo'lмаган tashkil etuvchilarini chiqarib tashlab, oson trigonometrik kiritishlardan keyin quyidagi oxirgi natijaga kelamiz :

$$\begin{aligned} i_{\omega_s \pm \omega_g}(t) = & a_2 E_s(t) E_g \cos \left[ \int \omega_s(t) dt + \omega_g t \right] \theta_s + \theta_g + \\ & + \cos \left[ \int \omega_s(t) dt - \omega_g t \right] \theta_s - \theta_g + \frac{3}{2} a_4 E_s(t) E_g [E_s^2(t) + E_g^2] \times \\ & \times \cos \left[ \int \omega_s(t) dt + \omega_g t \right] \theta_s + \theta_g + \cos \left[ \int \omega_s(t) dt - \omega_g t \right] \theta_s - \theta_g. \end{aligned} \quad (1.34)$$

Bu natijadan ko'riniб turibdiki, bizni qiziqtirayotgan  $\omega_s \pm \omega_g$  chastotalar nochiziqli elementning tavsifnomasini approksimatsiyalovchi polynomning juft darajalari tufayli vujudga keladi. Lekin polynomning ( $a_2$  koeffitsientli) birgina kvadratik tashkil etuvchisigina faqat  $E_s(t)$  birinchi darajasiga proporsional amplitudali tashkil etuvchilarini hosil qiladi. Ancha yuqori juft darajalar (to'rtinch, oltinchi, va h.k.) bu proporsionallikni buzadi, chunki ular kiritadigan tebranishlar amplitudalari shuningdek  $E_s(t)$  ning birinchisidan yuqori bo'lган darajalarga ega bo'ladi. Bundan ko'riniб turibdiki,  $E_s$  va  $E_g$  amplitudalari shunday hisob bilan tanlanishi kerakki, (1.33) ifodadagi yoyilishda ikkinchi darajadan yuqori bo'lмаган qo'shiluvchilar ustunlikka ega qiymatda bo'lishi lozim.

Buning uchun quyidagi tengsizliklar bajarilishi zarur:

$$E_s^2 \ll a_2 \left( \frac{3}{2} a_4 \right), \quad E_g^2 \ll a_2 \left( \frac{3}{2} a_4 \right),$$

u holda (1.34) ifoda quyidagi ko'rinishga keladi:

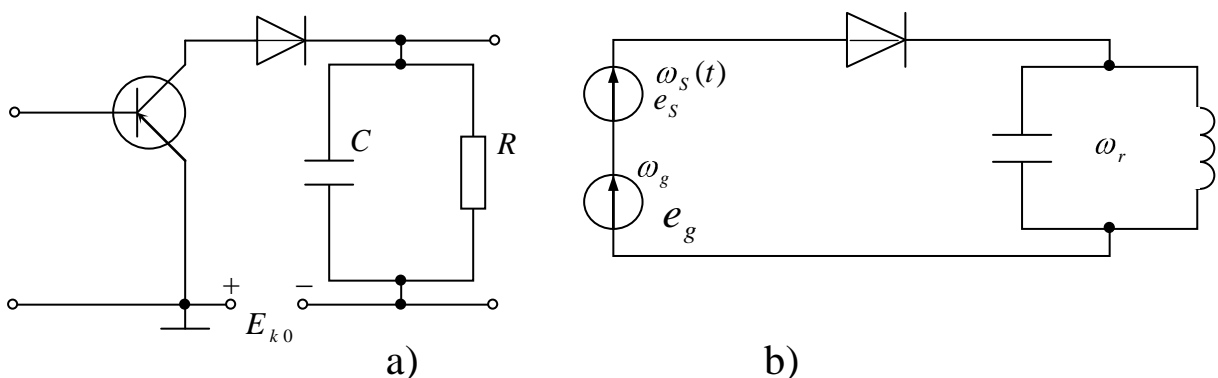
$$i_{\omega_s} \pm \omega_g(t) \approx a_2 E_s(t) E_g \cos [\omega_s(t) dt + \omega_g t] \theta_s + \theta_g + \\ + \cos [\omega_s(t) dt - \omega_g t] \theta_s - \theta_g.$$
(1.35)

Radioqabulqiluvchi va boshqa ko‘pgina qurilmalarda chastotani o‘zgartirish masalasi signalni kuchaytirish masalasi bilan keskin bog‘liq bo‘lgan hollarda, odatda,  $E_s \ll E_g$  bo‘ladi.

Katta qavslar ichidagi  $\omega_s(t) + \omega_g$  chastotali birinchi qo‘shiluvchi (kosinus argumentidan hosila) signal spektrini yuqori chastotalar mintaqasiga siljitimishga mos keladi,  $\omega_s(t) - \omega_g$  chastotali ikkinchi qo‘shiluvchi esa past chastotali mintaqaga siljitimishga mos keladi. Shu ikkala yig‘indi yoki farqlanuvchi chastotalarning birini ajratib olish uchun o‘zgartirgichning chiqishida mos keluvchi yuklamani qo‘llash zarur. Masalan,  $\omega_s$  va  $\omega_g$  chastotalar bir-biriga yaqin bo‘lsin, va nolga yaqin joylashgan past chastotani ajratib olish talab qilinsin.

Bu kabi masala o‘lchash texnikasida ko‘p uchrab turadi va u „nolli urilish” usuli deyiladi. Bu holda yuklama xuddi amplitudali detektorlashdagi kabi, ya’ni  $R$  va  $C$  parallel ulanishdan iborat bo‘lishi kerak, (1.18-rasm) hamda  $\omega_s$  va  $\omega_g$  yuqori chastotalarni filtrlashni ta’minlab,  $\omega_s - \omega_g$  farqlanuvchi chastotani ajratib berishi zarur. Agar  $\omega_s - \omega_g$  farqlanuvchi chastota yuqori chastotalar diapazonida yotsa, uni ajratib olish uchun rezonansli tebranuvchi zanjirni (1.18-rasm) qo‘llash lozim.

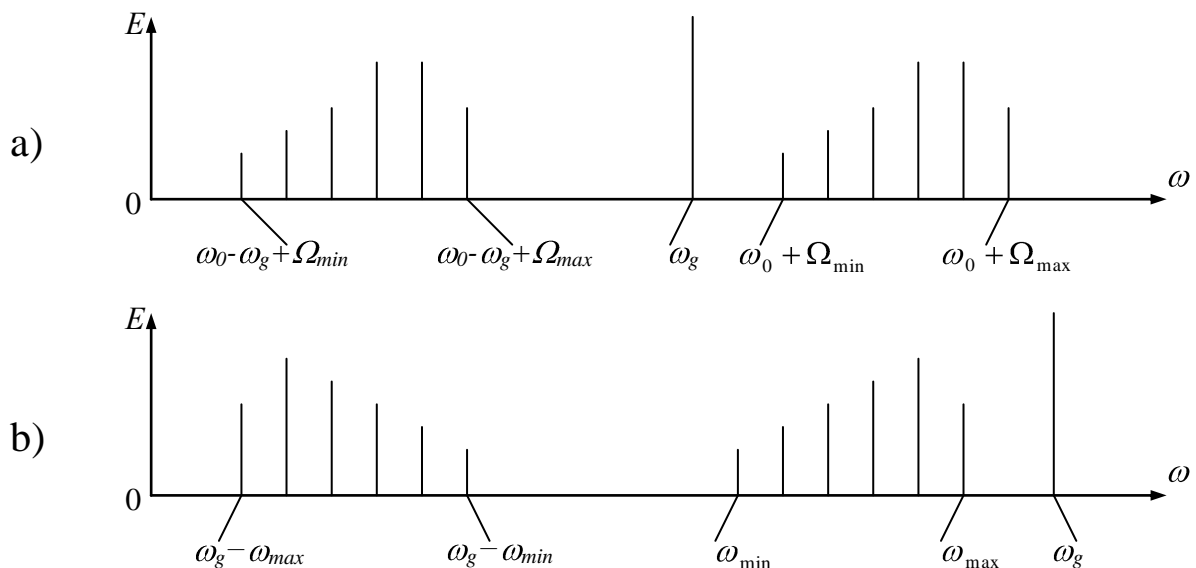
Agar foydali, ajratib olinishi zarur bo‘lgan yig‘indi chastota  $\omega_s + \omega_g$  bo‘lsa, u holda kontur mos ravishda  $\omega_r = \omega_s + \omega_g$  chastotaga sozlangan bo‘lishi kerak.



1.18-rasm.  $R$  va  $C$  parallel ulangan filtr (a) va uning ekvivalent sxemasi (b).

Odatda o‘zgartirgichning yuklamasi hisoblangan tebranish zanjirining o‘tkazish kengligi modulatsiyalangan tebranish spektrining kengligiga moslashgan. Bu holda  $\omega_s(t) \pm \omega_g$  ga yaqin chastotalarga ega tokning barcha tashkil etuvchilari kontur orqali bir tekis o‘tadi va chiqishda signalning tuzilishi kirishdagi signal tuzilishi bilan mos keladi.

Birgina tafovut shundaki, chiqishdagi chastota  $\omega_s(t) + \omega_g$  yoki  $\omega_s(t) - \omega_g$  ga teng, ya’ni, yuklama zanjirining rezonans chastotasiga bog‘liq. Chastotani o‘zgartirishda amplituda  $E_s(t)$ , chastota  $\omega_s(t)$  va faza  $\int \omega_s(t) dt$  larning o‘zgarish qonunlari chiqish tebranishiga o‘tkaziladi. Bu ma’noda ko‘rilayotgan signalni o‘zgartirish chiziqli yoki „aralashtirgich“ deb ataladi.



1.19-rasm. O‘zgartirgich kirishi va chiqishidagi signal spektri.

Farqlanuvchi chastotani ajratishda signalning tuzilishi  $\omega_s(t) > \omega_g$  bo‘lganda saqlanadi. Agar  $\omega_s(t) < \omega_g$  bo‘lsa, signal spektri teskari siljiydi.

1.19, a - rasmda o‘zgartirgichning kirishi va chiqishidagi spektral diagramma kirish tebranishi spektriga kiruvchi barcha chastotalar  $\omega_g$  geterodin chastotasidan yuqori bo‘lgan holat uchun tasvirlangan. Chap tomonga  $\omega_g$  kattalikka siljitimlib o‘zgartirilgan spektr xuddi kirish spektri kabi tuzilishga ega. 1.19, b - rasmda  $\omega_s(t) < \omega_g$  bo‘lganda o‘zgartirilgan spektrda  $\omega_{max}$  va  $\omega_{min}$  o‘rinlari almashadi.

## 1.6. Nochiziqli elementlar zanjiriga garmonik signalning ta'siri. Nоchiziq zanjirlarda jarayonlarni modellashtirish

Signallarni ba'zi bir o'zgartirishlarini reaktiv nochiziqli elementlar yordamida, masalan, yarimo'tkazgichli diodning  $p-n$  o'tishidagi nochiziqli sig'imga asoslanib amalga oshirish mumkin.

Bunday asboblarning umumiy nomi – varikap. O'YUCH diapazonida ishlashga mo'ljallangan varikap *varaktor* deyiladi. Varaktor chastotani ko'paytirish rejimida ancha yuqori quvvat ishlab chiqaradi.  $C_{NCH}$  sig'imli zanjirda  $e(t)$  garmonik ta'sirda  $i_{NCH}(t)$  tok hosil bo'lib, u  $n\omega_1$  chastotalarga ega garmonikalardan iborat. Bu esa chastotani ko'paytirish imkonini beradi.

Berilgan bu holatda tahlil asosiga varaktorning volt-kulon tavsifnomasini olish mumkin:

$$q = q_0 + b_1 e + b_2 e^2 + \dots + b_k e^k, \quad (1.36)$$

bunda  $b_1 = C_0$  quyidagi ifoda orqali aniqlanadi:

$$C_0 \approx \frac{dq_{NCH}(u)}{du} \Big|_{u=U_0}, \quad (1.37)$$

bunda  $U_0$  – ish nuqtasidagi kuchlanish;

$$b_2 = \frac{1}{2!} \left( \frac{d^2 q}{de^2} \right), \quad b_3 = \frac{1}{3!} \left( \frac{d^3 q}{qe^3} \right), \dots \quad (1.38)$$

Agar  $C(u)$  sig'imga berilgan kuchlanish vaqt bo'yicha o'zgarsa, u holda sig'im orqali o'tuvchi tokni quyidagi ikki ekvivalent ifoda yordamida aniqlash mumkin:

$$i(t) = \frac{dq(u)}{dt} = \frac{dq(u)}{du} \frac{du}{dt}, \quad (1.39)$$

$$i(t) = \frac{d \left[ C(u)U \right]}{dt} = u \frac{dC(u)}{dt} + C(u) \frac{du}{dt} = \left[ U \frac{dC(u)}{du} + C(u) \right] \frac{du}{dt}. \quad (1.40)$$

(1.39) ifodani (1.36) qatorga qo‘llab, nochiziqli sig‘im orqali o‘tadigan tokni topamiz:

$$i_{NCH}(t) = \frac{dq}{dt} = \frac{dq}{de} \frac{de}{dt} = b_1 \frac{de}{dt} + 2b_2 e \frac{de}{dt} + 3b_3 e^2 \frac{de}{dt} + \dots + kb_k e^{k-1} \frac{de}{dt}. \quad (1.41)$$

Bu qatorning birinchi uchta qo‘shiluvchilar tuzilishini quyidagi holat bo‘lganda ko‘rib chiqamiz:

$$e(t) = E \cos(\omega_1 t + \theta_1) = E \cos \psi_1(t).$$

Birinchi qo‘shiluvchi  $\omega_1$  chastotali oddiy chiziqli sig‘im  $C_0$  orqali o‘tuvchi tokka mos keladi:

$$b_1 \frac{de}{dt} = -C_0 \omega_1 E \sin \psi_1(t) = -C_0 \omega_1 E \sin(\omega_1 t + \theta_1). \quad (1.42)$$

Ikkinchi qo‘shiluvchi  $i_{NCH}(t)$  tokning spektriga  $2\omega_1$  va  $I_{\omega_2} = b_2 \omega_1 E^2$  amplitudali tashkil etuvchini kiritadi:

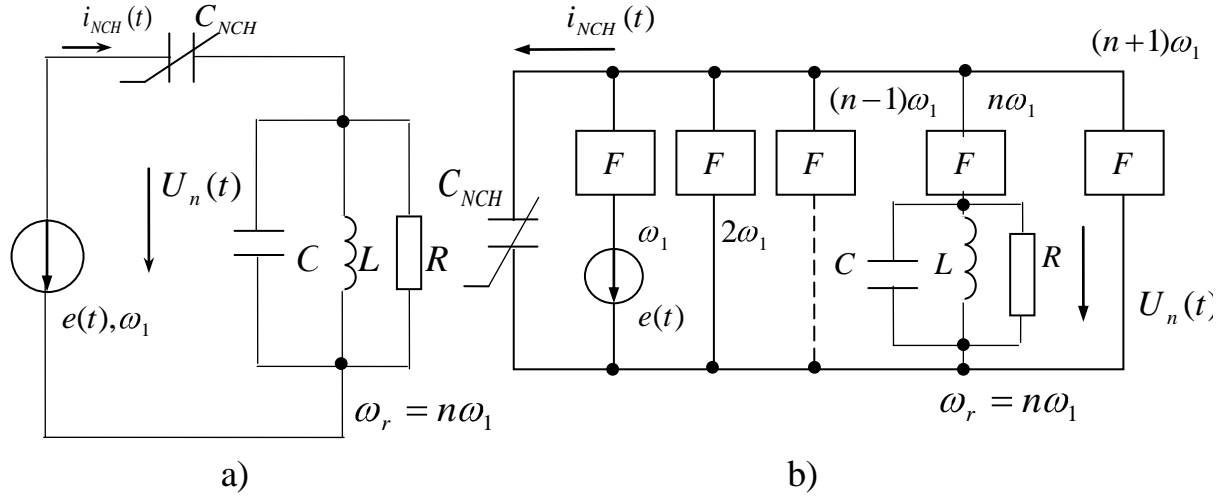
$$2b_2 e \frac{de}{dt} = 2b_2 E \cos \psi_1(t) - \omega_1 E \sin \psi_1(t) = -b_2 \omega_1 E^2 \sin(2\omega_1 t + 2\theta_1). \quad (1.43)$$

Uchinchi qo‘shiluvchi  $3b_3 e^2 \frac{de}{dt} = -3b_3 E^2 \cos^2 \psi_1(t) - \omega_1 E \sin \psi_1(t)$  esa, quyidagi ko‘rinishga keladi:

$$-\frac{3b_3 \omega_1 E^3}{4} [\sin(\omega_1 t + \theta_1)]^2 \sin(\omega_1 t + 3\theta_1). \quad (1.44)$$

Keltirilgan nisbatlardan garmonik ta’sir vaqtida  $i_{NCH}(t)$  tokning spektri hosil bo‘lish qonuniyati ko‘rinib turibdi. Inersiyasiz rezistiv elementli zanjir uchun bo‘lgani kabi juft darajali qator qo‘shiluvchilar juft garmonikalarni kiritadi, toq darajali qo‘shiluvchilar esa toq garmonikalarni kiritadi. Garmonikalarning eng yuqori tartibi volt-kulon tavsifnomasini approksimatsiyalovchi polinomning  $k$ -darajasiga teng. Tok spektridagi doimiy tashkil etuvchi mavjud bo‘lmaydi.

1.20-rasmda varaktorda yig‘ilgan chastota ko‘paytirgichining funksional sxemasi tasvirlangan.



1.20-rasm. Varaktor yordamida chastotani ko‘paytirish: a) ketma-ket va b) parallel ekvivalent sxemalar.

Yarimo‘tkazgich materialning qarshiligi va varaktoring nochiziqli sig‘imini shuntlovchi aktiv o‘tkazuvchanlik bu sxemada hisobga olinmaydi.  $i_{NCH}(t)$  tokning  $n$ -garmonikasi uchun yuklama qarshiligi  $R$  ga teng, qolgan barcha chastotalar uchun qarshilik qiymatini juda kichik deb hisoblash mumkin (kontur asilligi yetarlicha yuqori bo‘lganda).

Konturdagi kuchlanishni (1.43) va (1.44) larga asosan quyidagi ko‘rinishda yozish mumkin:

$$U_n(t) = I_n R \sin(n\omega_1 t + n\theta_1) = U_n \sin(n\omega_1 t + n\theta_1), \quad (1.45)$$

bunda  $I_n$  – tok  $i_{NCH}(t)$  ning  $n$ -garmonika amplitudasi.

Quvvat tortib oluvchi yuklama konturni kiritish,  $i_{NCH}(t)$  tok spektrining tuzilishini o‘zgartiradi, u salt yurish rejimida (1.41) ifoda orqali aniqlanadi. Yuklama rejimida spektr tuzilishini aniqlash uchun nochiziqli sig‘imda ikki kuchlanish  $e(t)$  va  $U_n(t)$  larning o‘zaro ta’sirini hisobga olish zarur. Shu maqsadda berilgan (1.41) ifodada  $e(t)$  kuchlanish  $U_n(t)$  qo‘shiluvchi bilan to‘ldirilgan bo‘lishi kerak. Undan keyin (1.43) va (1.44) kabi o‘zgartirishlarni bajarib,  $i_{NCH}(t)$  tokning hamma spektral tashkil etuvchilarini topamiz.

Tahlilni davom ettirish uchun 1.20, a - rasmdagi ketma-ket ekvivalent sxemani 1.20, b - rasmdagi parallel sxemaga o‘zgartirish maqsadga muvofiq. Parallel ekvivalent sxemada  $i_{NCH}(t)$  tokning har

bir spektral tashkil etuvchilari uchun garmonikalarning faqat bittasini o‘tkazuvchi (kuchsizlantirmasdan) alohida filtrli zanjir qo‘llanilgan.

Generatorning  $e(t)$  kuchlanishi 1.20, a - rasmdagi kabi  $C_{NCH}$  ga bevosita berilgan bo‘lib qoladi,  $2\omega_1, 3\omega_1, \dots$  chastotali toklar esa  $C_{NCH}$  nochiziqliligi tufayli tashqi zanjirda qisqa tutashadi va bunda  $\omega_1$  chastotali generator uchun hech qanday yuklamani sodir etmaydi. Faqatgina yuqlama konturga ega bo‘lgan zanjir bundan mustasno. Konturda tokning  $n$ -garmonikasi hosil qilgan kuchlanishning pasayishi  $e(t)$  bilan ketma-ket  $C_{NCH}$  ga ta’sir etadi.

Ko‘paytirgich sxemasidagi tokning spektral tashkil etuvchilarini va energetik nisbatlarini aniqlashni chastotani 2 ga ko‘paytirish misolida ko‘rib chiqaylik.

Savolning prinsipial tomonini aniqlash uchun masalani quyidagi taxmin bilan yengillashtiramiz. Varaktorning volt-kulon tavsifnomasi ishlatilayotgan qismida polinomning ikkinchi darajasi bilan qoniqarli approksimatsiyalansin. U holda ikkinchi garmonika  $I_2$  tokining amplitudasi faqat qatorning kvadratik tashkil etuvchisi orqali aniqlanadi.

(1.43) ifodada  $e(t)$  o‘rniga  $e(t)+U_n(t)=E\cos\psi_1(t)+U_2\sin\psi_2(t)$  yig‘indini qo‘yib, sodda trigonometrik o‘zgartirishlardan keyin quyidagini olamiz:

$$2\epsilon_2[e(t)+U_n(t)][e'(t)+U'n(t)] = -\epsilon_2\omega_1 E^2 \sin(2\omega_1 t + 2\theta_1) + \epsilon_2\omega_1 E U_2 \cos(\omega_1 t + \theta_1) + 3\epsilon_2\omega_1 E U_2 \cos(3\omega_1 t + 3\theta_1) - 2\epsilon_2\omega_1 U_2^2 \sin(4\omega_1 t + 4\theta_1). \quad (1.46)$$

Ekvivalent sxemaning “bo‘sh” zanjirlari orqali qisqa tutashadigan  $3\omega_1$  va  $4\omega_1$  chastotali toklar quvvat sarflamaydi va e’tiborga olinmasa ham bo‘ladi.

(1.46) ifodaning o‘ng qismidagi birinchi qo‘shiluvchisi (1.43) ifoda bilan mos kelib,  $\omega_r=2\omega_1$  rezonans chastota yuklamali konturga ega zanjirning tokini aniqlaydi. Bu tokning amplitudasi:

$$I_{\omega_2} = b_2 \omega_1. \quad (1.47)$$

$R$  rezistorda ajralib chiqadigan quvvat esa:

$$P_{\omega_2} = \frac{I_{\omega_2}^2 R}{2} = \frac{b_2^2 \omega_1^2}{2} E^4 R. \quad (1.48)$$

(1.46) ifodaning o‘ng qismidagi ikkinchi qo‘shiluvchi  $e(t)$  generatordi yuklovchi asosiy chastota  $\omega_1$  tokini aniqlaydi, uning amplitudasi (1.47) ifodani hisobga olgan holda quyidagiga teng:

$$I_{\omega_1} = b_2 \omega_1 E U_2 = b_2 \omega_1 E I_{\omega_2} R = b_2^2 \omega_1^2 E^3 R. \quad (1.49)$$

Shunga asosan,  $e(t)$  generatordan olinadigan quvvat

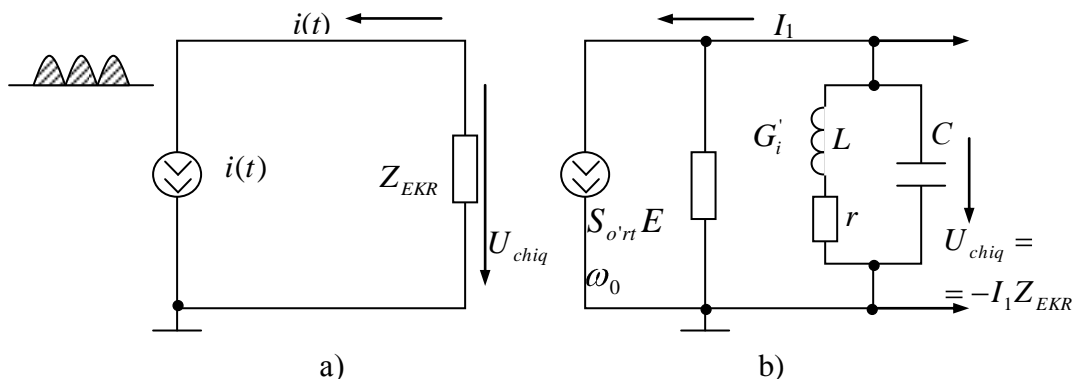
$$P_{\omega_1} = \frac{I_{\omega_1} E}{2} = \frac{b_2^2 \omega_1^2 E^4}{2} R$$

(1.48) va (1.49) ifodalarni solishtirish  $P_{\omega_1} = P_{\omega_2}$  ekanligini ko‘rsatadi.

Kirish tebranishining  $E$  amplitudasi ko‘payganda, va u bilan bog‘liq (1.36) qatorning ancha yuqori darajali tashkil etuvchilari ta’sirining o‘sib borishi bilan tok  $i_{NCH}(t)$  spektrining strukturasi ko‘payadi, lekin  $P_{\omega_1}$  va  $P_{\omega_2}$  o‘rtasidagi nisbat avvalgidek qoladi.

$P_{\omega_1} = P_{\omega_n}$  tengligida  $C_{NCH}$  quvvatli sig‘im elementiga ega chastota ko‘paytirgichining 1.21-rasmdagi tranzistorli inersiyasiz ko‘paytirgichdan prinsipial farqi namoyon bo‘ladi.

Tranzistorli ko‘paytirgichda  $\omega_1$  chastotali kirish signali manbasi kollektor tokini boshqaradi xolos,  $n\omega_1$  chastotali tebranish energiyasi esa kollektor zanjiridagi o‘zgarmas tok manbasidan beriladi.



1.21-rasm. Kuchaytirgich chiqish zanjirining umumiy ekvivalent sxemasi:  
a) tokni kesish rejimida; b) impuls tokning 1-garmonikasi uchun.

Sxemada  $Z_{EKR}$  – toklar rezonansida parallel konturning ekvivalent qarshiligi.

Varaktorli ko‘paytirgichda energiyaning yagona manbasi  $\omega_1$  chastotali generator hisoblanadi, to‘plovchi vazifasini bajaradigan nochiziqli  $C_{NCH}$  sig‘imga energiyani berib, undan esa energiya  $n\omega_1$  chastotali tebranishga qayta uzatiladi.

Varaktordagi yo‘qotishlarni e’tiborga olmagan holda ko‘paytirgich foydali ish koeffitsienti 1 ga teng. Real qurilmada esa varaktorning xususiy qarshiligi va moslovchi zanjirlardagi yo‘qotishlar hisobiga FIK 60–70% tashkil etadi.

## 2. Garmonik tebranishlarni generatsiyalash va tebranish tizimlari

### 2.1. Avtogeneratedorlarda tebranishlarning vujudga kelishi

Avtogeneratedor o‘zgarmas yoki o‘zgaruvchan tokning elektr energiyasini talab qilingan chastota va shakldagi tebranishlar energiyasiga o‘zgartirib elektr tebranishlarni ishlab chiqaradi.

Sxemasi va mo‘ljallanganidan qat’iy nazar, avtogeneratedor elektr manbasi, kuchaytirgich va teskari aloqa (musbat) zanjirga ega bo‘lishi kerak.

Avtogeneratedorlarni tahlil qilish va hisoblashda ikki asosiy vazifa tug‘iladi:

1) qaysi sharoitda teskari aloqali qurilma turg‘unligini yo‘qotadi, ya’ni o‘z-o‘zidan qo‘zg‘aladi;

2) statsionar rejimda avtotebranishlarning amplitudasi va chastotasini aniqlash.

Avtogeneratedorlardagi jarayonlarni o‘rganishni 2.1-rasmdagi qurilmadan boshlaylik. U transformator aloqali avtogeneratedor deb ataladi. Tebranish tizimi sifatida bu sxemada  $LCR$ -kontur xizmat qiladi. Qurilmada qaysidir usul bilan kichik tebranishlar qo‘zg‘atilgan bo‘lsin.

Agar  $u$  kondensatordagi kuchlanish (shuningdek, elektron asbobning elektrodida ham) bo‘lsa, Kirxgofning ikkinchi qonuniga asosan bu tizimni ko‘rsatuvchi quyidagi differensial tenglamani tuzish mumkin:

$$LC \frac{d^2u}{dt^2} + RC \frac{du}{dt} + u = \pm M \frac{di}{dt}, \quad (2.1)$$

bunda  $i$  – teskari aloqa zanjiridagi tok.

O‘ng tomondagi ishora  $L$  va  $L_a$  qaysi usulda (qarama-qarshi yoki moslashgan) ulanishiga bog‘liq. Boshqaruvchi  $u$  kuchlanishni shu qadar kichik deb hisoblaylikki, unda elektron asbobning chiqish signali boshqaruvchi kuchlanishga chiziqli bog‘liq bo‘lgan boshqariladigan tok manbasi bilan to‘liq aniq almashtirilishi mumkin bo‘lsin:

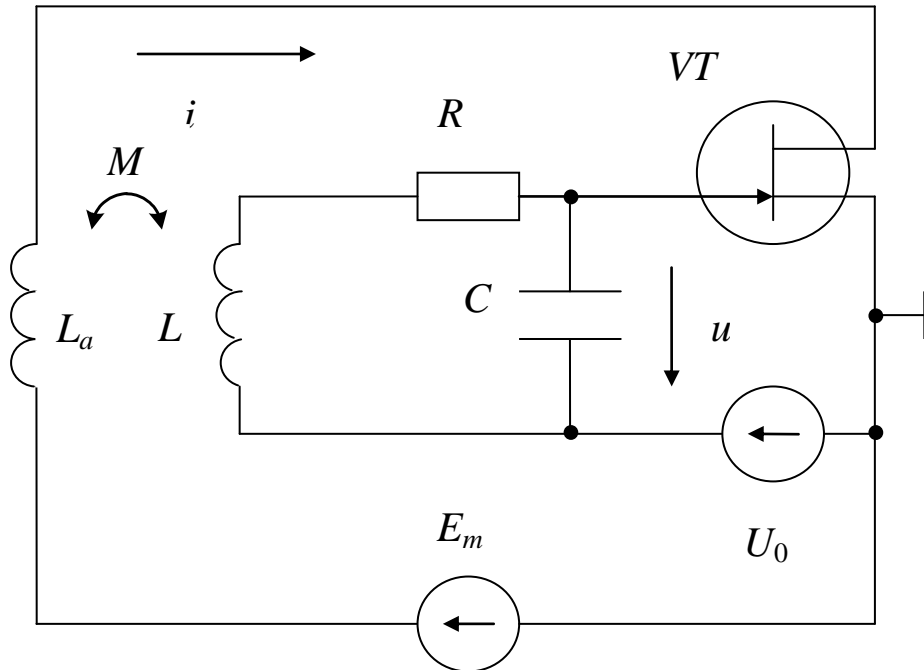
$$i = i_0 + S_{dif} u, \quad (2.2)$$

bunda  $i_0$  – tokning o‘zgarmas tashkil etuvchisi;

$S_{dif}$  – o‘zgarmas ish nuqtasidagi VAT qiyaligi.

(2.1) va (2.2) ifodalarni birlashtirib, tizimning quyidagi tenglamasini olamiz:

$$\frac{d^2u}{dt^2} + \left( \frac{R}{L} \mp \frac{MS_{dif}}{LC} \right) \frac{du}{dt} + \omega_0^2 u = 0 \quad (2.3)$$



2.1-rasm. Transformator aloqali avtogenenerator.

bunda  $\omega_0 = 1/\sqrt{LC}$  – yo‘qotishlarsiz konturning xususiy tebranishlar chastotasi.

O‘zaroinduktivlik  $M$  koeffitsientini tanlaganda koeffitsientni  $du/dt$  hosilada o‘zgartirish mumkin. Bu koeffitsientning ishorasi va qiymatini bunday dinamik tizimda erkin tebranishlar xarakterini aniqlaydi.

Agar (2.1) va (2.2) ifodalarda yuqori ishoralar olinsa, teskari aloqa hisobiga regeneratsiya kuzatiladi. Agar  $M$  kattalik kritik qiymatga erishsa, u holda

$$M_{kr} = RC/S_{dif} = 1/\varphi_0 Q S_{dif}, \quad (2.4)$$

bunda  $Q$  – regeneratsiyani hisobga olmaganda konturning asilligi bo‘lsa, u holda (2.3) ifoda yo‘qotishlarsiz ideal tebranish tizimiga xos ko‘rinishga keladi:

$$\frac{d^2u}{dt^2} + \omega_0^2 u = 0.$$

$M > M_{kr}$  holatda qurilma turg‘unlikni yo‘qotadi.

$$\alpha = \frac{1}{2} \left[ \frac{MS_{dif}}{LC} - \frac{R}{L} \right] > 0$$

parametrni kiritib,

$$\frac{d^2u}{dt^2} - 2\alpha \frac{du}{dt} + \omega_0^2 u = 0$$

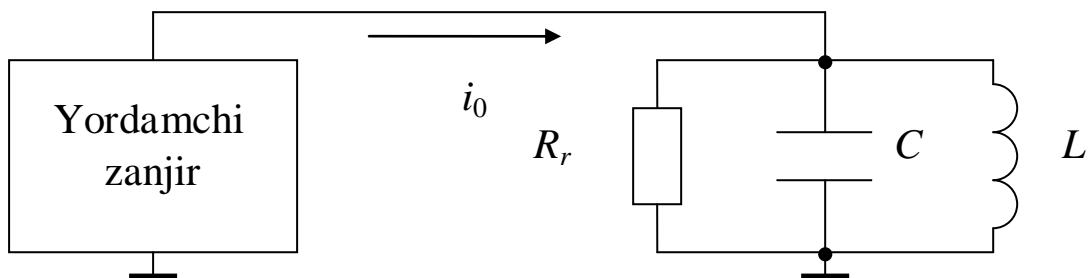
differensial tenglamani olamiz, uning yechilishi vaqt bo‘yicha o‘sib boruvchi eksponensial amplitudali garmonik tebranishni ko‘rsatadi:

$$u(t) = Ae^{\alpha t} \cos \sqrt{\omega_0^2 - \alpha^2} t + Be^{\alpha t} \sin \sqrt{\omega_0^2 - \alpha^2} t \quad (2.5)$$

( $A$  va  $B$  – boshlang‘ich shartlarga bog‘liq bo‘lgan o‘zgarmas kattaliklar). Amalda har doim  $\alpha < \omega_0$  va (2.5) ifodaga binoan chiziqli rejimda vujudga keladigan avtotebranishlarning to‘ldirish chastotasi konturing xususiy tebranishlari chastotasiga yaqin bo‘ladi.

## 2.2. Tebranishlarning vujudga kelishi va o'sib borishi shartlari

Tebranish konturida tashqi ta'sirlar natijasida (masalan, elektr manbasini ulaganda) ko'p spektrli tebranishlar vujudga keladi. Kontur rezonans xususiyatlariga muvofiq rezonans chastotaga yaqin chastotali tebranishlar katta amplitudaga erishadi. Yordamchi zanjirdan (2.2-rasm) energiyani kiritish hisobiga konturda yo'qotishlarni qayta qoplash sodir bo'ladi, ya'ni beriladigan energiya yo'qotishlar energiyasidan ko'p bo'ladi va tebranishlar amplitudasi tizimning rezonans chastotasida o'sib boradi.



2.2-rasm. Yordamchi zanjirli parallel tebranish konturi.

Tebranishlar amplitudasi o'sib borishi bilan yordamchi zanjirning nochiziqligi sababli, beriladigan energiyaning ortishi yo'qotishlar energiyasining ortishiga nisbatan sekinlashadi. Agar kiritilgan energiya yo'qotishlar energiyasiga teng bo'lsa, tizimda statsionar rejim o'rnatiladi

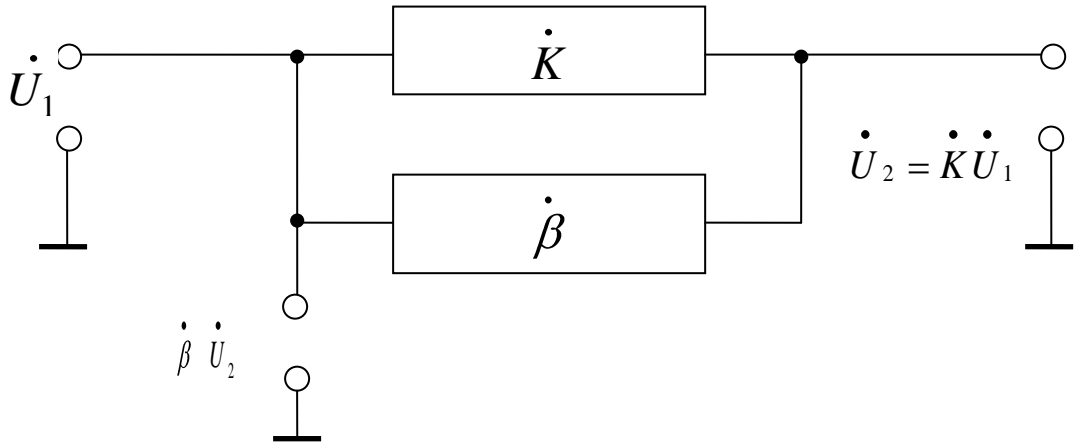
Statsionar rejimda tebranish amplitudasi va chastotasini aniqlash mumkin. Kompleks kuchaytirish

$$\dot{K} = K e^{j\varphi_k}$$

koeffitsientli kuchaytirgich va kompleks uzatish

$$\dot{\beta} = \beta e^{j\varphi_\beta}$$

koeffitsientli musbat teskari aloqa asosida yig'ilgan generatori (2.3-rasm) ko'rib chiqaylik.



2.3-rasm. Musbat teskari aloqali generator struktura sxemasi.

Kuchaytirgich kirishida  $\omega_0$  chastotali va  $U_1$  amplitudali garmomnik tebranish mavjud bo'lsin. Bu tebranishni qo'llab turish uchun butun zanjirni ( $\dot{K}$  va  $\dot{\beta}$ ) aylanib chiqqanidan keyin kirishga xuddi shu chastotali, fazali va amplitudali tebranishni berish lozim. Bunga quyidagi shart mos keladi:

$$\dot{\beta} \dot{U}_2 = \dot{\beta} \dot{K} \dot{U}_1 = \dot{U}_1 \text{ yoki } \dot{\beta} \dot{K} = 1 \quad (2.6)$$

(2.6) ifodani  $\beta e^{j\varphi_\beta} \cdot K e^{j\varphi_K} = 1$  ko'rinishida yozib, quyidagiga kelamiz:

$$\beta(U_0)K(U_0)=1, \quad (2.7)$$

$$\varphi_\beta(\omega_0)+\varphi_K(\omega_0)=2\pi k, k=0,1,2,\dots \quad (2.8)$$

(2.7) shart amplitudalar muvozanati sharti hisoblanadi: tebranishlar statsionar amplitudasida kuchaytirgich va teskari aloqa zanjiridan iborat halqani aylanib chiqqandagi generatsiya chastotasida to'liq kuchaytirish koeffitsienti 1 ga teng. Amplitudalar balansi shartidan generatsiyalanuvchi tebranishlar amplitudasi aniqlanadi.

(2.8) shart fazalar muvozanati sharti deyiladi va quyidagicha tariflanadi: avtotebranishlarning statsionar rejimida fazalarning to'liq siljishi  $2\pi$  ga teng yoki karralidir. Fazalar balansi shartidan generatsiyalanuvchi  $\omega_0$  chastota aniqlanadi.

### 2.3. Tebranish konturlarida majburiy tebranishlar

So‘nmas tebranishlarni olish uchun kontur energiyasining zaxirasini uzluksiz to‘ldirib turish zarur. Shuning uchun kontur o‘zgaruvchan tor generatoriga ulanadi. Konturda hosil bo‘ladigan so‘nmas tebranishlar majburiy tebranishlar deb ataladi. Generator chastotasi bilan konturning xususiy chastotasi teng bo‘lganda konturda juda katta amplitudali tebranishlar vujudga keladi va bu hodisa rezonans deyiladi. Tashqi manbaga konturning induktivlik g‘altagi  $L$  va kondensatori  $C$  ularish turiga qarab rezonans ikki turga bo‘linadi: ketma-ket yoki kuchlanishlar rezonansi va parallel yoki toklar rezonansi.

**Kuchlanishlar rezonansi.** Ketma-ket rezonansning vujudga kelishini ko‘rib chiqaylik. Konturda energiya yo‘qotishlarini hisobga oluvchi aktiv  $R$  qarshilikni, tahlilni yengillashtirish uchun sxemada alohida element ko‘rinishida tasvirlanadi (2.4-rasm). Konturning to‘liq qarshiligi:

$$Z_K = \sqrt{R^2 + (\omega_L - \omega_C)^2} = \sqrt{R^2 + \left(\omega L - \frac{1}{\omega C}\right)^2}. \quad (2.9)$$

Ketma-ket konturda induktiv sig‘im qarshiliklari tenglashgan holatdagi rejim *kuchlanishlar rezonansi* deyiladi (2.5-rasm).

$\omega L = 1/(\omega C)$  tengligidan  $\omega^2 LC = 1$  yoki  $f_r = 1/(2\pi\sqrt{LC})$  ni olamiz.

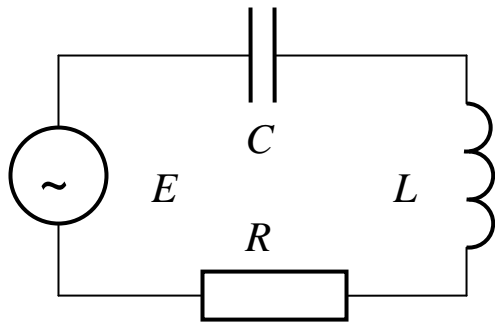
Konturning kuchlanishlar rezonansidagi umumiy qarshiligi minimal, faqat aktiv bo‘ladi va yo‘qotishlar qarshiligi orqali aniqlanadi:

$$Z_{k,r} = R. \quad (2.10)$$

Uch holat uchun vektor diagrammalarini qoramiz (2.6-rasm):

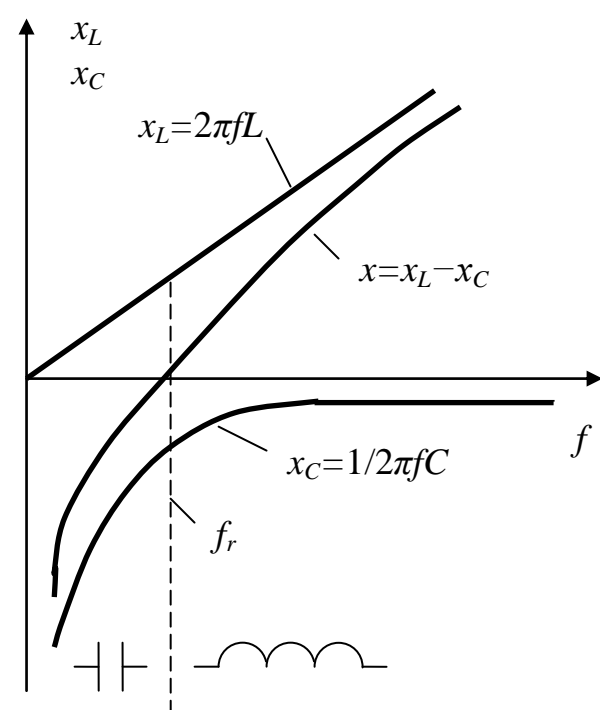
$\omega_g = \omega_0$ ;  $\omega_g < \omega_r$ ;  $\omega_g > \omega_r$ .

Rasmdan ko‘rinib turibdiki, a) holatda tok vektori konturda EYUK vektori fazasi bilan mos tushadi, ya’ni rezonans momentida konturning umumiy qarshiligi aktiv xarakterga ega, b) holatda tok vektori kuchlanish vektorini ilgarilabketadi, c) holatda esa kuchlanish vektoridan ortda qoladi, bu esa mos ravishda sig‘im va induktivlik qarshiligi uchun xarakterli hisoblanadi.



2.4-rasm. Ketma-ket kontur sxemasi.

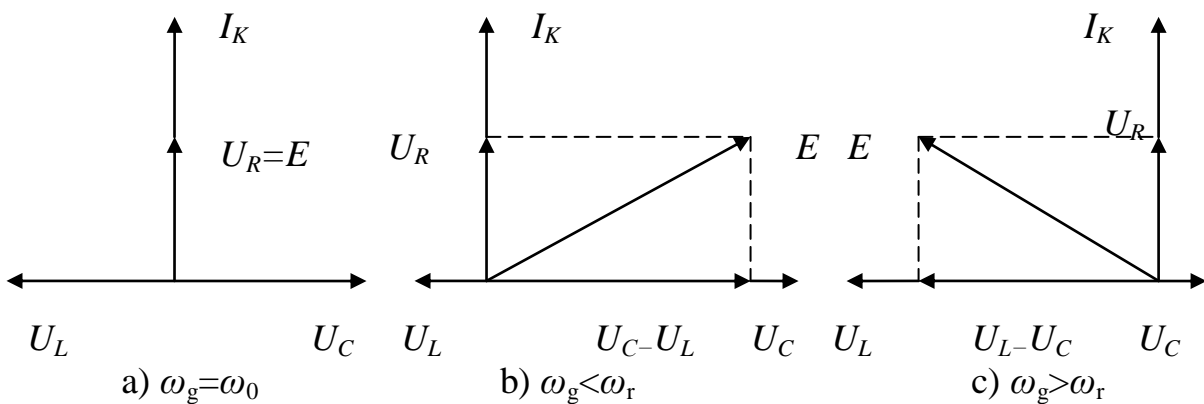
2.5-rasm. Kontur reaktiv qarshiliklarining chastotaga bog'liqligi.



Konturdagi tok rezonansda maksimal bo'lib, quyidagi ifoda orqali aniqlanadi:

$$I_k = E/R. \quad (2.11)$$

Shunday qilib, generator kuchlanishi  $E$  aktiv  $R$  qarshilikda kuchlanishning tushishiga teng. Rezonans momentida konturdagi katta tok induktivlik va sig'im qarshiliklarida generator kuchlanishidan  $Q$  marta katta bo'lgan kuchlanishlarni vujudga keltiradi:



2.6-rasm. Ketma-ket konturning vektor diagrammalari.

$$U_L = I_r x_L = \frac{E}{R\omega_r L}; \quad U_C = I_r x_C = \frac{E}{R} \cdot \frac{1}{\omega_r C};$$

$$\frac{U_L}{E} = \frac{E\omega_r L}{RE} = \frac{\omega_r L}{R} = \frac{\rho}{R} = Q; \quad \frac{U_C}{E} = \frac{E}{R\omega_r CE} = \frac{1}{R\omega_r C} = \frac{\rho}{R} = Q;$$

$$U_L = U_C = EQ.$$

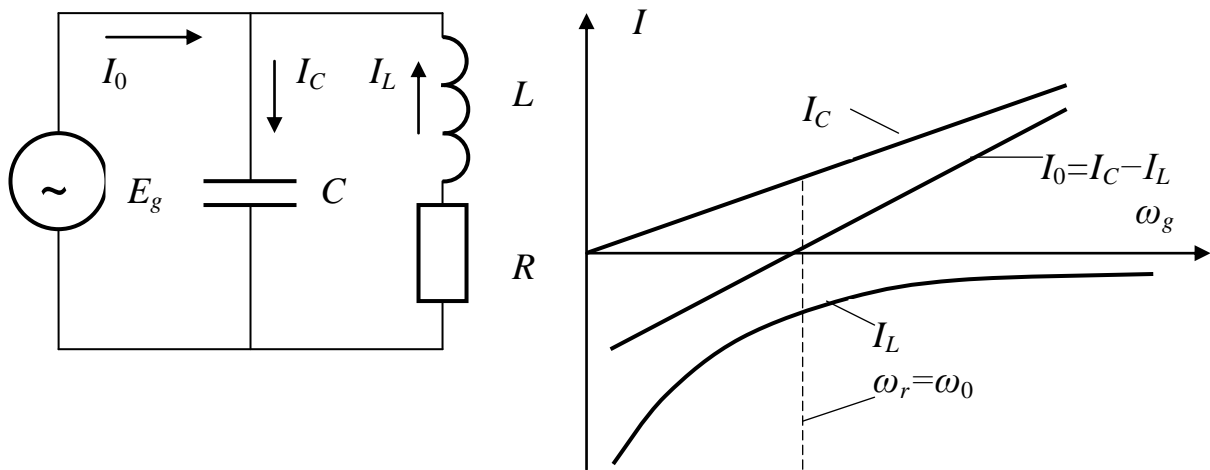
Konturning asilligi  $Q$  qancha katta bo'lsa, rezonansda kuchlanish shuncha marta ko'payadi. Katta qiymatli  $U_L$  va  $U_C$  kuchlanishlar konturda tebranishlar sodir bo'lish jarayonida energiyaning doimiy yig'ilib borishi hisobiga olinadi. Ularning amplitudasi generator berayotgan energiya kontur aktiv qarshiligidagi yo'qotishlar energiyasiga teng bo'limguncha o'sib boradi. Undan keyin konturda katta tok va kuchlanish bilan tavsiflanuvchi quvvatli tebranishlar sodir bo'ladi, generator esa faqat energiyaning yo'qotishlarini qoplash uchun kichik quvvat sarflaydi.

**Toklar rezonansi.** Parallel ulangan induktivlik g'altagi, kondensator va generatordan iborat parallel tebranish kontur sxemasi 2.7-rasmida ko'rsatilgan. Bunday zanjirda  $f_g=f_0=f_r$  holatda vujudga keluvchi rejim toklar rezonansi deb ataladi. Bu holatda kondensatorning sig'im qarshiligi va g'altakning induktivlik qarshiligi son jihatdan teng bo'ladi:  $x_L=x_C$ .

Faraz qilaylik,  $R \ll \omega_0 L$  bo'lsin, ya'ni konturni ideal deb hisoblaylik. U holda  $E_g=U_C=U_L$  bo'ladi. Sig'im va induktiv zanjirlar orqali generator kuchlanishi ta'sirida toklar oqib o'tadi. Bu toklarning generator chastotasiga bog'liqligi 2.8-rasmida ko'rsatilgan:

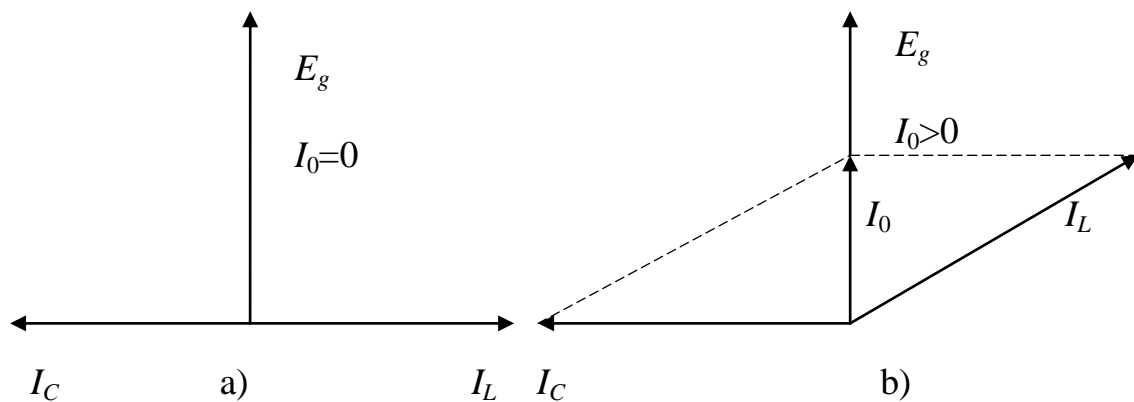
$$I_C = \frac{E_g}{1/\omega_0 C} = \frac{E}{\rho}, \quad (2.12) \quad I_L = \frac{E_g}{\omega_0 L} = \frac{E}{\rho}. \quad (2.13)$$

Kondensator va induktivlik g'altagi orqali o'tuvchi toklar qarama-qarshi yo'nalishli, shuning uchun Kirxgoffning birinchi qonuniga asosan umumiyliz zanjirdagi tok  $I_0$  bu ikki tokning farqiga teng bo'ladi:  $I_0=I_C-I_L$ .



2.7-rasm. Parallel tebranish konturi.

2.8-rasm. Parallel konturda toklarning generator chastotasiga bog'liqligi.



2.9-rasm. Parallel konturda toklarning vektor diogrammalari:

a) ideal konturda; b) real konturda.

Rezonans momentida (2.12) va (2.12) ifodalarga asoslanib, kontur cheksiz katta qarshilik ko'rsatadi. Real konturda har doim yo'qotishlar mavjud bo'lib, ular ko'proq induktiv zanjirga tegishli, shu sabab  $I_L < I_C$ ,  $I_0 \neq 0$ .

2.9-rasmda parallel kontur uchun toklar vektor diogrammalari ko'rsatilgan.

Rezonans momentida parallel konturning qarshiligi faqat aktiv bo'ladi, chunki konturdagi kuchlanish va zanjirning tarmoqlanmagan qismidagi tok fazasi bo'yicha mos keladi. Qarshilikning qiymati quyidagi teng:

$$Z_{k.r} = \frac{Z_1 Z_2}{Z_1 + Z_2} = \frac{\frac{1}{\omega_0 C} \sqrt{R^2 + \omega_0 L}}{\sqrt{R^2 + \left(\omega_0 L - \frac{1}{\omega_0 C}\right)^2}} = \frac{\frac{1}{\omega_0 C} \omega_0 L}{R} = \frac{L/C}{R}.$$

Suratdagi  $R^2$  kattalikni hisobga olmasa ham bo‘ladi, chunki u  $\omega_0 L$  dan o‘n va yuz marotaba kichik, ularning kvadrati esa o‘n ming martagacha farq qiladi.

$\omega_0 L = 1/\omega_0 C = \rho = \sqrt{L/C}$  va  $Q = \rho/R$  ni hisobga olib,  $Z_{k.r} = \rho^2/R = \rho Q$  ekanligini aniqlaymiz.

Odatda, radiotexnik qurilmalarda qo‘llaniladigan konturlarning asilligi juda yuqori – bir necha o‘n yoki yuzga teng, xarakteristik qarshilik – bir necha yuz Omni tashkil etadi, shuning uchun konturning qarshiligi rezonansda bir necha mingdan yuz ming Omgacha oraliqda bo‘ladi.

Rezonans momentida parallel konturning sig‘im va induktiv zanjirlarni umumiyl o‘tkazgichida toklar nisbati quyidagicha bo‘ladi:

$$I_0 = E/Z_{k.r} = E R / \rho^2; \quad I_C = \frac{E}{1/\omega_0 C} = \frac{E}{\rho}; \quad I_L = \frac{E}{\omega_0 L} = \frac{E}{\rho};$$

$$\frac{I_C}{I_0} = \frac{E\rho^2}{\rho ER} = \frac{\rho}{R} = Q; \quad \frac{I_L}{I_0} = \frac{E\rho^2}{\rho ER} = \frac{\rho}{R} = Q.$$

Shunday qilib,

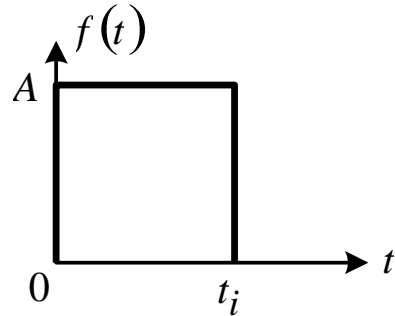
$$I_C/I_0 = I_L/I_0 = Q. \quad (2.14)$$

Bu holatda parallel konturning asilligi rezonansda xar bir tarmoqdagi tok manba zanjiridagi tokdan necha marta kattaligini ko‘rsatadi.

Ketma-ket konturda rezonansda generator toki maksimal, parallel konturda esa minimal bo‘lib, konturdagi energiya yo‘qotishlarni qoplash uchun sarflanadi.

## 2.4. Tebranish konturlarida o'tish jarayonlari

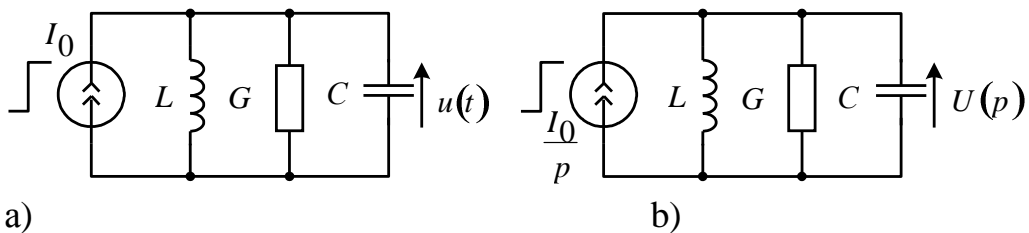
Tebranish konturlari radiotexnik qurilmalarning ancha qismini tashkil qiladi. Ular turli xil funksiyalarni bajarishi mumkin: masalan, videoimpulslar ketma-ketligidan garmonik tebranishlarni ajratib olish, o'rnatilgan davomiylikda to'g'riburchakli impulslarni shakllantirish va hokazolarda ishlataladi. Amaliyotda konturga to'g'riburchakli impuls ta'sir etishi ko'p hollarda uchraydi (2.10-rasm).



2.10-rasm. To'g'riburchakli impuls.

$t_i \geq t_{o'm}$  deb faraz qilaylik, unda  $t_i \geq t \geq +0$  da konturda o'tish tebranishlari rejimi kuzatilishini,  $t > t_i$  momentidan boshlab esa reaktiv elementlar zaxiralab olgan energiya hisobiga erkin tebranishlarni ko'rish qiyin emas. Bu ikkala holatni parallel kontur misolida ko'rib chiqamiz.

**Parallel konturda o'tish jarayoni (tebranish).** Mustaqil boshlang'ich shartlar (kondensatordagi kuchlanish va induktivlik orqali o'tuvchi tok) holatidagi parallel konturga  $t=0$  momentda  $I_0$  qiymatli tok pasayishi ta'sir qilayotgan bo'lisin. Konturdagi reaksiyani – kuchlanishning vaqtga bog'liqligi aniqlansin (2.11, a - rasm).



2.11-rasm. Parallel tebranish konturi (a) va uning ekvivalent operatorli almashtirish sxemasi (b).

$u(t)$  ni aniqlash uchun ekvivalent operatorli almashtirish sxemasidan foydalanamiz (2.11, b - rasm). Undan  $U(p)$  ni aniqlaymiz:

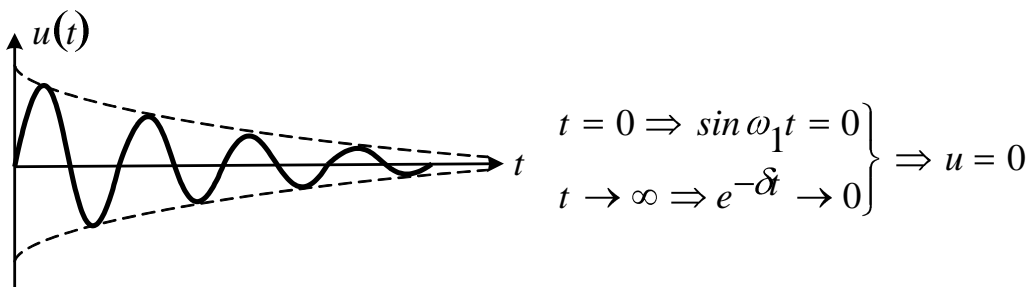
$$U \overset{I_0}{=} I_0 \overset{Z}{=} \frac{I_0}{p\left(\frac{1}{pL} + G + pC\right)} = \frac{I_0}{p^2C + pG + \frac{1}{L}} = \frac{I_0}{C(p^2 + 2\delta p + \omega_0^2)}$$

bunda  $\delta = \frac{G}{2C}$  – so‘nish koeffitsienti;  $\omega_0 = \frac{1}{\sqrt{LC}}$  – xususiy so‘nmas tebranishlarning chastotasi.

Mos koeffitsientlar aniqlagandan so‘ng quyidagini olamiz:

$$U \overset{I_0}{=} u \overset{\cdot}{=} \frac{I_0}{\omega_1 C} e^{-\delta t} \cdot \sin(\omega_1 t), \quad (2.15)$$

bunda  $\omega_1 = \sqrt{\omega_0^2 - \delta^2}$  – xususiy so‘nuvchi tebranishlar chastotasi. Bu jarayonning grafigi 2.22-rasmda ko‘rsatilgan.



2.22-rasm. Parallel konturda o‘tish jarayoni.

**Tebranish konturlarida o‘tish jarayonlarining rejimlari.** (2.15) ifoda konturdagi kuchlanish uchun pog‘onali ta’sir etgan holatda olingan edi. Jarayonni o‘rganish qulay bo‘lishi uchun  $\delta$  so‘nish koeffitsienti va  $\omega_1$  chastotani asillik orqali ifodalaymiz:

$$\delta = \frac{G}{2C} \cdot \frac{\omega_0}{\omega_0} = \frac{\omega_0}{2Q} \Rightarrow \omega_1 = \omega_0 \sqrt{1 - \frac{1}{4Q^2}}$$

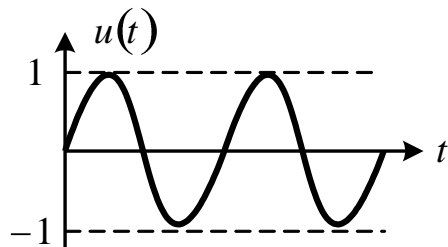
$\delta$  kattalik (yoki asillik  $Q$ ) ga bog‘liq holda tebranishlarni to‘rtta rejimga ajratamiz: tebranish, kvazitebranish, kritik va aperiodik.

a) tebranish rejimi; bu rejim yo‘qotishlarsiz konturda (ideal konturda) sodir bo‘ladi:  $\delta=0$   $Q \rightarrow \infty \Rightarrow \omega_l = \omega_0$ , ya’ni faqat nazariy holatlarda.

(2.15) ifoda quyidagi ko‘rinishga kelai:

$$u(t) = \frac{I_0}{\omega_0 C} \sin(\omega_0 t) = U_m \sin(\omega_0 t). \quad (2.16)$$

Olingan natijaning grafigi 2.23-rasmda ko‘rsatilgan.

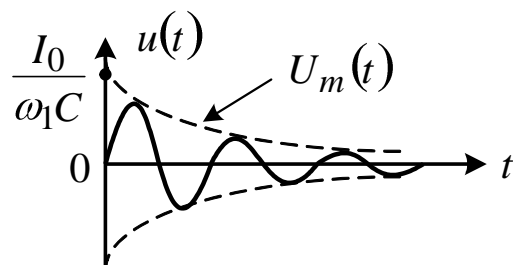


2.23-rasm. Tebranish rejimi grafigi.

b) kvazitebranish rejimi; bu rejim juda ko‘p hollarda qo‘llaniladi.  $U_m \delta < \omega_0$   $Q > 0,5$  bo‘lganda sodir bo‘ladi. Rejimning grafigini qurish uchun quyidagi ifodadan foydalanamiz:

$$u(t) = \frac{I_0}{\omega_1 C} e^{-\delta t} \cdot \sin(\omega_1 t) = U_m e^{-\delta t} \sin(\omega_1 t), \quad (2.17)$$

bunda  $U_m = \frac{I_0}{\omega_1 C} e^{-\delta t}$  – eksponensial qonun bo‘yicha so‘nib boruvchi kuchlanishning amplitudasi.



2.24-rasm. Kvazitebranish rejimi grafigi.

Kuchlanish amplitudasi o‘z maksimal qiymatining 5% dan kichik bo‘lishi shartidan, o‘tish tebranishlar davomiyligi aniqlanishi mumkin, ya’ni:

$$e^{-\delta t} \leq 0,05,$$

undan esa

$$\delta t_{o'm} \geq 3 \Rightarrow t_{o'm} \geq \frac{3}{\delta} = \frac{Q}{f_0} = \frac{1}{2\Delta f}. \quad (2.18)$$

(2.18) dan xulosa qilish mumkinki, kontur asilligi  $Q$  qancha yuqori bo‘lsa (yoki o‘tkazish kengligi  $2\Delta f$  qancha kam bo‘lsa), o‘tish jarayoni shuncha uzoq davom etadi. So‘nuvchi tebranishlar chastotasi  $\omega_1 < \omega_0$ , lekin bu tafovut juda kichik. Haqiqatda o‘rtacha ( $Q \approx 10 - 100$ ) asillikda, misol uchun  $Q = 10$  da quyidagiga egamiz:

$$\omega_1 = \omega_0 \sqrt{1 - \frac{1}{4 \cdot 10^2}} = \omega_0 \sqrt{1 - 0,0025} \approx \omega_0. \quad (2.19)$$

d) kritik rejim; bu rejim  $\delta = \omega_0 \sqrt{Q} = 0,5$  holda sodir bo‘ladi. Unda  $\omega_1 = 0$  bo‘lib, 0/0 noaniqlik hosil bo‘ladi. Uni quyidagicha yechamiz:

$$\lim_{\omega_1 \rightarrow 0} \frac{\sin \omega_1 t}{\omega_1 t} = \frac{\omega_1 t}{\omega_1} = t.$$

$u(t)$  uchun ifoda quyidagi ko‘rinishni oladi:

$$u(t) = \frac{I_0}{C} t \cdot e^{-\delta t}. \quad (2.20)$$

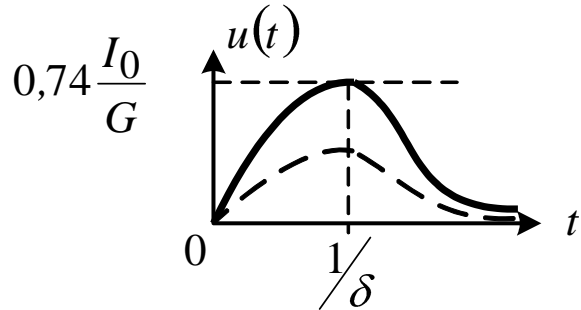
Ekstremal nuqtalarni quyidagi shartdan aniqlaymiz:

$$\frac{I_0}{C} (-\delta t_{max} - \delta t_{max} e^{-\delta t_{max}}) = 0 \Rightarrow t_{max} = \frac{1}{\delta},$$

bu holda

$$u_{max} = \frac{I_0}{C \cdot \delta \cdot e} \approx 0,74 \frac{I_0}{G}.$$

Kritik rejimdagi kuchlanish grafigi 2.25-rasmda ko'rsatilgan.



2.25-rasm. Kritik rejim grafigi.

e) aperiodik rejim; bunday rejim  $\delta > \omega_0 (Q < 0,5)$  da sodir bo'ladi. Undan esa  $\omega_1$  kompleks shaklda bo'ladi va fizik ma'noga ega bo'lmasligi kelib chiqadi. Kuchlanish grafigi bu rejimda kritik rejimdagiga qaraganda pastroq bo'ladi (2.25-rasmda uzlukli chiziqda ko'rsatilgan).

Xulosa qilib shuni aytish mumkinki, kontur asilligini o'zgartirib borib (masalan, shuntlovchi qarshilik yordamida), tebranish jarayonining davomiyligi va ko'rinishini o'zgartirish mumkin.

## 2.5. Garmonik ta'sir ostida parallel konturdagi o'tish tebranishlari

Nollik boshlang'ich shartlarda bo'lgan  $\omega_0$  rezonans chastotali parallel konturga (2.26, a-rasm),  $t=0$  momentda chastotasi  $\omega_0$  bilan mos keluvchi garmonik tebranish ta'sir qilayotgan bo'lsin:

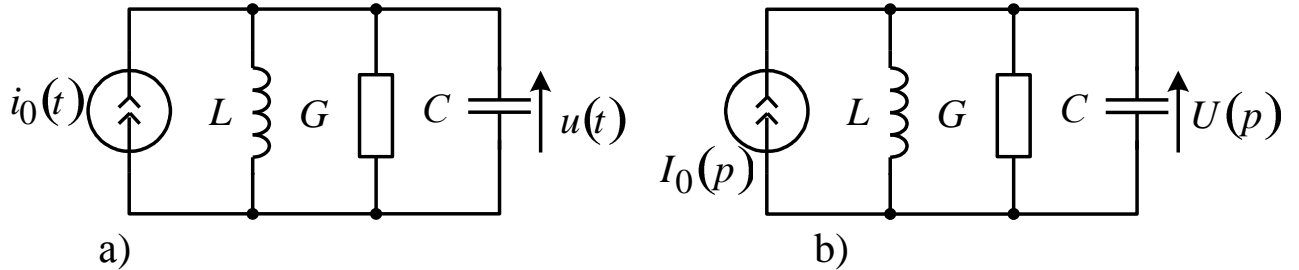
$$i_0 = \begin{cases} 0, & t < 0, \\ I_{m_0} \cos \varphi_0 t, & t \geq 0 \end{cases}$$

Konturda kuchlanish o'zgarishining qonunini aniqlash lozim.

Masalani operator shaklda yechamiz, shuning uchun 2.26, b-rasmagi ekvivalent sxemaga o'tamiz.

$i_0(t)$  ta'sir toki operator shaklda quyidagicha aniqlanadi:

$$I_0 \xrightarrow{p} I_{m_0} \frac{p}{p^2 + \omega_0^2}.$$



2.26-rasm. Garmonik ta'sir ostidagi parallel kontur (a) va uning ekvivalent sxemasi (b).

Konturning operatorli o'tkazuvchanligini aniqlaymiz:

$$Y \xrightarrow{p} pC + G + \frac{1}{pL} = \frac{C}{p} \xrightarrow{p^2} + 2\delta p + \omega_0^2,$$

bunda  $\delta$  va  $\omega_0$  oldindan aniqlangan hisoblanadi.

Om qonuni bo'yicha operator shaklda quyidagiga egamiz:

$$U \xrightarrow{p} \frac{I_0 \xrightarrow{p}}{Y(p)} = \frac{I_{m_0}}{C} \cdot \frac{p^2}{\xrightarrow{p^2} + \omega_0^2} \xrightarrow{p^2 + 2\delta p + \omega_0^2}. \quad (2.21)$$

(2.21) ifoda uchun operator shaklidan vaqt mintaqasiga o'tish uchun zarur bo'lgan ifoda yo'qligi sababli, uni o'zgartirish kerak. Buning uchun yoyish teoremasi va noaniq koeffitsientlar usulidan foydalanish lozim. 4-tartibli to'g'ri kasrni ikkita 2-tartibli to'g'ri kasrlar yig'indisi ko'rinishda ifodalaymiz:

$$\frac{\frac{I_{m_0}}{C} p^2}{\xrightarrow{p^2} + \omega_0^2} \xrightarrow{p^2 + 2\delta p + \omega_0^2} \frac{Ap + B}{p^2 + \omega_0^2} + \frac{Cp + D}{p^2 + 2\delta p + \omega_0^2}, \quad (2.22)$$

bunda  $A, B, C, D$  – aniqlanishi zarur bo‘lgan koeffitsientlar.

Agar (2.22) ifodani umumiy maxrajga keltirilsa, suratlardagi qavslar ochilsa va  $p$  ning bir xil darajalarida koeffitsientlarni tenglashtirilsa, u holda 4 noma’lumli 4 tenglamalar tizimini olamiz.

Tenglamalar tizimini yechib, quyidagilarni olamiz:

$$A = \frac{I_{m_0}}{G}; \quad B = D = 0; \quad C = -\frac{I_{m_0}}{G}.$$

Endi olingan ifodani quyidagicha yozish mumkin:

$$U \overset{\rightarrow}{=} \frac{I_{m_0}}{G} \left( \frac{p}{p^2 + \omega_0^2} - \frac{p}{p^2 + 2\delta p + \omega_0^2} \right) \quad (2.23)$$

va operator shaklidan qayta o‘tishni qo‘llash mumkin. Natijada asl ko‘rinishga ega bo‘lamiz:

$$u \overset{\rightarrow}{=} \frac{I_{m_0}}{G} \left( \cos \varphi_0 t \overset{\rightarrow}{=} \left( \cos \varphi_1 t \overset{\rightarrow}{=} \frac{\delta}{\omega_1} \sin \varphi_1 t \right) e^{-\delta t} \right). \quad (2.24)$$

Kontur  $\omega_1 \approx \omega_0$ ,  $\frac{\delta}{\omega_1} = \frac{\delta}{\omega_0} = \frac{1}{2Q} \ll 1$  bo‘lganda asillikka ega deb faraz qilib, va  $\frac{\delta}{\omega_1} \sin \varphi_1 t$  ko‘paytmani juda kichik qiymatli bo‘lgani uchun hisobga olmasdan quyidagiga kelamiz:

$$u \overset{\rightarrow}{=} \frac{I_{m_0}}{G} (-e^{-\delta t}) \cos \varphi_0 t. \quad (2.25)$$

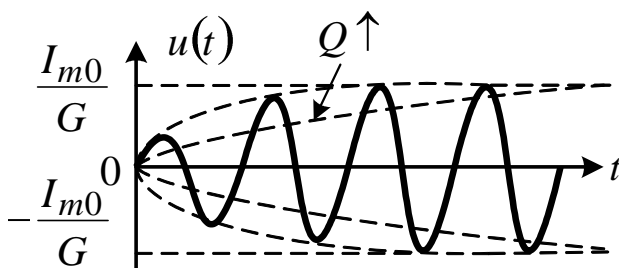
(2.25) dan kelib chiqqan holda, konturda garmonik kuchlanishning  $\frac{I_{m_0}}{G}$  amplituda qiymatigacha o‘rnatalish jarayoni bir onda emas, balki  $(-e^{-\delta t})$  ko‘paytuvchi orqali aniqlanadigan oxirgi vaqt mobaynida sodir bo‘ladi.

Agar konturda tebranishlarning o‘rnatalish jarayonini kuchlanish

o‘zining maksimal qiymatining 95% dan ortig‘iga yetganida tugallangan deb hisoblansa, u holda  $t_{o'm}$  ni aniqlash mumkin:

$$1 - e^{-\delta t_{o'm}} \geq 0,95; t_{o'm} \geq \frac{3}{\delta} = \frac{3 \cdot 2Q}{2\pi f_0} \approx \frac{Q}{f_0} = \frac{1}{2\Delta f}.$$

Ko‘rinib turganidek, o‘rnatalish vaqtini konturning asilligiga bog‘liq: asillik qancha yuqori bo‘lsa, konturda o‘tish jarayonlari shuncha uzoq davom etadi. 2-27-rasmida konturning turli asilliklarida o‘tish tebranishlarning grafigi ko‘rsatilgan.



2.27-rasm. Turli asilliklarda konturdagi o‘tish tebranishlari.

Radiotexnik qurilmalarda (masalan, radioqabulqilgichda) parallel tebranish konturiga, odatda, to‘g‘riburchak og‘uvchili radioimpuls ko‘rinishida garmonik tebranishlar ta’sir etadi. Bunda konturdagi kuchlanish o‘zining maksimal qiymatiga yetishi uchun quyidagi shart bajarilishi zarur:  $t_i > t_{o'm} = 1/(2\Delta f)$ . Undan esa radioimpulslar davomiyligini bilgan holda kontur minimal o‘tkazish kengligini  $2\Delta f_{min} \geq 1/t_i$ , yoki uning asilligini  $Q \leq f_0 t_i$  hisoblash mumkin.

## 2.6. Bog‘langan konturlardan iborat tebranish tizimlari

**Bog‘langan konturlarning turlari.** Turli chastotali tebranishlarni aniq ajratib olish uchun, ya’ni rezonans qiyaligining ortishiga bog‘liq bo‘lgan tanlovchanlikniyaxshilash uchun radiotexnik qurilmalarda yakka tebranish konturlari bilan bir qatorda bog‘langan konturlar qo‘llaniladi.

Orasida induktiv yoki elektrik bog‘lanish mavjud bo‘lgan ikki tebranish konturlaridan iborat elektrik zanjirni *bog‘langan konturlar* deb atash qabul qilingan.

Bog‘langan konturlarning asosiy ustunligi – yakka konturlarga

nisbatan ancha kichik qoplash koeffitsienti va shunga binoan yuqori tanlovchanlikka ega ekanligi.

1. Induktiv (transformatorli) bog‘lanish.  $L_1C_1R_1$  elementlardan iborat kontur birlamchi hisoblanadi, chunki u generatordan bevosita ta’minlanadi (2.28, a-rasm). Ikkilamchi kontur  $L_2C_2R_2$  energiyani birlamchi konturdan  $L_1$  va  $L_2$  g‘altaklar orasidagi  $M$  koeffitsient orqali baholanadigan o‘zaro induksiya hisobiga oladi.

Bog‘lanish koeffitsienti quyidagicha aniqlanadi:

$$K_b = M / \sqrt{L_1 L_2}. \quad (2.26)$$

2. Avtotransformatorli bog‘lanish. Bu bog‘lanish turida bog‘lanish elementi sifatida birlamchi kontur g‘altaginining bir qismi xizmat qiladi (2.28, b-rasm). Birlamchi konturda oquvchi o‘zgaruvchan tok  $L_b$  g‘altagida kuchlanish pasayishini sodir etib, u ikkilamchi konturga ta’sir etadi.

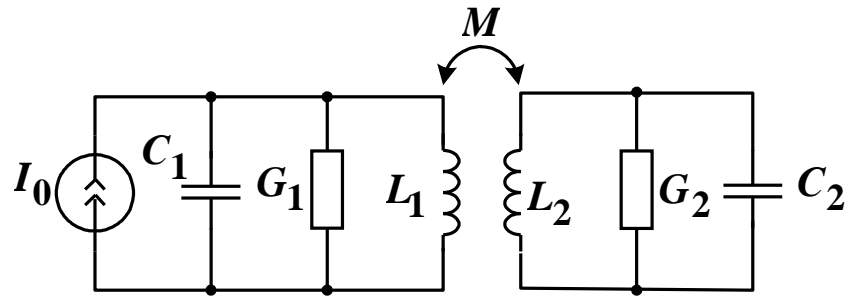
Bu sxema uchun bog‘lanish koeffitsienti quyidagicha aniqlanadi:

$$K_b = L_b / \sqrt{C_b + L_1 C_b + L_2}. \quad (2.27)$$

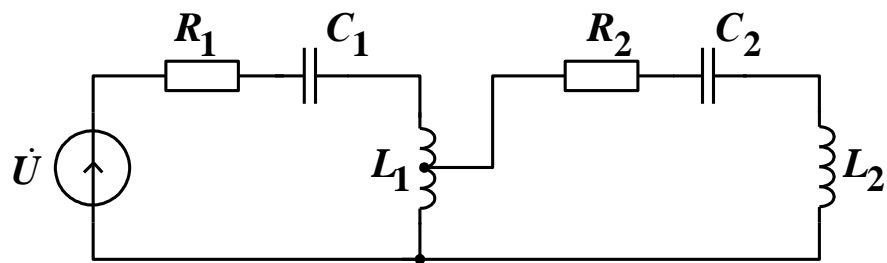
3. Ichki sig‘imli bog‘lanish. Konturlar orasidagi bog‘lanish  $C_b$  kondensator orqali amalga oshiriladi (2.28, c-rasm). Birlamchi kontur toki orqali  $C_b$  kondensatorda vujudga kelgan kuchlanish ikkilamchi konturda tebranishlarni hosil qiladi. Bog‘lanish sig‘imi qancha kichik bo‘lsa, sig‘im qarshiligi shuncha katta bo‘ladi va ikkilamchi konturga katta kuchlanish beriladi. Demak,  $C_b$  kamaygani sari bog‘lanish kuchayib boradi:

$$K_b = \sqrt{C_1 C_2 / (C_b + C_1 C_b + C_2)}. \quad (2.28)$$

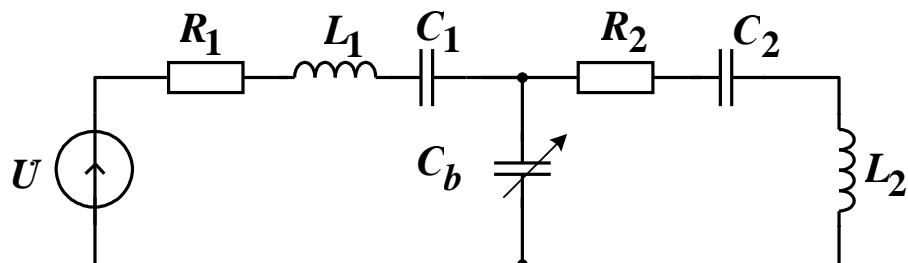
4. Tashqi sig‘imli bog‘lanish. Oldingi uch bog‘lanish turlarida ta’minot usuli bo‘yicha ikkilamchi kontur ketma-ket bo‘lgan edi, chunki  $L_2$  induktivlik va  $C_2$  sig‘im konturga berilgan kuchlanishga nisbatan ketma-ket ulangan. Tashqi sig‘imli bog‘lanishda o‘zgaruvchan kuchlanish kontur ichiga berilmasdan, tashqaridan  $C_b$  orqali beriladi (2.28, d-rasm), shuning uchun ikkilamchi kontur parallel



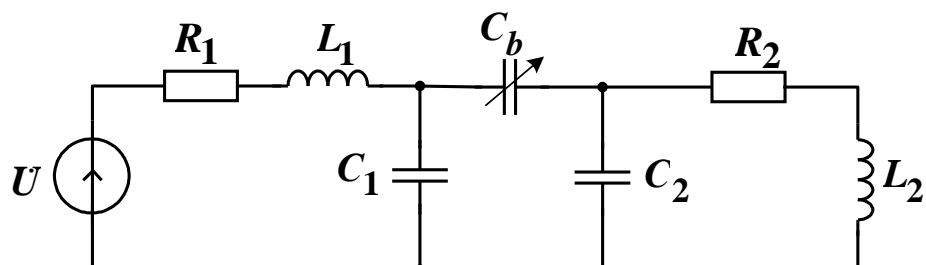
a) induktiv (transformatorli) bog‘langan konturlar.



b) avtotransformatorli bog‘langan konturlar.



c) ichki sig‘imli bog‘langan konturlar.



d) tashqi sig‘imli bog‘langan konturlar.

2.28-rasm. Bog‘langan konturlar sxemalari.

ko‘rinishda bo‘ladi.  $C_b$  sig‘imi oshirilsa, uning qarshiligi kamayadi va ikkilamchi konturdan o‘tuvchi tok ko‘payadi. Demak,  $C_b$  sig‘imi oshirilganda konturlar orasidagi bog‘lanish ortadi:

$$K_b = C_b / \sqrt{C_1 + C_b} \sqrt{C_2 + C_b}. \quad (2.29)$$

Bog‘lanish koeffitsientini aniqlash uchun umumiyl ifoda quyida keltirilgan:

$$K_b = x_b / \sqrt{x_1 x_2}, \quad (2.30)$$

bunda  $x_b$  – bog‘lanish elementining qarshiligi;  $x_1, x_2$  – konturlarning reaktiv qarshiliklari.

Radioqabulqiluvchi qurilmalarda tashqi sig‘imli bog‘langan konturlar sxemasi ko‘p qo‘llaniladi, unda ikkala kontur bir xil parametrlarga ega bo‘ladi.

### **3. Chastotaviy elektrik filtrlar**

#### **3.1. Filtrlarning chastotaviy Tavsifnomalari**

Filtrlar signallarni ma’lum chastotalar kengligida o‘tkazish va boshqa kengliklarda to‘sish maqsadida qo‘llaniladi. Filtrlar yordamida tanlangan kanalda signallarni qabul qilish va qayta ishlash amalga oshiriladi, ya’ni foydali spektr tashkil etuvchilarini ajratib olish va kerak emas spektrni bartaraf etish.

Filtrlarning asosiy tavsifnomalari:

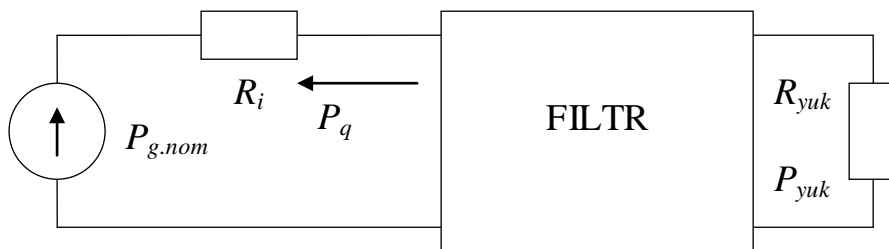
- a) filtr kiritadigan so‘nishning signal chastotasiga bog‘liqligi;
- b) amplituda –chastotaviy tavsifnoma (ACHT);
- c) faza–chastotaviy tavsifnoma (FCHT), ya’ni faza bo‘yicha signal siljishining chastotaga bog‘liqligi.

3.1-rasmida generator va yuklama orasida ulangan to‘rtqutblik ko‘rinishida keltirilgan filtr ko‘rsatilgan.

Filtr sifatida reaktiv to‘rtqutblik, ya’ni faqat kondensatorlar va induktiv g‘altaklardan iborat zanjirlar qo‘llanilganda, unda aktiv energiya yo‘qotishlarini hisobga olmasa bo‘ladi. Bunday filtrda quvvatlar muvozanatini quyidagi tenglik ko‘rinishida yozish mumkin:

$$P_{g.nom} = P_{yuk} + P_q, \quad (3.1)$$

bunda  $P_{g.nom} = E_i^2 / 8R_i$  – amplitudasi  $E_i$  va ichki qarshiligi  $R_i$  bo‘lgan generatorning nominal, ya’ni signal manbasidan beriladigan maksimal quvvat;  $P_{yuk}$  – yuklamaga beriladigan quvvat;  $P_q$  – filtrning kirishidan qaytgan quvvat.



3.1-rasm. Filtrning to‘rtqutblik ko‘rinishida tasvirlanishi.

(3.1) ifodaga asosan generatordan yuklamaga quvvatni uzatish koeffitsienti quyidagicha aniqlanadi:

$$K_P = P_{yuk} / P_{g.nom}. \quad (3.2)$$

$K_P$  koeffitsientiga teskari kattalik filtrning so‘nish koeffitsienti deyiladi va quyidagicha aniqlanadi:

$$\alpha = P_{g.nom} / P_{yuk}. \quad (3.3)$$

$K_p = 0 \dots 1$  oraliqda,  $\alpha = 1 \dots \infty$  oraliqda o‘zgaradi. So‘nishni detsibellarda ifodalash qabul qilingan:

$$\alpha_{dB} = 10 \log \frac{P_{g.nom}}{P_{yuk}} = -10 \log K_P, \text{ dB.} \quad (3.4)$$

(3.4) ifodaga asosan so‘nish  $\alpha_{dB}=0 \dots \infty$  oraliqda o‘zgarishi mumkin.  $\alpha_{dB}$  ning signal  $f$  chastotasiga bog‘liqligi filtrning so‘nish tavsifnomasi deyiladi:  $\alpha_{dB}=\Phi(f)$ .

Ideal holda filtrning o‘tkazish kengligida  $\alpha_{dB}=0$ , to‘sish kengligida  $\alpha_{dB}=\infty$  qiymatlarga ega bo‘lishi kerakligi ko‘rinib turibdi.

Ba’zi hollarda so‘nish tavsifnomasi o‘rniga filtrning quvvat

bo‘yicha uzatish koeffitsientining chastotaga bog‘liqligi qo‘llaniladi:

$$K_p(\omega) = \frac{P_{yuk}(\omega)}{P_{g.nom}}. \quad (3.5)$$

So‘nish tavsifnomasi yoki quvvat bo‘yicha uzatish koeffitsientiga bog‘liq ravishda filtrlar quyidagi turlarga bo‘linadi: past chastotali, yuqori chastotali, polosali (kenglikni o‘tkazuvchi) va rejektorli (kenglikni to‘suvchi) filtrlar. Bu filtrlarning  $\alpha_{dB}=\Phi(f)$  va  $K_P=\Phi(f)$  tavsifnomalari 3.2-rasmda ko‘rsatilgan. 3.2-rasmga asosan filtrning so‘nishi kichik bo‘lganda uzatish koeffitsienti 1 ga yaqin, katta bo‘lganda esa 0 ga yaqinligi ko‘rinib turibdi. 3.2-rasmdagi Tavsifnomalar bo‘yicha filtrlar o‘tkazish  $\Delta f_{o'tk}$  va to‘sish  $\Delta f_{to's}$  kengligiga ega.

### 3.2. Filtrlarni sintezlash nazariyasi elementlari

**Filtrlarni ishlab chiqishda strukturaviy sintez.** Filtrlovchi qurilmaning prinsipial sxemasini tuzish uchun uni sintez qilish maqsadga muvofiq bo‘ladi. Buning uchun ideal ajratuvchi elementlar (AE) orqali bir-biridan ajratilgan bir necha sonli zvenolarni kaskadli ulanishidan hosil bo‘lgan zanjirning strukturaviy sintezini ko‘rib chiqaylik (3.3-rasm).

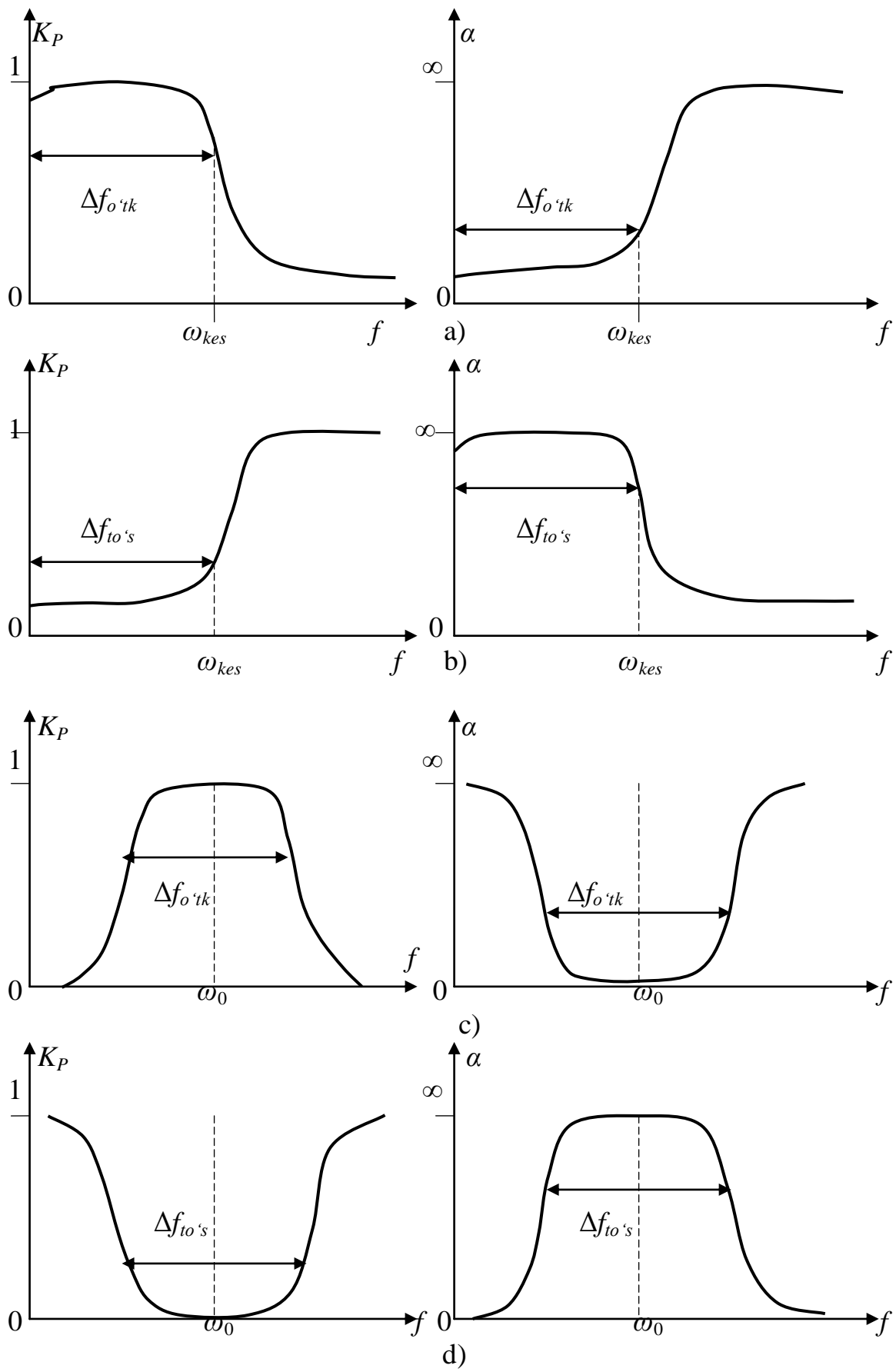
Bunday zanjirning chastotaviy uzatish koeffitsienti quyidagicha yoziladi:

$$K(j\omega)=K_1(j\omega)K_2(j\omega)\cdot\ldots\cdot K_N(j\omega).$$

$K_1, K_2, \dots, K_N$  koeffitsientlari shunday bo‘lishi kerakki, ular approksimatsiyalash bosqichida aniqlangan  $K(p)$  funksianing qutblarini amalga oshirishi mumkin bo‘lsin.

Past chastotali filtrni (PCHF) qurish uchun ikki xil zvenolardan iborat – yagona moddiy 1-tartib zvenosi va ikkita kompleks yondoshgan qutblardan iborat 2-tartib zvenosi zarur bo‘ladi.

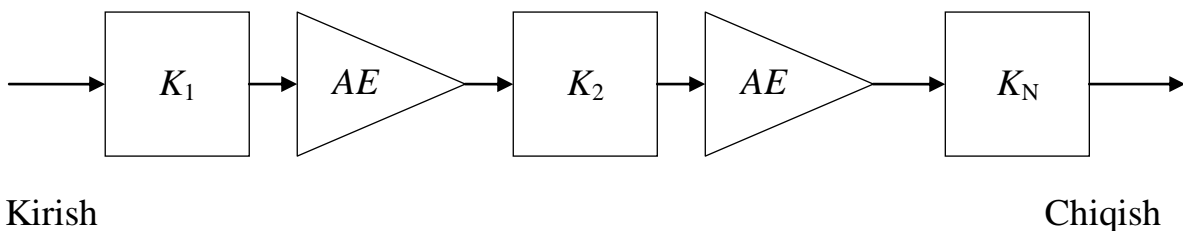
**Past chastota filtrini ishlab chiqish.** Bunday qurilmalarning qo‘llanilishidan asosiy maqsad – filtrning kesish  $\omega_{kes}$  chastotasi deb nomlangan, berilgan chegaraviy chastotadan oshmaydigan chastotali



3.2-rasm. Filtrlarning chastotaviy tavsifnomalari: past chastotali (a), yuqori chastotali (b), polosali (c), to'suvchi (d) filtrlar.

tebranishlarni filtr chiqishiga minimal darajada kuchsizlantirib uzatish hisoblanadi. Shu bilan birga chegaradan yuqori chastotali tebranishlar yetarli darajada kuchsizlantirilishi zarur.

Shubhasiz,  $\omega_{kes}$  chastotali PCHF uchun quvvat bo'yicha uzatish koeffitsientining chastotaga ideal bog'liqligi quyidagi ko'rinishga ega:



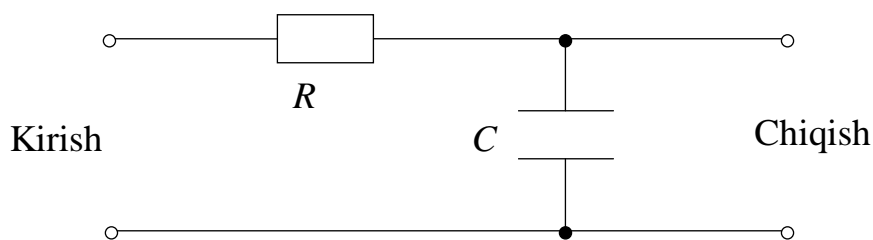
3.3-rasm. Zvenolarni kaskadli ulash orqali hosil bo‘lgan filtrning struktura sxemasi (ajratuvchi elementlar – AE sifatida odatda emitter yoki istok qaytargichlari qo‘llaniladi).

$$K_p(\omega) = \begin{cases} 1, & 0 \leq \omega \leq \omega_{kes}, \\ 0, & \omega > \omega_{kes}. \end{cases} \quad (3.6)$$

1-tartib zvenosi turiga kiruvchi eng sodda zveno  $\Gamma$ -simon to‘rt-qutblik hisoblanadi (3.4-rasm). Bu zveno uchun kuchlanish bo‘yicha uzatish funksiyasi quyidaqiga teng:

$$K(p) = \frac{1}{1 + pRC}.$$

$p_1$  qutbning koordinatasi  $p_1 = -1/RC$  ga teng.  $p_1$  qiymatini berib faqat  $RC$  ko‘paytmani olishni ta’kidlash lozim.  $R$  yoki  $C$  elementlar- dan biri ixtiyoriy olinishi mumkin.



### 3.4-rasm. 1-tartib zvenoning prinsipial sxemasi.

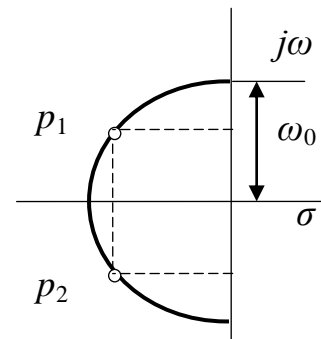
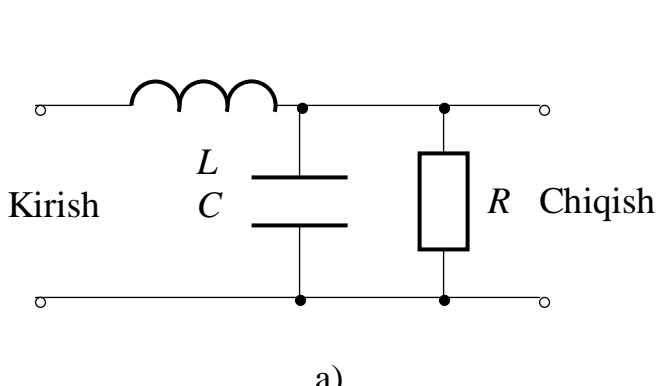
Uzatish funksiyasining ikkita kompleks yondoshgan qutblari 3.5-rasmda ko'rsatilgan  $\Gamma$ -simon to'rtqutblik yordamida amalga oshirish mumkin.

Bu zveno uchun kuchlanish bo'yicha uzatish funksiyasini oson hisoblash mumkin:

$$K(p) = \frac{\omega_0^2}{p^2 + 2\alpha p + \omega_0^2},$$

bunda  $\omega_0 = \frac{1}{\sqrt{LC}}$ ;  $\alpha = \frac{1}{2RC}$ .

Uzatish funksiyasi quyidagi koordinata  $p_{1,2} = -\alpha \pm j\sqrt{\omega_0^2 - \alpha^2}$  nuqtalarida qutblarga ega hamda ular  $\omega_0$  va  $\alpha$  orasidagi nisbatlarga bog'liq holda ham kompleks-yondoshgan, ham moddiy bo'lishi mumkin.



3.5-rasm. 2-tartib zvenosi: a) prinsipial sxemasi; b) uzatish funksiyasi qutblarining joylashishi

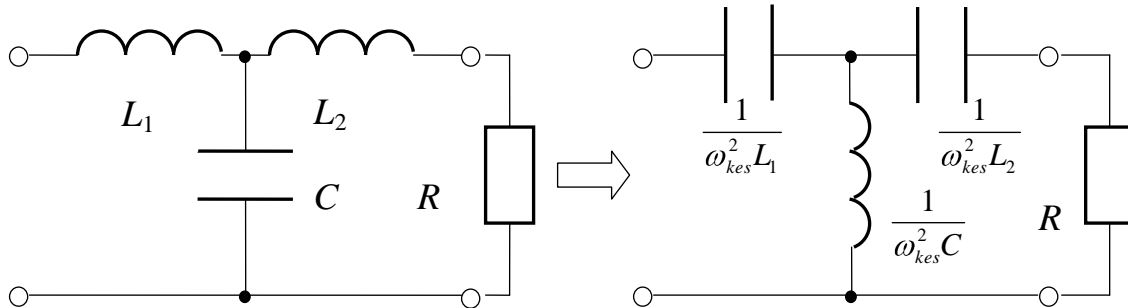
**Yuqori chastota filtrini ishlab chiqish.** Bunday filtr kesish chastotasi  $\omega_{kes}$  dan yuqori chastotali tebranishlarni kichik qiymatda kuchsizlantirib o'tkazish uchun qo'llaniladi. YUCHF sxemasini bevosita ishlab chiqish mumkin, agar xuddi shu kesish chastotali PCHF sintezlangan bo'lsa. Buning uchun zanjirlar nazariyasida chastotani o'zgartirish deb ataladigan usul qo'llaniladi. Bunda "chastotani o'zgartirish" iborasini signallarni nochiziqli va parametrik o'zgartirishlar nazariyasidagi ibora bilan adashtirmaslik zarur.

PCHFni ifodalashda qo'llanilgan  $p$  o'zgaruvchidan yangi chastotali  $p'$  o'zgaruvchiga o'tamiz, ya'ni:

$$p = \omega_{kes}^2 / p'. \quad (3.7)$$

Bunda  $p=0$  nuqtaga cheksiz uzoqlashgan  $p'$  tekislikdagi nuqta mos keladi. Mavhum o‘qda ikki  $p_{1,2}=\pm j\omega_{kes}$  nuqtalarga ikkita  $p'_{1,2}=\mp j\omega_{kes}$  nuqtalar javob qaytaradi, ular berilganlardan faqat o‘zgargan ishoralari bilan farq qiladi. Shuning uchun PCHFdan (3.7) ifodadagi chastotaviy o‘zgartirish yo‘li bilan sintezlangan filtrning ACHTsi haqiqatda YUCHFga mos kelishini kutish mumkin.

PCHF sxemasida  $pC$  o‘tkazuvchanlikka ega bo‘lgan har bir kondensator  $\omega_{kes}^2 C / p'$  o‘tkazuvchanlikka ega elementga, ya’ni  $L=1/(\omega_{kes}^2 C)$  induktiv g‘altagiga almashtirilishi kerak. Shuningdek, PCHFdagi  $L$  induktivlik g‘altagi  $C=1/(\omega_{kes}^2 L)$  sig‘imli kondensatorga almashtirilishi zarur. Filtrning rezistiv elementlari o‘zgartirilmaydi (3.6-rasm).



3.6-rasm. Past chastota filtri sxemasidan yuqori chastota filtri sxemasiga o‘tish

**Polosali filtrni ishlab chiqish.** Polosali filtr faqat qaysidir  $\omega_0 \neq 0$  nuqtaga yaqin kenglikda chastotalarni kichik qiymatda kuchsizlantirib o‘tkazadi. Agar PCHF berilgan kesish chastotasi bilan sintezlangan bo‘lsa, polosali filtr sxemasiga bevosita o‘zgaruvchini almashtirib o‘tsa bo‘ladi:

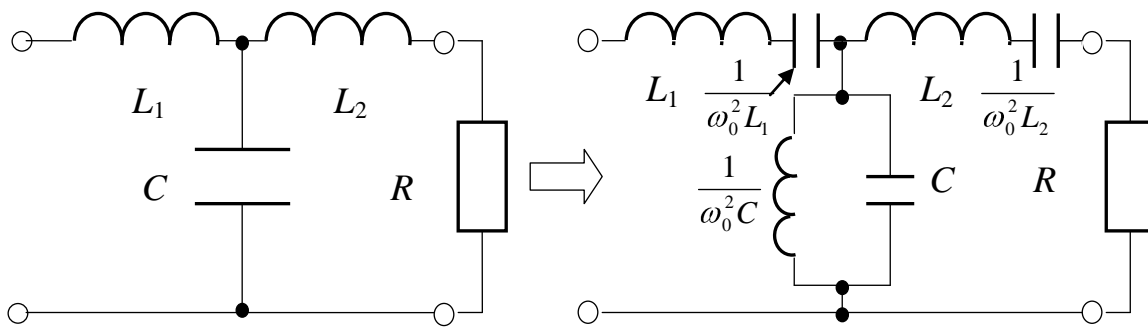
$$p = p' + \omega_0^2 / p'. \quad (3.8)$$

Bunda  $p'=j\omega_0$  nuqtasiga  $p=0$  nuqta javob qaytaradi va shu bois PCHFdagi 0 (nol) chastotada kuzatilgan ACHT maksimumi PFda  $\omega_0$  chastotada sodir bo‘ladi.

$pC = p'C + \omega_0^2 C / p'$  bo‘lgani uchun PCHF sxemasida qo‘llanilgan kondensatorlar o‘tkazuvchanligiga PF sxemasida  $C$  kondensator

va  $L=1/(\omega_0^2 C)$  g‘altakdan iborat parallel tebranish konturi o‘tkazuvchanligi to‘g‘ri keladi. Bu kontur  $\omega_0$  chastotasiga sozlanganligini e’tiborga olish zarur.

Xuddi shu kabi  $pL = p'L + \omega_0^2 L/p'$  tengligidan kelib chiqqan holda  $L$  g‘altak kondensator  $C=1/(\omega_0^2 L)$  va induktivlik  $L$  g‘altaklari ning ketma-ket ulanishiga, ya’ni ketma-ket ulangan konturga almashtiriladi (3.7-rasm).



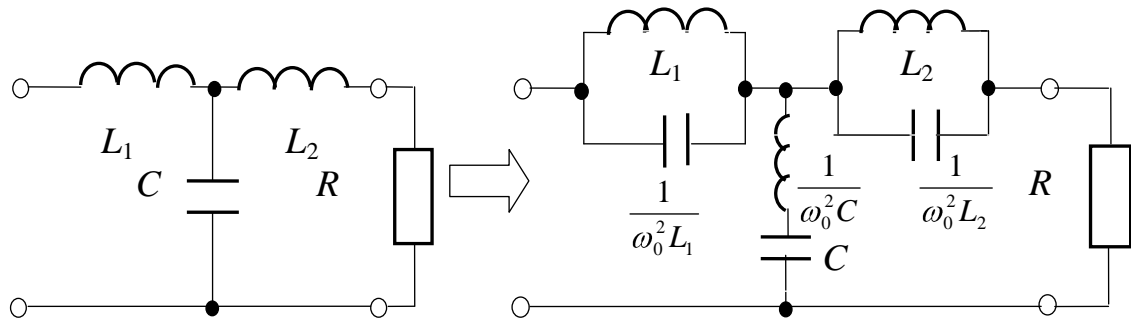
3.7-rasm. Past chastota filtrli sxemasidan polosali filtrli sxemasiga o‘tish.

**Rejektor filtrni ishlab chiqish.** Rejektor filtrli sxemasiga xuddi PFni ishlab chiqish kabi PCHF sxemasida  $p$  o‘zgaruvchini almashtrish orqali o‘tish mumkin. Bu filtr PFdan farqli  $\omega_0 \neq 0$  nuqtaga yaqin kenglikdagi chastotalarni katta qiymatda kuchsizlantiradi (to‘sadi), qolgan chastotalardagi tebranishlarga to‘sinqilik qilmaydi.

Bunday filtrni ishlab chiqishda PCHF sxemasidagi kondensator o‘tkazuvchanligiga ketma-ket ulangan kondensator  $C$  va  $L=1/(\omega_0^2 C)$  g‘altakdan iborat tebranish konturining o‘tkazuvchanligi to‘g‘ri keladi.

Xuddi shu kabi  $L$  g‘altak parallel ulangan  $C=1/(\omega_0^2 L)$  kondensator va  $L$  g‘altakdan iborat tebranish konturiga almashtiriladi (3.8-rasm).

Yuqorida ko‘rib chiqilgan misollar shuni ko‘rsatadiki, chastota tanlovchi zanjirlarni sintezlashda PCHF *filtr-prototip* bo‘lib xizmat qiladi va uning parametrлари keyinchalik boshqa filtrlar sxemasiga o‘tishda imkon yaratadi.



3.8-rasm. Past chastota filtri sxemasidan rejektor filtr sxemasiga o‘tish.

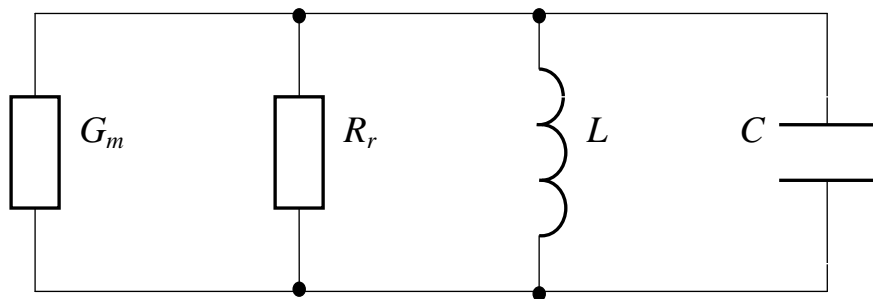
## 4. Ichki teskari aloqali avtogeneneratorlar

### 4.1. Manfiy aktiv qarshilikni konturga kiritish

Avval ko‘rib chiqilgan avtogenenerator sxemalari maxsus hosil qilingan musbat teskari aloqa zanjirlariga ega edi. Lekin avtogeneneratorlarni qurishning boshqa tamoyili mavjud. Unda tebranish konturiga manfiy aktiv qarshilik kiritiladi (4.1-rasm). Masalan,  $R_r$  – rezonansda kontur kirish qarshiligining aktiv tashkil etuvchisi bo‘lsa,  $G_m = S_{dif} < 0$  – elektron asbob orqali kiritiladigan parallel ulangan manfiy o‘tkazuvchanlik hisoblanadi. U holda tizimning o‘z-o‘zidan qo‘zg‘alish sharti konturning yo‘qotishlarini qoplashda namoyon bo‘ladi:  $-S_{dif} = 1/R_r$ .

VATning pasayuvchi qismi hisobiga manfiy qarshilikni sxemaga maxsus teskari aloqa elementlarini kiritmasdan olishga imkon beradi-gan elektron asboblar mavjud.

Bunday asboblarga tunnel diodini va elektrodlarida kuchlanishlarni mos ravishda tanlagen holda oddiy tetrod yoki pentodlarni misol qilish mumkin.



4.1-rasm. Manfiy teskari qarshilikni tebranish konturiga kiritish.

## 4.2. Tunnel diodli avtogenator

Diod to‘g‘ri tokining musbat ko‘chish kuchlanishiga bog‘liqligini tasvirlovchi tunnel diodning VATsi 4.2-rasmda ko‘rsatilgan.

$a-b$  pasayish qismida diodning differensial qarshiligi manfiy qiymatda bo‘ladi:

$$R_{-} = du/di_D = \text{ctg}\gamma,$$

bunda  $\gamma = U_0$  ish nuqtasida  $i_D = f(u)$  egrilikka urinmaning og‘ish burchagi.

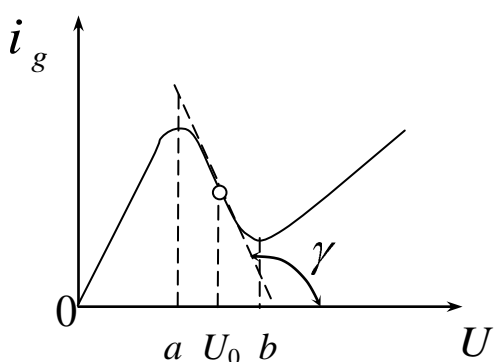
Shu kabi VATli elektron asbobni tebranish zanjiriga ulansa, yuqori chastotali tebranishlarning generatsiyasini amalga oshirish mumkin. Bu holda ichki teskari aloqali avtogenator hosil bo‘ladi. 4.3-rasmda tunnel diodida yig‘ilgan generator sxemasi ko‘rsatilgan.

O‘YUCH generatorlarida kontur sig‘imi sifatida diodning xususiy sig‘imi  $C_0$  ishlatiladi. Blokirovka (to‘sish) drosseli  $L_{Bl}$  va kondensatori  $C_{Bl}$  ( $C_{Bl} \gg C_0$ ) o‘zgarmas tok zanjirini yuqori chastota tokidan himoya qiladi;  $r_k$  – kristallda va kontur elementlaridagi yo‘qotishlar qarshiligi.

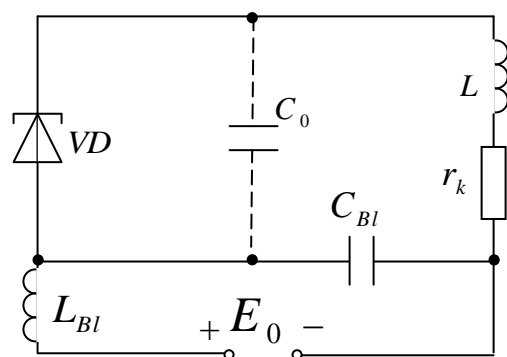
4.4-rasmda manfiy qarshilik  $R_{-}$  orqali shuntlangan konturning ekvivalent sxemasi ko‘rsatilgan.

Bu qarshilikka nisbatan tebranish konturida amal qiluvchi  $U_k$  kuchlanish EYUK sifatida ko‘riladi, shunga binoan diod orqali o‘tuvchi tok quyidagicha aniqlanadi:

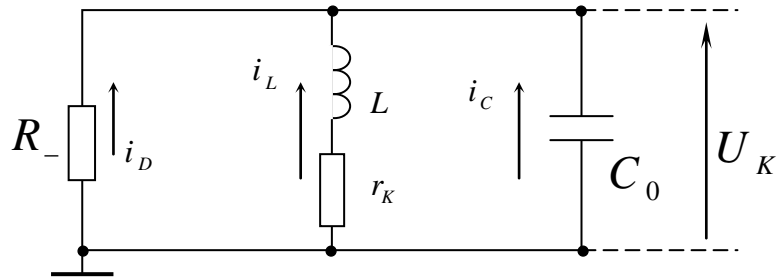
$$i_D = -U_k/R_{-}.$$



4.2-rasm. Tunnel diodning VATsi.



4.3-rasm. Tunnel diodli avtogenator.



4.4-rasm. Tunnel diodida yig‘ilgan avtogenatorning ekvivalent sxemasi.

Konturdagi tebranish kuchlanishi  $U_k$  va  $i_L$ ,  $i_C$ ,  $i_D$  toklar quyidagi nisbatlar orqali bog‘langan:

$$i_D = i_L + i_C, \quad i_C = C \frac{dU_k}{dt}, \quad U_k = r_K i_L + L \frac{di_L}{dt} . \quad (4.1)$$

Izlanayotgan funksiya sifatida misol uchun, konturning induktiv tarmog‘idagi  $i_L$  tokni tanlaylik. Birinchi tenglamadan ikkinchi va uchinchi tenglamalar yordamida  $i_C(t)$  tokni chiqarib tashlab quyidagini olamiz:

$$i_D = i_L + r_K C \frac{di_L}{dt} + LC \frac{d^2 i_L}{dt^2} .$$

Lekin

$$i_D = -\frac{1}{R_-} U_k = -\frac{1}{R_-} \left( r_K i_L + L \frac{di_L}{dt} \right).$$

Keltirilgan ifodalarning o‘ng qismlarini tenglashtirib, qo‘shiluv-chilarni guruhlashtirishdan keyin quyidagi differensial tenglamani olamiz:

$$\frac{d^2 i_L}{dt^2} + \left( \frac{r_K}{L} + \frac{1}{CR_-} \right) \frac{di_L}{dt} + \frac{1 + r_K / R_-}{LC} i_L = 0 .$$

Tebranishlarning amplitudasi o‘sib borishi uchun birinchi hosila-ning koeffitsienti manfiy bo‘lishi zarur.

Bundan tebranishlarning sodir bo‘lish sharti kelib chiqadi:

$$\frac{r_K}{L} - \frac{1}{C} \left| \frac{1}{R_-} \right| < 0,$$

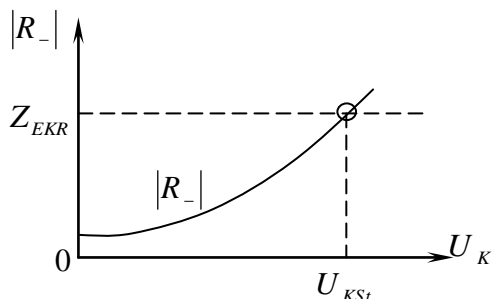
yoki

$$|R_-| < \frac{L}{r_K C} = Z_{EKR} = \rho Q = \frac{Q}{\omega_r C}. \quad (4.2)$$

bunda  $|R_-|$  – manfiy qarshilikning absolut qiymati;  $Z_{EKR}$  – kontur ekvivalent rezonans qarshiligi;  $Q$  – kontur asilligi;  $\rho = \sqrt{L/C}$  – kontur xarakteristik qarshiligi.

Tebranishning amplitudasiga bog‘liq (tavsifnomaning nochiziqli qismiga o‘tishda)  $|R_-|$  qarshilik  $|R_-(U_K)| = Z_{EKR}$  qiymatgacha kattalashib, avtogenatororda tebranishlarning statsionar  $U_{KS_t}$  amplitudasi o‘rnataladi.

Bu rejim turg‘un hisoblanadi, agar  $Z_{EKR}$  gorizontal kesishish nuqtasida  $|R_-(U_K)|$  egriligi musbat og‘ishga ega bo‘lsa (4.5-rasm).



4.5-rasm. Ichki teskari aloqali generatorda avtotebranishlar statsionar amplitudasini aniqlash uchun grafik.

### 4.3. Teskari aloqa zanjirida kechiktiruvchi liniyalı avtogenator

Tanlovchi yuklama va teskari aloqa halqasiga ega avtogenator mavjud bo‘lsin. Bu kabi generatorni 5.6-rasmdagi umumlashtirilgan sxema ko‘rinishida tasvirlash mumkin.

Kechiktirish liniyasini  $e^{-i\omega t}$  uzatish funksiyali ideal to‘rtqutblik sifatida ko‘rib, tebranish konturi va  $T$  kechiktirish liniyasidan iborat chiziqli qismni quyidagi uzatish funksiyali teskari aloqa to‘rtqutbliyi ko‘rinishida tasavvur qilish mumkin:

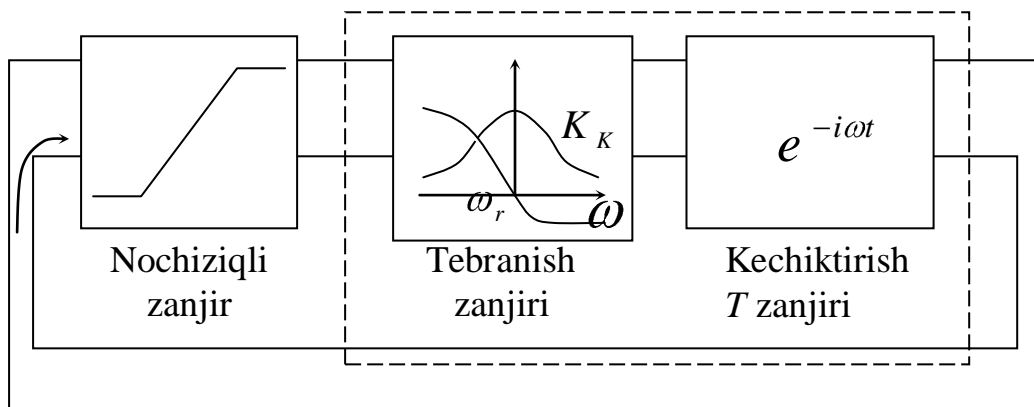
$$K_{TA} = \oint \psi - \omega_r \sum K_K \oint \psi - \omega_r e^{i\varphi_K} e^{-i\omega T} = K_{TA} e^{i\varphi_\Sigma},$$

bunda  $K_K$  – rezonans  $\omega_r$ , chastotali tebranish konturi uzatish funksiyasining moduli;  $\varphi_K$  – kontur FCHTsi, konturning o‘tkazish kengligida  $\varphi_K \approx -(\omega - \omega_r)\tau_K$  deb hisoblash mumkin.

Sxemaga kechiktirish liniyasini kiritish, uzatish funksiyasining modulini o‘zgartirmaydi, lekin natijaviy FCHTga sezilarli ta’sir qiladi

$$\varphi_{\Sigma} = -(\omega - \omega_r)\tau_K - \omega T.$$

Yetarlicha katta  $T$  kechiktirishda natijaviy FCHX ning og‘ishi asosan  $\omega T$  qo‘siluvchi orqali aniqlanadi. Undan tashqari tebranish zanjirining o‘tkazish kengligida  $\varphi_{\Sigma}$  o‘zgarishi bir necha to‘liq  $2\pi$  aylanishdan ortuvchi katta qiymatga erishadi.



4.6-rasm. Teskari aloqa zanjirida kechiktiruvchi liniyalı avtogenenerator.

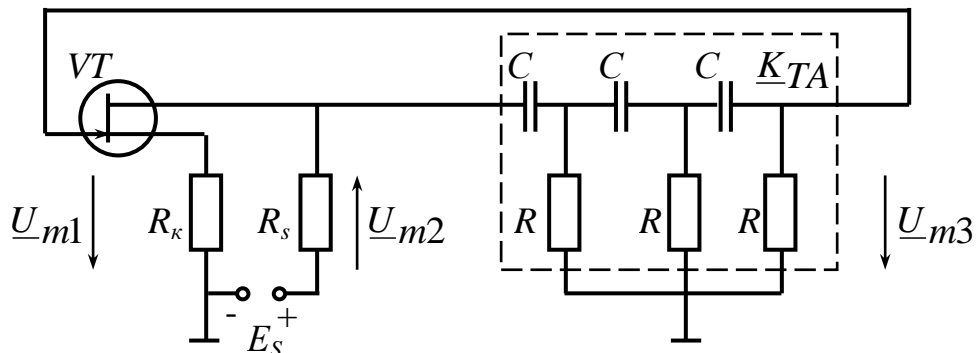
### 4.3. RC–generatorlar

*LC*–konturli avtogenenerator yordamida past chastotali signallarni generatsiyalash qiyin, chunki  $L$  va  $C$  larning qiymatlari oshgan sari *LC*–kontur asilligi  $Q$  juda kamayib ketadi va amplituda balansi sharti bajarilmaydi, induktivlik  $L$  o‘ramlari ko‘payadi, natijada yo‘qotish qarshiligi  $R_y$  da tok quvvati ko‘p sarf bo‘ladi,  $L$  va  $C$  larning geometrik o‘lchamlari ham katta bo‘ladi.

*RC*–generatorlarda generatsiyalanadigan tebranishlar davri, ushbu elementlar vaqt doimiysi  $\tau = RC$  bilan mos o‘lchamli.  $R$  va  $C$  larning qiymatlari katta bo‘lgani bilan geometrik o‘lchamlari kichik qilib tanlash mumkin, natijada generatsiya chastotasi Gersning mingdan biridan bir necha yuz kHz bo‘lishi mumkin.

Xuddi  $LC$ -avtogeneratordekor,  $RC$ -generatorlarda ham amplituda va faza balansi sharti bajarilishi kerak. Aktiv element – biquotbli tranzistor umumiylar yoki maydon tranzistori umumiylar istok sxemasi bo'yicha foydalanilsa, ularning chiqishidagi kuchlanish kirishdagiga nisbatan  $180^\circ$  ga o'zgaradi. Fazalar balansi bajarilishi uchun uni yana  $\pm 180^\circ$  ga surish kerak. Fazalarni  $180^\circ$  ga surishni  $RC$  zanjirlar orqali amalgalash mumkin.

**Faza suruvchi  $RC$  zanjirli generator.** Bunday generator sxemasi 4.7-rasmda keltirilgan bo'lib, maydon tranzistori  $VT$ , uning yuklamasi  $R_{yuk}$  va teskari bog'lanish zanjiri  $K_{TA}$  dan iborat. Faza balansi bajarilishi uchun teskari bog'lanish zanjiri o'z kirishidagi kuchlanishni  $180^\circ$  ga surishi kerak, natijada umumiy faza surishi  $2\pi$  ga teng bo'ladi.



4.7-rasm. Faza suruvchi  $RC$  zanjirli generator sxemasi.

Bitta yuqori chastota  $RC$ -zanjiri (4.8, a-rasm) kirishidagi  $U_m$ , kuchlanishni  $\varphi$  gradusga suradi. 4.8, b-rasmda 4.7-rasmdagiga mos belgilashda vektor diagramma keltirilgan. Bunda asos qilib tok  $i_m$  olingan, u bilan rezistor  $R$  dagi kuchlanish  $\dot{U}_{m2}$  mos keladi; kondensator  $C$  dagi kuchlanish  $\dot{U}_{mc}$  tok  $I_m$  dan  $90^\circ$  ga kechikadi. Kirish kuchlanishi  $\dot{U}_{m1}$  chiqish kuchlanishi  $\dot{U}_{m2}$  va kondensatordagi kuchlanish vektor yig'indisi shaklida aniqlanadi, natijada  $U_{m2}$  fazasi  $U_{m1}$  ga nisbatan  $90^\circ$  ga surilgan bo'ladi.

$RC$ -zanjir faza-chastota xarakteristikasini 4.8, b-rasmdagi vektor diagramma orqali aniqlaymiz

$$\operatorname{tg} \varphi = \frac{\dot{U}_{m1}}{\dot{U}_{m2}} = \frac{1}{\omega RC}. \quad (4.3)$$

4.8, c-rasmdagi  $RC$ -zanjir faza-chastota tavsifnomasidan ko‘rinib turibdiki, kirish va chiqish orasidagi kuchlanish fazasi chastotaga bog‘liq. Chastota nolga teng bo‘lganda faza siljishi  $90^\circ$  bo‘ladi. Ushbu zanjirning uzatish koeffitsienti

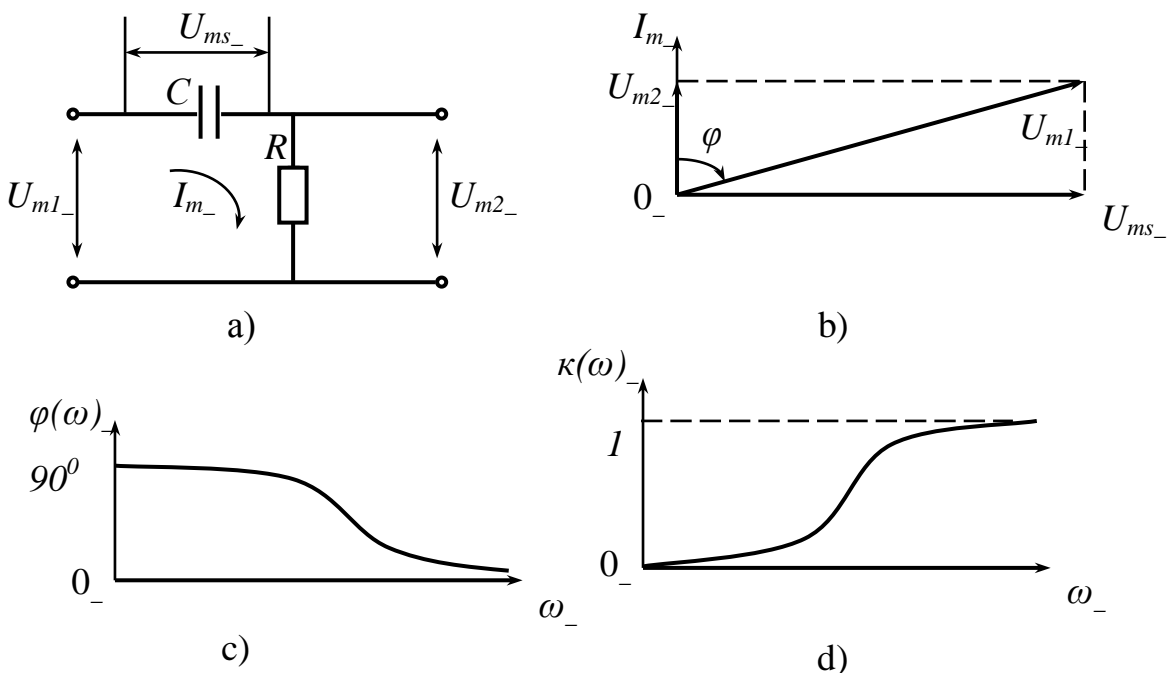
$$\dot{K}_{uk} = \frac{\dot{U}_{m2}}{\dot{U}_{m1}} = \frac{R}{\frac{1}{\omega C} + R} = \frac{1}{1 + \frac{1}{\omega RC}} . \quad (4.4)$$

$RC$ -zanjirning uzatish koeffitsienti  $\omega=0$  da nolga teng va  $\omega \rightarrow \infty$  da  $K_{uk}=1$  (4.8, d-rasm).

Har bir  $RC$ -zanjir qandaydir chastota  $\omega$  da kirish kuchlanishi fazasini  $60^\circ$  ga siljitsa, ulardan uchtasi  $180^\circ$  ga suradi.

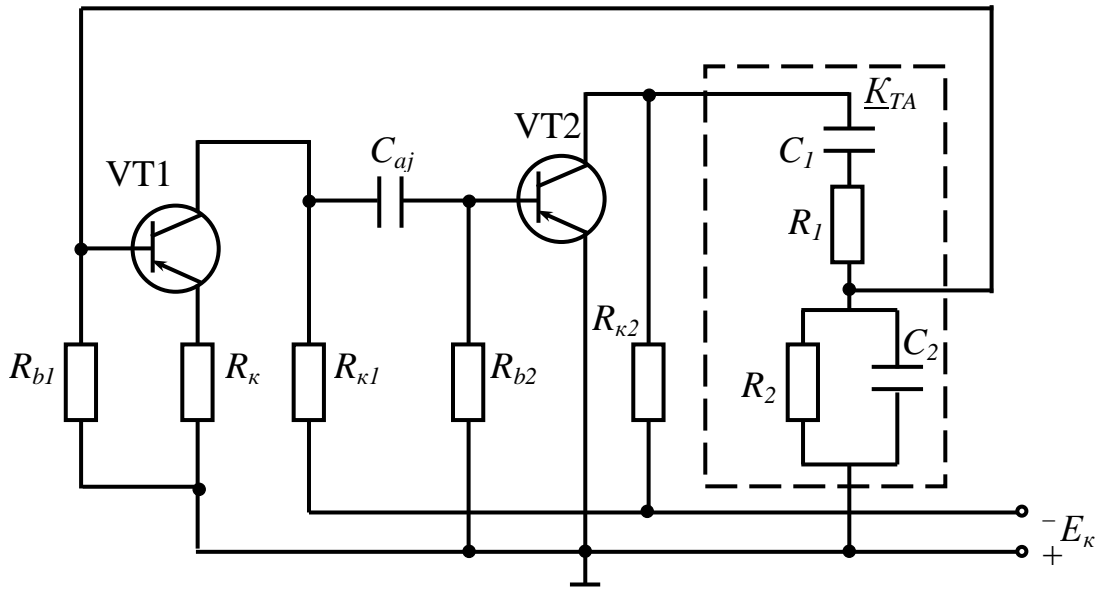
Ushbu uchta  $RC$ -zanjirli generator  $\omega_g = \frac{1}{\sqrt{6}RC}$  chastotada tebranadi. Tranzistorning kuchaytirish koeffitsienti  $K_k=29$  bo‘lganda, amplituda balansi sharti bajariladi.

Agar past chastota  $RC$ -zanjiridan (4.8, a-rasm) uchta olsak, generatsiya chastotasi  $\omega_g = \frac{\sqrt{6}}{RC}$  va  $K_k=18$  bo‘ladi.



4.8 - rasm. Faza suruvchi  $RC$ -zanjir (a), uning vektor diagrammasi (b), faza-chastotaviy Tavsifnomasi (c) va uzatish koeffitsienti grafigi (d).

**Fazabalanslovchi Vinn ko‘prikli  $RC$ -geneator.** Ushbu  $RC$ -generatorning sxemasi 4.9-rasmida keltirilgan.



4.9-rasm. Fazabalanslovchi Vinn ko‘prikli  $RC$ -geneator sxemasi.

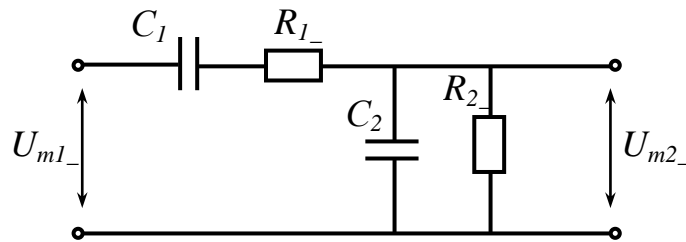
Generator ikkita umumiylar emitterlik kaskadli kuchaytirgichdan va teskari bog‘lanish zanjiridan iborat. Ma’lumki, har bir kaskad kirish signalini fazasini  $180^0$  ga buradi, natijada ikki kaskad  $360^0$  faza surilishini, ya’ni, faza balans shartini bajarilishini ta’minlaydi. Kuchaytirish kaskadlari yuklamalari  $R_{k1}$  va  $R_{k2}$  lardagi kuchlanishlar shakli trapetsiyasimon bo‘ladi, chunki bir vaqtning o‘zida keng spektrli chastotalar uchun faza balansi sharti bajariladi. Bunga sabab, yuklamalar  $R_{k1}$  va  $R_{k2}$  tanlovchanlik xususiyatiga ega emas. Dastlab generatsiya chiziqli rejimda boshlanib, so‘ngra tranzistorlar nochiziqli rejimda ishlaydi. Faza balansi shartini faqat bitta chastotada bajarilishini ta’minalash, boshqa chastotalarda ushu shartni bajarilishini buzish uchun parallel va ketma-ket ulangan  $RC$ -zanjir VT2 tranzistor kollektori va umumiylar ulanish simiga ulanadi hamda uning parallel ulangan  $RC$ -zanjiri va umumiylar sim orasidagi kuchlanish qismi VT1 bazasi va umumiylar ulanish simi orasiga beriladi. Odatda,  $R_1=R_2$  va  $C_1=C_2$  qiymatlar tanlanadi. Ketma-ket  $RC$ -zanjir va parallel  $RC$ -zanjirlar kiritadigan faza surilishi faqat bitta chastotada nolga teng bo‘ladi, boshqa chastotalardagi tok tashkil etuvchilari uchun ushu zanjirlar turlicha kattaliklarda fazani suradi. Faza surilishi teng bo‘lgan chastotada generatsiya sodir bo‘ladi. 4.10, a-

rasmida  $RC$ -zanjirlar alohida keltirilgan, 4.10, b-rasmida  $RC$ -zanjirlarning amplituda-chastota va faza-chastota tavsifnomalari keltirilgan. 4.10, a-rasmida  $U_{m1}$  – VT2 tranzistor chiqishidagi kuchlanish va  $U_{m2}$  – VT1 kirishidagi kuchlanish. 4.10, a-rasmdagi zanjir kirishiga chastotasi  $\omega_0 \rightarrow 0$  kuchlanish berilsa, kondensatorning qarshiligi rezistorning qarshiligidan juda katta bo‘ladi, ya’ni

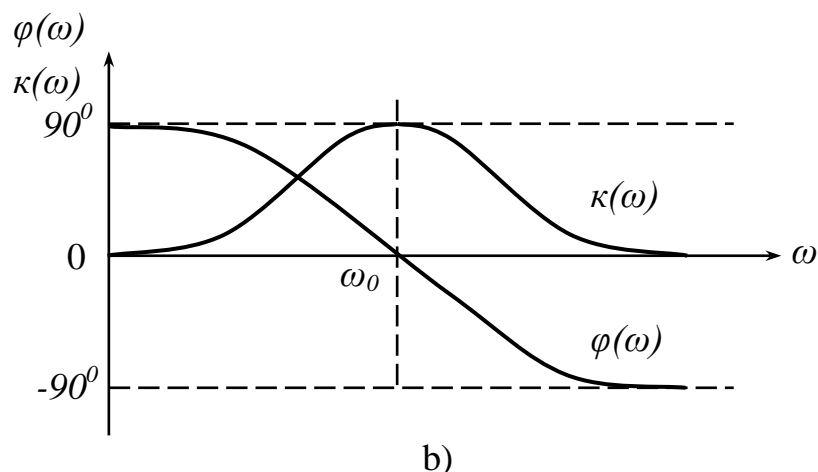
$$\frac{1}{\omega C_1} \gg R_1 \text{ va } \frac{1}{\omega C_2} \gg R_2, \quad (4.5)$$

bunda  $RC$ -zanjir yuqori chastotalar filtri sifatida qaralishi mumkin. Agar  $RC$ -zanjir kirish kuchlanishining chastotasi  $\omega \rightarrow \infty$  bo‘lsa, (4.5) ning teskarisi yuz beradi, ya’ni quyidagicha bo‘ladi:

$$\frac{1}{\omega C_1} \ll R_1 \text{ va } \frac{1}{\omega C_2} \ll R_2 \quad (4.6)$$



a)



b)

4.10 - rasm. Fazabalanslovchi Vinn ko‘prigi  $RC$ -zanjiri (a) va uning amplituda-chastota va faza-chastota tavsifnomalari (b).

Ma'lum bir chastotada ushbu qarshiliklar teng bo'ladi:

$$\frac{1}{\omega_0 RC} = \omega_0 RC . \quad (4.7)$$

(4.7) ifodadan generatsiya chastotasi aniqlanadi:

$$\omega_g = \omega_0 = \frac{1}{RC} . \quad (4.8)$$

Ushbu ikki kaskadli kuchaytirgichda amplituda balansi sharti juda oson bajariladi, chunki ikki kaskaddan  $K_k=3$  talab qilinadi. Teskari bog'lanish zanjiri uzatish koeffisienti  $K_{TA}$ , odatda, birga yaqin bo'ladi.

Vinn ko'priklı  $RC$ -generator amaliyotda keng qo'llanadi. Bu generatorda ham generatsiya qilinishi kerak bo'lgan umumiyl chastotalar diapazoni bir necha diapazonlarga bo'linadi. Har bir diapazonchalar ichida generatsiya chastotasi har ikki kondensator sig'imini bir xil kattalikda o'zgartirish hisobiga erishiladi. Keng chastotalar diapazonini qamrash har ikki rezistorni qarshiligi boshqa rezistorlar bilan almashtirish hisobiga amalga oshiriladi.

Ushbu turdag'i generatorlarda ma'lum bir keng chastotalar diapazonini qoplash kerak bo'lsa, u bir necha alohida diapazon qismlariga bo'linadi. Bunda har bir diapazon ichida generatsiya chastotasini o'zgartirish bir vaqtida har uch kondensator C larning sig'imini o'zgaruvchan kondensator yordamida bajariladi. Bir chastotalar diapazonidan boshqasiga o'tish rezistorlar qarshilagini almashtirish hisobiga amalga oshiriladi.

## 5. Signallarni raqamli qayta ishslash

### 5.1. Raqamli qayta ishslashning afzallikkleri. Raqamli filtrlash prinsiplari. Raqamli filtrning impuls va uzatish funksiyalari

Oxirgi yillar ma'lumotni diskret tizimlar orqali uzatilishi tez rivojlanish olib bormoqda. Ularda EHM asosida filtrlash jarayonlarini matematik modellashtirish usuli keng qo'llaniladi.

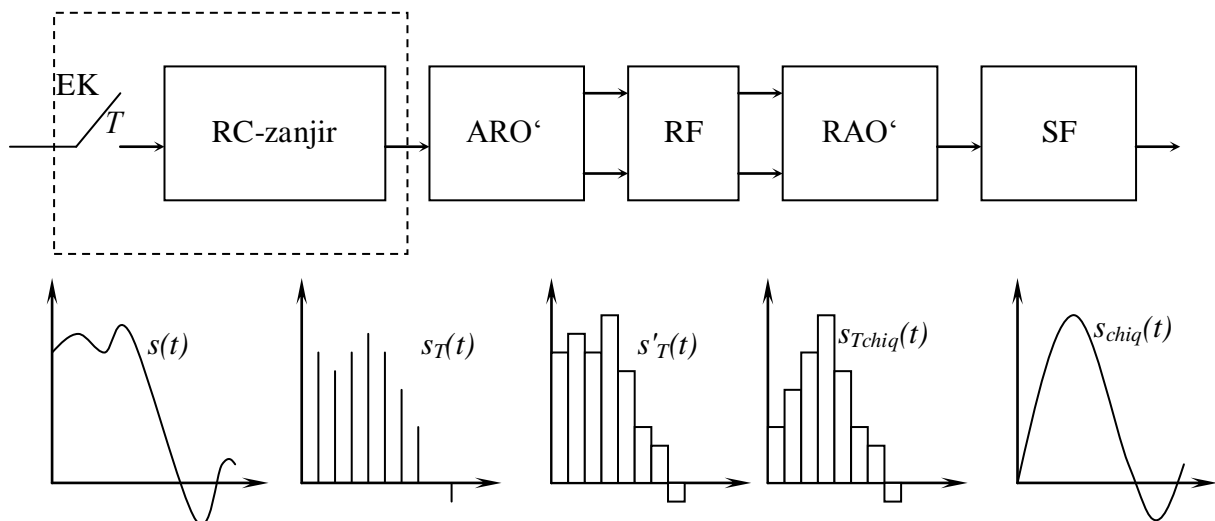
Bu yangi yo‘nalish zanjirlar va signallar texnikasining nazariyasini rivojlanishiga katta ta’sir o‘tkazmoqda. Raqamli filtrlar bir necha afzalliklarga ega. Ulardan asosiyлари:

- ishda ishonchliligi;
- standart signallar (impuls va pauzalar) ko‘rinishida kontinual signalni ikkilik raqamiga o‘zgartirishga asoslangan va analog filtrlarda olib bo‘lmaydigan tavsifnomalarning stabilligi.

Kontinual signalni raqamli qayta ishlash prinsipining umumiylasavvurini 5.1- rasmdagi sxemadan olish mumkin. Unda sxemaning turli nuqtalaridagi tebranishlarning shakllari berilgan.

**Raqamli filtrning ishlash prinsipi.** Kirish  $s(t)$  signal oldin  $T$  qadam bilan ishlovchi elektron kalit EK yordamida vaqt bo‘yicha diskretlanadi.

EK chiqishida signal  $s_T(t)$  ketma-ket, bir-biridan bir xil ortda qoluvchi  $s(t)$  signalning hisobi bo‘lgan qisqa impulslar ko‘rinishida bo‘ladi.  $s(t)$  kontinual signal tarkibidagi ma’lumotning saqlanishi  $T$  qadamni tanlashda ta’milanadi deb taxmin qilinadi.



5.1-rasm. Raqamli filtrning funksional sxemasi.

Har bir hisob analog-raqam o‘zgartirgichini (ARO‘) ishlashi uchun zarur bo‘lgan vaqtida integrallovchi RC-zanjirda eslab qolinadi. Bu vaqt  $T$  qadamdan ko‘p bo‘lmasligi kerak. Natijada RC-zanjir chiqishida pog‘onali  $s'_T(t)$  tebranish hosil bo‘ladi.

ARO‘da har bir hisob daraja bo‘yicha kvantlanadi va 0 yoki 1 (pauza yoki standart impuls) dan iborat  $r$  razryadlardan tashkil topgan ikkilik raqam – kodlangan so‘zga o‘zgartiriladi.

Kvantlash quyidagicha bo‘ladi: hisob o‘lchanadi va unga mumkin bo‘lgan umumiylar darajalardan biri beriladi. Bu raqam  $2^r$  ga teng. Masalan,  $r=10$  da  $2^{10}=1024$  daraja hosil bo‘ladi.

Har bir razryad o‘ziga mos shinaga ega, shuning uchun ARO‘ chiqishida kodlangan raqamlari hisob  $r$  chiqish shinalarida bir vaqtida sodir bo‘ladigan (parallel kod) binar raqamlar (pauza va impulslar) kombinatsiyasi ko‘rinishida namoyon bo‘ladi. Hisobning maksimal mumkin bo‘lgan qiymatiga  $r$  impulslardan tuzilgan kodli so‘z, hisobning 0 qiymatiga  $r$  pauzalardan tuzilgan kodli so‘z mos keladi.

Hisobning aniq namoyon bo‘lishi kodli so‘z qanchalik uzun bo‘lsa shunchalik yuqori bo‘ladi, ya’ni unda binar raqamlar qancha ko‘p bo‘lsa.

Raqamlar orqali kodlangan hisoblar ketma-ketligi raqamli filtrga (RF) uzatiladi. RF hisoblovchi qurilma bo‘lib, unda kodlangan so‘zlar ustida berilgan algoritmga mos keluvchi ma’lum matematik operatsiyalar (qo‘sish, ko‘paytirish hamda vaqt bo‘yicha kechiktirish) bajariladi. Bu operatsiyalar natijasida RF chiqishida filtrlangan signalga mos keluvchi yangi kodlangan so‘zlar hosil bo‘ladi.

Raqam-analog o‘zgartirgichida (RAO‘) har bir so‘z elektron kalitlar guruhini ishga tushiradi. Bu kalitlar har bir razryadga mos keluvchi etalon kuchlanishlarni yig‘ishni boshqaradi. Natijada RAO‘ chiqishida hisoblar analog shaklda hosil bo‘ladi. Bunday qayta kodlash (dekoderlash) ARO‘ dagi jarayonga teskari jarayon bo‘ladi.

RAO‘ chiqishida kuchlanish  $s_{T_{chiq}}(t)$  pog‘onali shaklda bo‘lib, har bir pog‘onaning balandligi chiqish signalining mos vaqt momentidagi hisobiga teng. Diskretlangan signal  $s_{T_{chiq}}(t)$  tushunchasi ostida keyinchalik amplitudalari mos pog‘onalarning balandligiga teng „yupqa“ impulslar ketma-ketligi tushuniladi.

Sintezlovchi filtr (SF) deb nomlangan to‘rtqutblikda diskret ketma-ketlikni kontinual chiqish signal  $s_{chiq}(t)$  ga o‘zgartirish amalga oshiriladi.

Yuqorida sanab o‘tilgan o‘zgartirishlar kirish signalining har bir hisobi ustida  $T$  qadamdan kam bo‘lgan vaqt ichida bajarilishi zarur. Undan tashqari razryadlarni qo‘sish, ayirish va kodlangan so‘z ustida boshqa operatsiyalarni amalga oshirish uchun qo‘llaniladigan elektron

kalitlarni boshqarish keskin sinxronligi ta'minlanishi kerak. Buning uchun yordamchi impulsli ketma-ketliklar sinxronizatsiyasining murakkab tizimini qo'llash talab etiladi. Uning yordamida har bir  $T$  qadamda ikkilik elementlarida (masalan, triggerlarda) eski ma'lumotlarni o'chirib, yangilarini kiritish amalga oshiriladi.

Masala tayanch generatordan olinadigan  $1/T$  chastotali yakka garmonik tebranishdan yuqorida ko'rsatilgan ketma-ketliklarni shakllantirish orqali yechiladi.

$T$  qadam RFning asosiy parametri bo'lgani uchun asosiy e'tibor shu generator chastotasining stabilligini oshirishga qaratiladi. Integral mittisxemalarning qo'llanilishi yuqorida keltirilgan murakkab masalalarni muvaffaqiyatli yechishga imkon beradi.

**Raqamlı filtrning impuls tavsifnomasi.** Diskret signal RF kirishida kontinual  $s(t)$  signaldan  $T$  interval bilan olingan  $s(kT)$ ,  $k=0, 1, \dots, N-1$ , hisoblardan iborat ketma-ketlik ko'rinishida bo'ladi.

Filtr chiqishida ma'lum operatsiyalar natijasida  $s_{chiq}(kT)$  raqamlar ketma-ketligi hosil bo'ladi.

Avval RF ishlashining eng oddiy algoritmini ko'rib chiqaylik. Unda  $s_{chiq}(mT)$  raqam  $t=mT$  momentida faqat  $s(mT)$  ga va undan oldingi kirish raqamlarga bog'liq bo'ladi:

$$s_{chiq}(mT)=a_0s(mT)+a_1s(mT-T)+a_2s(mT-2T)+\dots+a_Hs(mT-HT) \quad (5.1)$$

bu yerda  $a_i$  koeffitsientlari (filtrning "vazn koeffitsientlari") – haqiqiy o'zgarmas sonlar;

$H$  – eslab qolinuvchi raqamlarning maksimal soni;

$t=0$  momentidan boshlab  $t=0, T, 2T, \dots$ , momentlarida chiqish raqamlari quyidagi ifodalar orqali aniqlanadi:

$$\begin{aligned} s_{chiq}(0) &= a_0s(0), \\ s_{chiq}(T) &= a_0s(T)+a_1s(0), \\ s_{chiq}(2T) &= a_0s(2T)+a_1s(T)+a_2s(0), \end{aligned}$$

$$s_{chiq}(mT)=a_0s(mT)+a_1s[(m-1)T]+a_2s[(m-2)T]+\dots+a_Hs[(m-H)T].$$

Keltirilgan nisbatlar quyidagi ifoda orqali umumlashadi:

$$s_{chiq}(mT) = \sum_{k=0}^m a_k s[(m-k)T], \quad m \leq H. \quad (5.2)$$

(5.2) algoritmi 5.2-rasmdagi sxemada amalga oshiriladi. Unda  $T$  xotira elementini bildiradi. Ba'zida qisqacha qilib kechiktirish deb ataladi.

RF umumiyligi ta'rifidan ko'rinish turibdiki, kechiktirish effekti ikkilik elementlaridan elektron kalit ishlashi bilan sinxron ravishda raqamlarni kiritish va chiqarish orqali erishiladi.

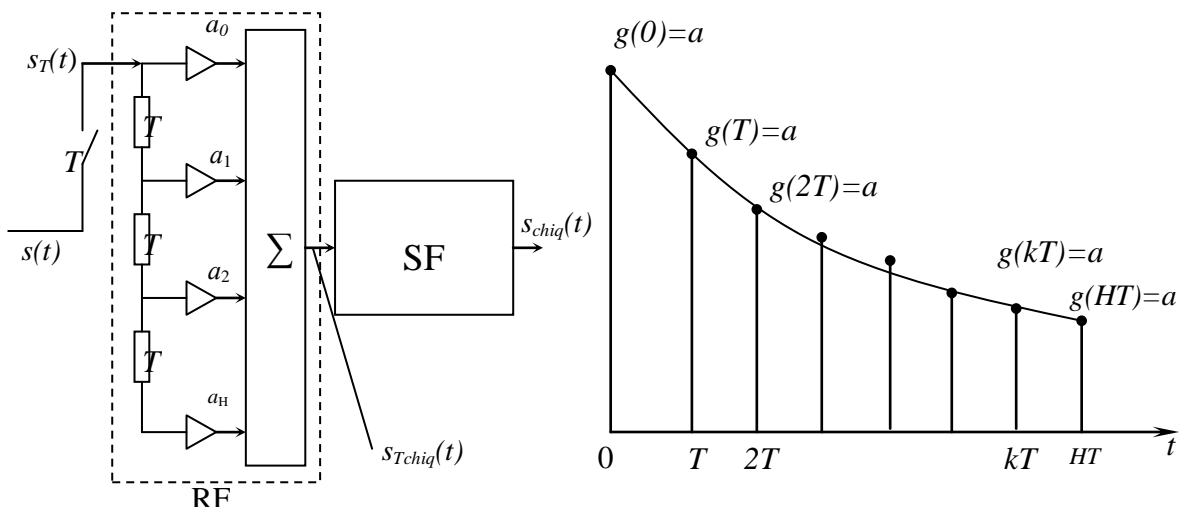
5.2-rasmdagi sxemadan filtr kirishiga  $s(0)=1$  hisobni uzatishda (birlik impuls) summatorning kirishida RF impuls Tavsifnomasi ma'nosini beruvchi raqamlar ketma-ketligi hosil bo'lishi bevosita kelib chiqadi (5.3-rasm).

Bundan keyin impuls tavsifnomasi  $g(kT)$  orqali belgilanadi. 5.2-rasmdagi sxema uchun  $g(kT)$  raqamlari filtrning vazn koefitsientlari  $a_k$  bilan mos keladi.

(5.2) ifodani quyidagi shaklda yozamiz:

$$s_{chiq}(mT) = \sum_{k=0}^m s[n-k] \overline{\int g(t)} dt = \sum_{k=0}^m s[n-k] \overline{\int g}_. \quad (5.3)$$

(5.3) ifoda integral o'ramning diskret ekvivalenti hisoblanadi. U analog zanjirlar orqali kontinual signalning o'tishini tahlil qilishda qo'llaniladi.



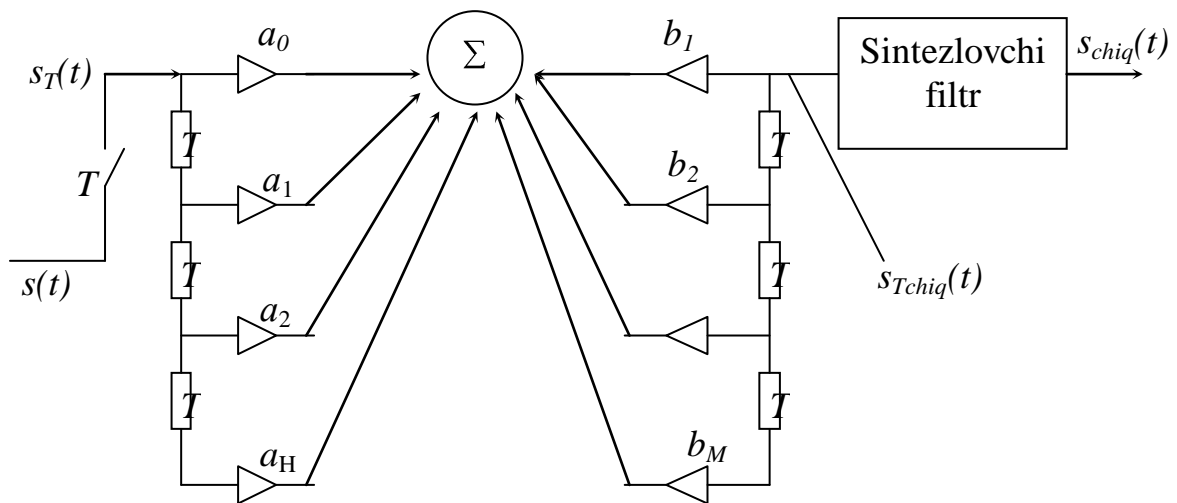
5.3-rasmdagi  $g_T(t)$  impuls tavsifnomani mos keluvchi analog filtrning kontinual impuls tavsifnomasini  $T$  qadam bilan diskretlash natijasi deb ta'kidlash mumkin.

5.2-rasmdagi filtrni ba'zida transversal (ko'ndalang) filtr deb ataladi.

Filtrning imkoniyatlari teskari aloqa zanjirlarini kiritilganda ancha kengayadi (5.4-rasm). Teskari aloqa mavjudligida summator (hisoblagich) chiqishida signalning qiymati  $mT$  vaqtning istalgan momentida faqat kirish signalining  $H$  hisoblariga bog'liq bo'lmasdan chiqish signalining avvalgi momentlaridagi bir qancha hisoblarga ham bog'liq bo'ladi. Bunday filtr rekursiv filtr deb ataladi. Bu filtr uchun (5.1) tafovut tenglamasini  $b_1, b_2, \dots, b_M$  vazn koeffitsientlarga ega teskari aloqalarini hisobga oluvchi umumiylenglamaga almashtirish zarur:

$$s_{chiq}(mT) = a_0 s(mT) + a_1 s(mT-T) + a_2 s(mT-2T) + \dots + a_H s(mT-HT) + \\ + b_1 s_{chiq}(mT-T) + b_2 s_{chiq}(mT-2T) + \dots + b_M s_{chiq}(mT-MT).$$

Transversal va rekursiv filtrlarning bir-biridan prinsipial farqi ularning impuls tavsifnomalarining xususiyatlariga bog'liq. Birinchi holda impuls tavsifnomasi tugallangan ( $H$  dan katta bo'lmaydigan) hisoblar soniga ega bo'lsa, ikkinchi holda teskari aloqa mavjudligi tufayli hisoblar soni cheksiz ko'p bo'ladi. Shu munosabat bilan transversal filtrlarni ba'zida tugallangan impuls tavsifnomali (TIT), rekursiv filtrlarni cheksiz impuls tavsifnomali (CHIT) filtrlar deb atashadi.



5.4-rasm. Teskari aloqalarga ega raqamli filtr.

**Raqamli filtrning uzatish funksiyasi.** 5.5-rasmida kattalik bo‘yicha ixtiyoriy va vaqt bo‘yicha uzluksiz signal ko‘rsatilgan. Bu toifa signallarni analogli deb atashadi, chunki ularni fizik kattaliklarning elektrik modeli yoki uzluksiz deb qarash mumkin. Ular vaqt o‘qida cheksiz ko‘p nuqtalarda beriladi. Bunday ko‘pliklar continual deb ataladi. Bu holda ordinata o‘qida signallar ma’lum oraliq ichida istalgan qiymatga ega bo‘lishi mumkin. Shuningdek, bu signallar 5.5-rasmida ko‘rsatilganidek uzulishlarga ega bo‘lishi mumkin.

Kontinual  $s(t)$  signal uzluksiz  $t$  o‘zgaruvchining funksiyasi hisoblanadi, diskret  $s(x)$  esa faqat o‘zgartirilmaydigan qiymatlarni qabul qiluvchi diskret  $x$  o‘zgaruvchining funksiyasi hisoblanadi.

Bundan keyin diskret atamasi faqat vaqt bo‘yicha diskretlashga nisbatan qo‘llaniladi. Daraja bo‘yicha diskretlik esa kvantlash atamasi orqali belgilanadi. Shuning uchun vaqt bo‘yicha diskretlangan va daraja bo‘yicha kvantlangan signal bundan buyon raqamli deyiladi.

$s(t)$  signalni diskretlash deganda uni vaqtning  $\eta\Delta t$  diskret momentlarida hisoblarning to‘planishi yordamida analitik ko‘rinishi nazarda tutiladi.

Elektron kalit yordamida bajariladigan diskretlash jarayonini  $s(t)$  funksiyaning yetarlicha qisqa takt impulslarining  $y_T(t)$  yordamchi davriy ketma-ketligiga ko‘paytmasi sifatida ko‘rish osonroq.

Bunday impulslar sifatida, odatda,  $T$  qadamdan nisbatan kichikroq  $\tau_0$  davomiylikka ega to‘g‘ri burchakli impulslar ko‘rib chiqiladi.

Shunday qilib,  $T$  qadam bilan diskretlangan signalni quyidagicha ifodalash mumkin:

$$s_T(t) = s(t)y_T(t).$$

RF kirishida amal qiluvchi diskret signalni quyidagicha shaklda ko‘rsatish qulay:

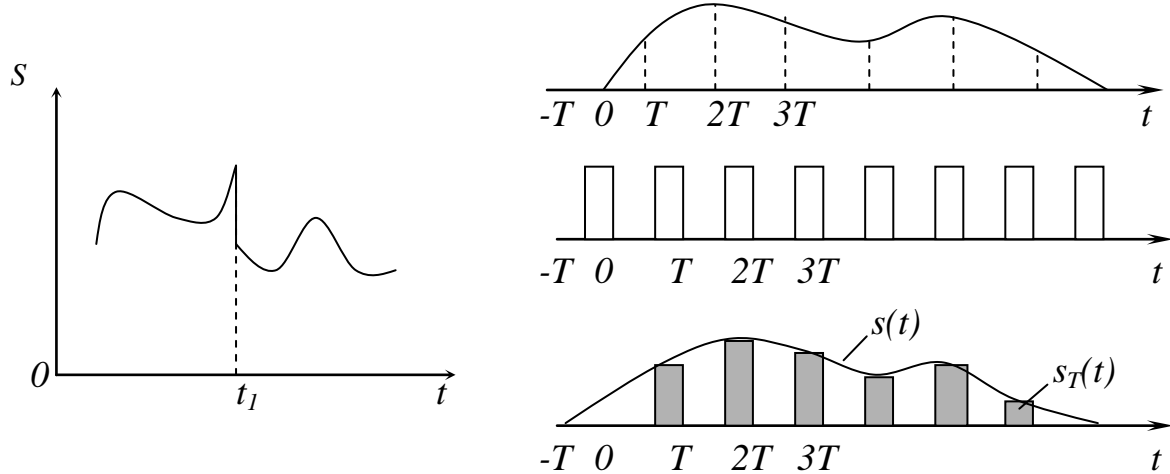
$$s_T(t) = s_T(t) \sum_{k=-\infty}^{\infty} \delta(t - kT) = \sum_{k=-\infty}^{\infty} s(kT) \delta(t - kT), \quad (5.4)$$

lekin, boshlang‘ich  $s(kT)=0$ ,  $k<0$  shartiga ko‘ra:

$$s(t) = \sum_{k=0}^{\infty} s_k T e^{-kT}$$

Mos ravishda Laplas bo'yicha tasvirlash quyidagicha bo'ladi:

$$L[s](t) = \sum_{k=0}^{\infty} s_k T e^{-pkT}. \quad (5.5)$$



5.5-rasm. Kattalik bo'yicha ixtiyoriy va vaqt bo'yicha uzluksiz signal.

5.6-rasm. Tugallanuvchi davomiylikli takt impulsleri ketma-ketligiga ko'paytirish misolida signalni diskretlash.

Filtr chiqishidagi diskret signal uchun mos keluvchi ifodani ham tuzish qiyin bo'lmaydi. Transversal filtr holatida summator chiqishidagi natijaviy signalni quyidagi yig'indi ko'rinishida yozish mumkin:

$$s_{Tchiq}(t) = a_0 s_T(t) + a_1 s_T(t-T) + \dots + a_H s_T(t-HT)$$

Siljish teoremasini hisobga olib, bu ifodaga Laplas o'zgartirishini qo'llab quyidagini olamiz:

$$L[s_{Tchiq}] = s_{Tchiq}(p) = s_{T(p)} \sum_{k=0}^H a_k e^{-pkT},$$

bunda  $\delta(t)$  – delta-funksiya;

$p = \sigma + i\omega$  – kompleks chastota;

$H$  – eslab qolinuvchi raqamlarning maksimal soni;

$a_i$  – filtrning vazn koeffitsientlari.

RFning uzatish funksiyasini umumiy ko‘rinishda quyidagi nisbat orqali aniqlanadi:

$$K_T(p) = s_{Tchiq}(p)/s_T(p). \quad (5.6)$$

Transversal filtr uchun bu nisbat quyidagicha ifodalanadi:

$$K_T(p) = a_0 + a_1 e^{-pT} + a_2 e^{-p2T} + \dots + a_H e^{-pHT}. \quad (5.7)$$

(5.7) ifodani shuningdek Laplas o‘zgartirishini bevosita  $g(kT)$  impuls Tavsifnomaga qo‘llab quyidagi shaklda olish mumkin:

$$g_T(t) = \sum_{k=0}^{\infty} a_k \delta(t - kT)$$

Haqiqatan,

$$L[g_T] = a_0 + a_1 e^{-pT} + a_2 e^{-p2T} + \dots + a_H e^{-pHT} = K_T(p) \quad (5.8)$$

Shunday qilib, RF impuls tavsifnomasi va uzatish funksiyasi xuddi analog filtr holatida kabi o‘zaro Laplas va Furye o‘zgartirishlari orqali bog‘liq.

(5.7) ifodaga  $p = i\omega$  ni qo‘yib chastotalar o‘qida quyidagi uzatish funksiyasini olamiz:

$$K_T(\omega) = \sum_{k=0}^H a_k e^{-ik\omega T}. \quad (5.9)$$

(5.9) va (5.4) ifodalardan RF uzatish funksiyasi  $K_T(i\omega)$  xuddi  $s_T(\omega)$ ,  $s_{Tchiq}(\omega)$  spektrlari singari  $2\pi/T$  ga teng davrli (chastotalar o‘qida) davriy tuzilishga ega ekanligini ko‘rsatadi.

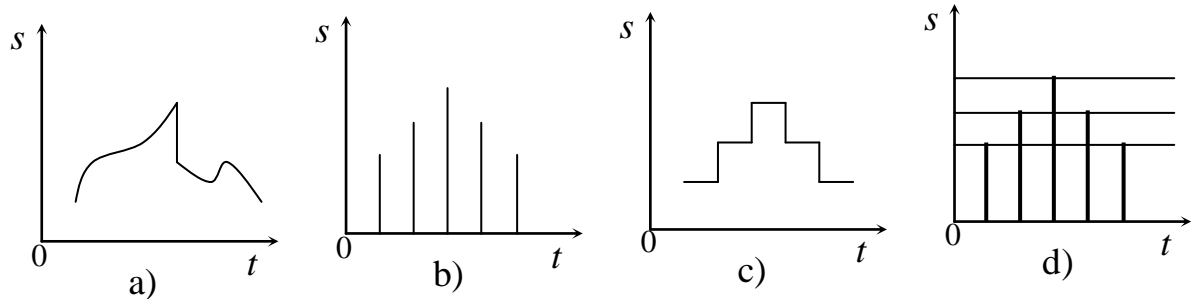
## 5.2. Diskret signallar va zanjirlarni tahlil qilish usullari

**Raqamli signallarning tavsifnomalari.** Oldingi paragrafda  $s(t)$  signalni diskretlash deganda uni  $n\Delta t$  vaqtning diskret momentida hisoblar to‘plami yoki  $t=n\Delta t$  vaqtning momentlarida  $s(t)$  funksiyaning hisob tanlashi yordamida analitik tasvirlash nazarda tutilgan edi.

Zamonaviy radioelektronikada misol uchun, radioaloqada axborotni uzatilishining impulsli usullari qo‘llanilganda, signalni diskretlash amalga oshiriladigan tizimlar keng tarqalgan.

Raqamli qayta ishlash tizimlarida boshlang‘ich kontinual signal diskret signalga o‘zgartiriladi (5.7-rasm).

Diskretlash  $T$  qadamni (tempi) tanlash hisoblar teoremasiga (Kotelnikov teoremasi) asosan bajariladi: agar  $s(t)$  funksiyaning spektridagi eng yuqori chastota  $f_m$  dan kichik bo‘lsa, u holda  $s(t)$  funksiya bir-biridan  $1/2f_m$  sekunddan oshmaydigan oraliqdagi momentlarda o‘zining qiymatlari ketma-ketliklari orqali to‘liq aniqlanadi.



5.7-rasm. a) kattalik va vaqt bo‘yicha ixtiyorli; b) kattalik bo‘yicha ixtiyorli va vaqt bo‘yicha diskretlangan; c) kattalik bo‘yicha kvantlangan va vaqt bo‘yicha uzluksiz; d) kattalik bo‘yicha kvantlangan va vaqt bo‘yicha diskretlangan signallar.

Ushbu teoremaga asosan spektr bo‘yicha eng yuqori  $\omega_m=2\pi f_m$  chastota bilan cheklangan  $s(t)$  signalni quyidagi qator orqali ko‘rsatish mumkin:

$$s(t) = \sum_{n=-\infty}^{\infty} S\left(\frac{n}{2f_m}\right) \frac{\sin \omega_m(t - n/2f_m)}{\omega_m(t - n/2f_m)} = \sum_{n=-\infty}^{\infty} S(n\Delta t) \varphi_n(t). \quad (5.10)$$

Bu ifodada  $1/2f_m = \Delta t$  vaqt o‘qida ikki hisob nuqtalari orasidagi intervalni,  $S(n/2f_m) = S(n\Delta t)$  esa  $s(t)$  funksiyaning  $t=n\Delta t$  vaqt momentlaridagi hisob tanlashini bildiradi.

Elektron kalit yordamida amalga oshiriladigan diskretlash jarayonini (hisoblarni tanlash)  $s(t)$  funksiyani yetarlicha qisqa takt impulslarining yordamchi  $y_T(t)$  davriy ketma-ketlikka ko‘paytmasi deb qarash qulay.

Bunday impulslar sifatida  $T$  qadamga nisbatan kichik  $\tau_0$  davomiylikka ega to‘g‘ri burchakli impulsurni olish mumkin.

Shunday qilib,  $T$  qadam bilan diskretlangan signalni quyidagi ifoda orqali aniqlash mumkin:

$$s_T(t) = s(t)y_T(t). \quad (5.11)$$

5.8, a-rasmda  $s(t)$ ,  $y_T(t)$  va  $s_T(t)$  funksiyalari ko‘rsatilgan.

**Diskretlangan signallarni spektral tahlili.**  $\tau_0/T$  kattalikning kichikligiga talablarni aniqlashtirish uchun avval  $s_T(t)$  diskretlangan signal spektrining tuzilishini ko‘rib chiqamiz.

Boshlang‘ich  $s(t)$  kontinual signalning  $S(\omega)$  spektral zichligi berilgan deb hisoblansin.

Quyidagi formula orqali davriy  $y_T(t)$  funksiyani Fur’e qatori ko‘rinishida yozamiz:

$$y_T(t) = U_0 \left[ \frac{\tau_0}{T} + \frac{2}{\pi} \sum_{n=1}^{\infty} \frac{1}{n} \sin\left(\frac{n\omega_1 \tau_0}{2}\right) \cos n\omega_1 t \right], \quad (5.12)$$

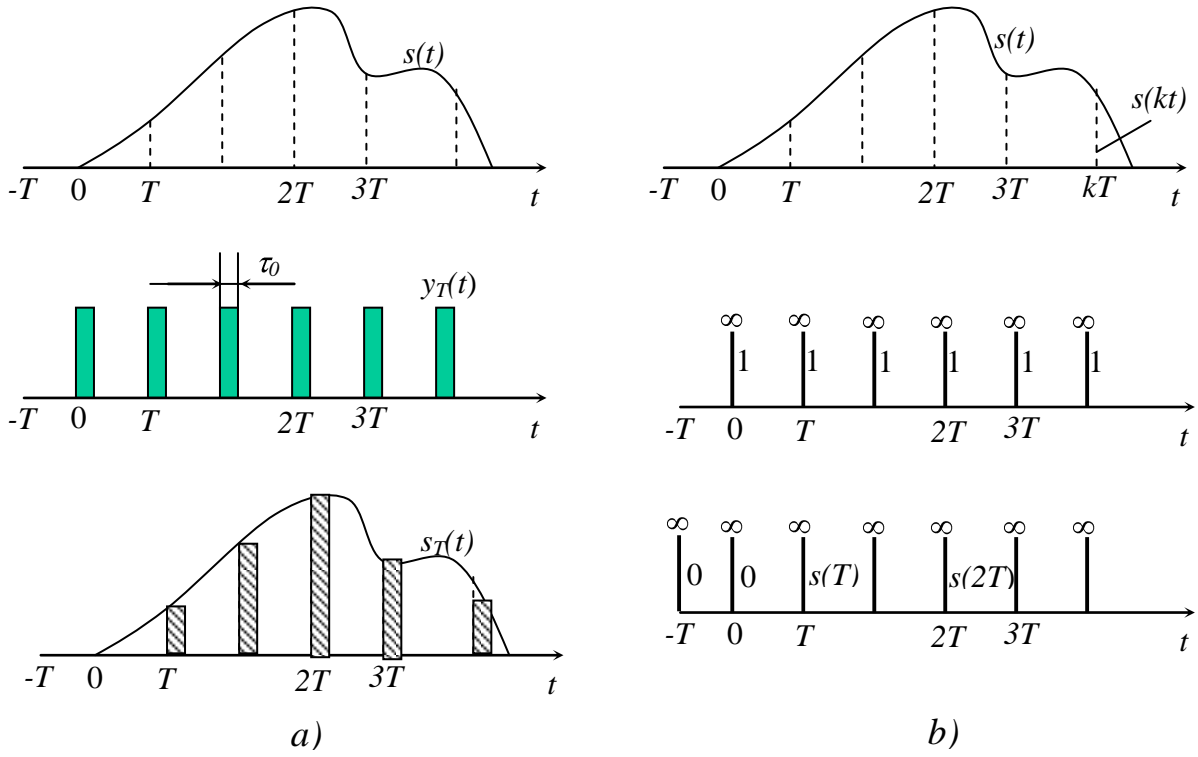
bunda  $\omega_1 = 2\pi/T$  – takrorlanish chastotasi.

$n\omega_1 \tau_0/2 = n\pi\tau_0/T$  ekanligini hisobga olgan holda hamda

$\frac{1}{\pi n} \sin \frac{n\pi\tau_0}{T} = \frac{\tau_0}{T} \sin c(n\pi\tau_0/T)$  ekanligini nazarda tutib, quyidagini olamiz:

$$y_T(t) = U_0 \frac{\tau_0}{T} \left[ 1 + 2 \sum_{m=1}^{\infty} \sin c\left(\frac{n\pi\tau_0}{T}\right) \cos n\omega_1 t \right].$$

U holda (5.11) ifoda quyidagi ko‘rinishni oladi:



5.8-rasm. Tugallangan davomiylikka ega takt impulslarining ketma-ketligiga ko‘paytirish sifatida (a) yoki delta-funksiyalarining ketma-ketligiga ko‘paytirish sifatida (b) signalni diskretlash.

$$s_T(t) = U_0 \frac{\tau_0}{T} \left[ s(t) + 2s(t) \sum_{m=1}^{\infty} \sin c\left(\frac{n\pi\tau_0}{T}\right) \cos n\omega_1 t \right].$$

Ifodaning o‘ng tomonidagi birinchi qo‘shiluvchisiga boshlang‘ich kontinual signalning  $S(\omega)$  spektral zichligi mos keladi, har bir  $s(t) \cos n\omega_1 t$  ko‘paytmalarga esa  $\frac{1}{2} [S(\omega - n\omega_1) + S(\omega + n\omega_1)]$  spektral zichlik mos keladi, ya’ni,  $s(t)$  funksianing  $(\omega - \omega_0)$  va  $(\omega + \omega_0)$  chastotalardagi spektral zichliklari.

Demak, izlanayotgan spektral zichlik quyidagicha bo‘ladi:

$$S_T(\omega) = U_0 \frac{\tau_0}{T} \left[ S(\omega) + \sum_{n=1}^{\infty} \sin c\left(\frac{n\pi\tau_0}{T}\right) S(\omega - n\omega_1) + \sum_{n=1}^{\infty} \sin c\left(\frac{n\pi\tau_0}{T}\right) S(\omega + n\omega_1) \right].$$

$\text{sinc}(0)=1$  bo‘lganligi sababli oxirgi ifodani quyidagi natijaviy shaklda yozish mumkin:

$$S_T(\omega) = U_0 \frac{\tau_0}{T} \sum_{n=-\infty}^{\infty} \sin c \left( \frac{n\pi\tau_0}{T} \right) S \left[ \varphi - n\omega_1 \right]. \quad (5.13)$$

5.9-rasmida  $S(\omega)$  va  $S_T(\omega)$  funksiyalarning grafiklari ko‘rsatilgan.

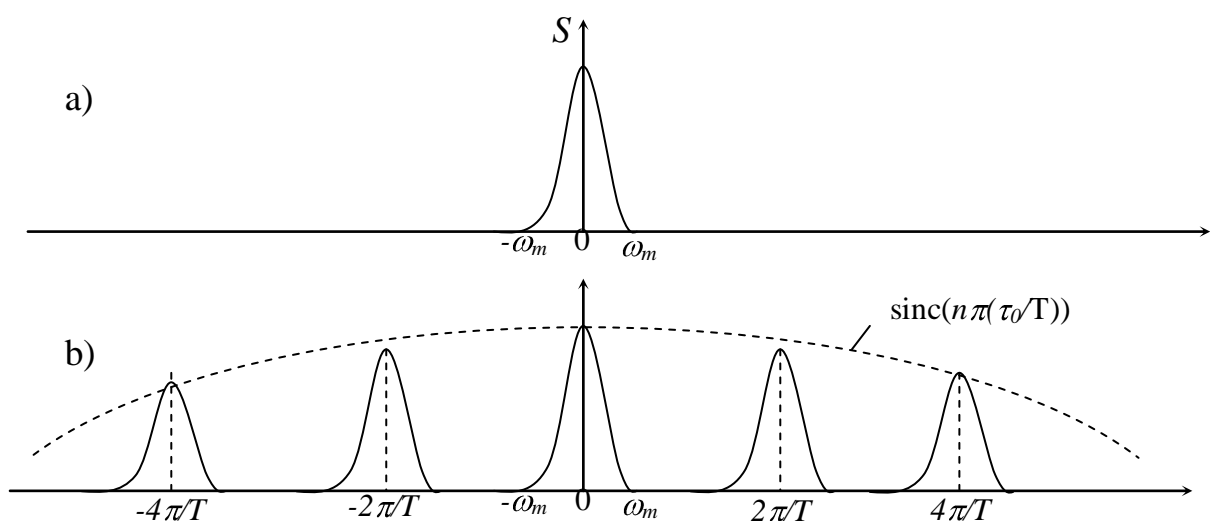
Shunday qilib, diskretlangan signalning  $S_T(\omega)$  spektri boshlang‘ich  $s(t)$  signalning bir-biriga nisbatan  $\omega_I=2\pi/T$  chastotaga siljigan va  $\sin \left( \frac{n\pi\tau_0}{T} \right) / \frac{n\pi\tau_0}{T}$  qonuniyat bo‘yicha kamayib boruvchi  $S(\omega)$  spektrlar ketma-ketligidan iborat.

Agar hisoblar qadamini hisoblar teoremasiga binoan  $T < 1/2f_m = \pi/\omega_m$  shartidan olingan bo‘lsa, 5.9-rasmida ko‘rsatilganidek alohida spektrlar kesishishmaydi va filtrlar yordamida ajratilishi mumkin.

Amaliyotda  $T$  qiymatini, odatda,  $1/2f_m$  dan bir necha marta kichik qilib olinadi, bu esa signalni aniq qayta ishlash va filtrlarning realizatsiyasini osonlashtirish uchun muhimdir.

$\tau_0/T$  nisbati kamaygani sari spektr kengliklarining kamayishi davriy tuzilishi bo‘yicha bir tekis oraliqda sekinlashib boradi va tabiiyki kengliklar sathi nolga intiladi.

Agar  $\tau_0$  kamayishi bilan bir vaqtida  $U_0$  ni kattalashtirilsa, shuningdek, unda impuls maydoni  $U_0\tau_0$  o‘zgarmasdan qolsa, u holda  $y_T(t)$  va  $s_T(t)$  funksiyalari 5.9, b-rasmdagi ko‘rinishga keladi.



5.9-rasm. Boshlang‘ich signal (a) va diskretlangan signal (b) spektrlari.

Soddalashtirish uchun  $U_0\tau_0=1$  tenglashtirib, takt funksiyasini aniqlash uchun quyidagi ko‘rinishga kelamiz:

$$y_T(t) = \sum_{k=-\infty}^{\infty} \delta(t - kT).$$

Shuningdek (5.11) ifoda quyidagi ko‘rinishga keladi:

$$s(t) = s(t) \sum_{k=-\infty}^{\infty} \delta(t - kt) = \sum_{k=-\infty}^{\infty} s(kT) \delta(t - kT). \quad (5.14)$$

Vaqt hisoblari ketma-ketligi 5.8, b-rasmdagi  $kT$  nuqtalardagi  $s(t)$  signal qiymatlariga teng vazn koeffitsientli delta-funksiyalar ketma-ketligi ko‘rinishiga keladi.

Bunda (5.13) ifoda quyidagi ko‘rinish oladi:

$$S_T(\omega) = \frac{1}{T} \sum_{n=-\infty}^{\infty} S(\omega - n\omega_1). \quad (5.15)$$

Shuni ta’kidlash kerakki,  $s_T(t)$  signal energiyasi delta-funksiya orqali berilgan holda cheksiz katta bo‘ladi. Mos ravishda,  $S_T(\omega)$  spektr energiyasi ham (5.15) orqali aniqlanganda cheksiz katta. Tugallanuvchi energiyали real takt impulslarini qo‘llaganda  $S_T(\omega)$  spektr  $\omega \rightarrow \infty$  da kamayib boradi (5.9-rasm).

$s_T(t)$  signalni (5.14) shaklda ifodalash diskret signallarni spektral tahlilini osonlashtiradi. Masalan,  $S_T(\omega)$  spektral zichlikni bevosita  $\{s(kt)\}$  vaqt hisoblari to‘plami bo‘yicha  $S(\omega)$  spektriga boshlang‘ich kontinual signalni aloqasisiz aniqlash mumkin.

Haqiqatan, Furye oddiy o‘zgartirishini qo‘llagan holda:

$$S(\omega) = \int_{-\infty}^{\infty} s(t) e^{-i\omega t} dt. \quad (5.16)$$

(5.16 –  $s(t)$  funksianing spektral zichligi yoki spektral tavsifnomasi deyiladi, qachonki  $t_1, t_2$  oraliqlar noaniq bo‘lgan holda). (5.14) ifodaga  $k=0, 1, \dots, \infty$ , bo‘lganda quyidagini olamiz:

$$S_T(\omega) = \int_0^\infty s_T(t) e^{-i\omega t} dt = \int_0^\infty e^{-i\omega t} \sum_{k=0}^{\infty} s(kT) \delta(t - kT) dt = \sum_{k=0}^{\infty} s(kT) \int_0^\infty e^{-i\omega t} \delta(t - kT) dt = \sum_{k=0}^{\infty} s(kT) e^{-i\omega kT}$$

O‘z o‘lchamalri bo‘yicha  $S(\omega)$  va  $S_T(\omega)$  funksiyalar bir xil emas: birinchisi  $\left[ \frac{\text{signal}}{\text{chastota}} \right]$  o‘lchamiga, ikkinchisi esa oddiy  $[signal]$  o‘lchamiga ega.

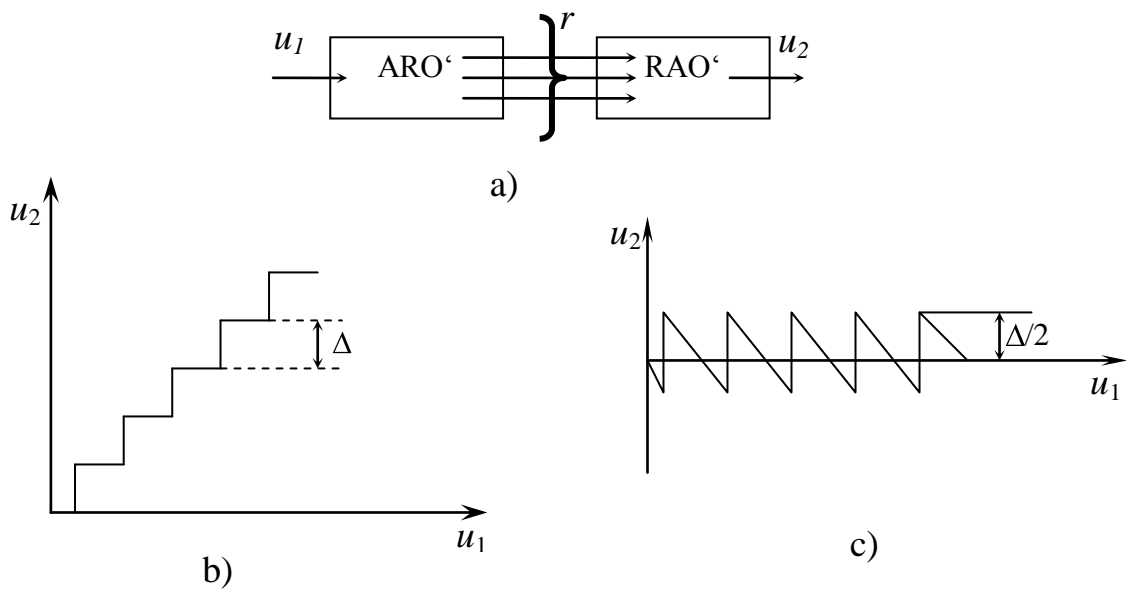
### **5.3. Analog-raqam o‘zgartirish. Kvantlash shovqinlari. Raqam-analog o‘zgartirish va kontinual signalni tiklash**

**Signalni kvantlaganda xatoliklar.** Diskret filtrlarni ko‘rib chiqilganda kirish signalini analog shakldan raqamliga o‘zgartirishda hosil bo‘ladigan xatoliklar masalasi ko‘rilmagan edi. Xatolik signalni oxirgi cheklangan darajalar soniga kvantlaganda sodir bo‘ladi. Bu xatolikning xarakterini aniqlash uchun 5.1-rasmdagi struktura sxemaga qaytaylik va undan ikki qurilmani – ARO‘ va RAO‘ni ajratib olaylik.

Avval bu qurilmalarni birlgilikda ishlashini ARO‘ kirishiga turli  $u_1$  darajalarga ega o‘zgarmas kuchlanish berilganda RFni hisobga olmasdan ko‘rib chiqamiz. Ikkilik kodida razryadlar soni ikkilik elementlari (masalan, triggerlar) soni bilan aniqlanadi. Ularning har biri ikki holatning birida bo‘lishi mumkin: chiqishda nolli yoki nol bo‘lmagan kuchlanish. Bu holatlarning biriga shartli ravishda 0, ikkinchisiga 1 beriladi. Ikkilik elementlarining soni  $r$  bo‘lganda ARO‘ chiqishida  $r$  simvollar kombinatsiyasi (kodli raqam) hosil bo‘ladi.

Ularning har biri ikki qiymatdan birini (0 yoki 1) qabul qilishi mumkin. Oldingi paragraflarda ko‘rsatilganidek, mumkin bo‘lgan har xil kombinatsiyalarning soni  $L=2^r$  va kirish signalining o‘zgarish diapazonini taqsimlash mumkin bo‘lgan diskret darajalar sonini aniqlaydi. RAO‘da teskari o‘zgartirish sodir bo‘ladi. RAO‘ kirishiga beriladigan 0 va 1 kombinatsiyalarning har biriga chiqish signalining ma’lum diskret darajasi mos keladi. Natijada  $\Delta$  kvantlashning bir xil qadamida  $u_2$  ning  $u_1$  ga bog‘liqligi 5.10, c-rasmda ko‘rsatilgan siniq liniya ko‘rinishida bo‘ladi. 5.10, a-rasmda ko‘rsatilgan qurilma shunday tavsiynomaga ega bo‘lsa, u nochiziqli qurilma sifatida,  $u_2-u_1=q$  tafovut esa kvantlash xatoligi sifatida ko‘riliishi kerak.

Ko‘rinib turganidek  $\Delta/2$  dan oshmaydigan absolut qiymatda eng katta xatolik  $u_1$  ortishi bilan o‘zgarmasdan qoladi (5.10, c-rasm).



5.10-rasm. A-R va R-A o‘zgartirish (a), kvantlash tavsifnomasi (b) va kvantlash xatoligi (c)

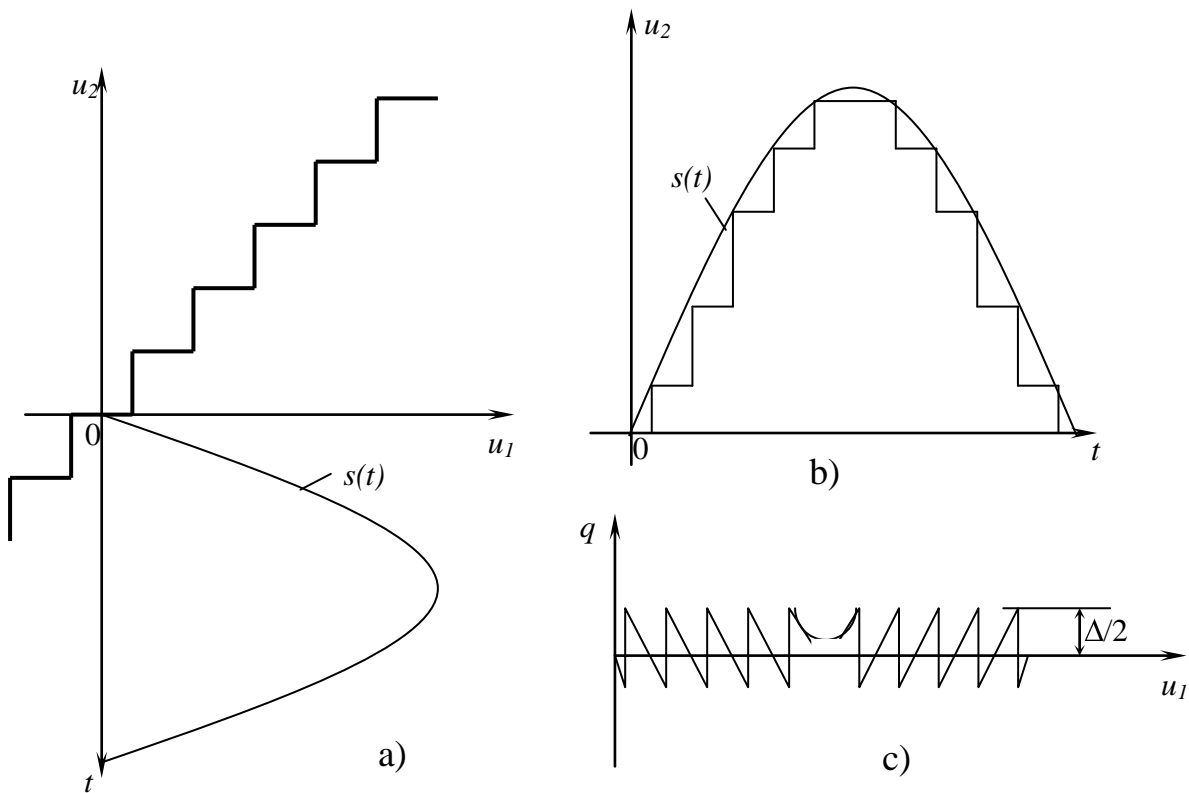
Yuqorida ko‘rilganchi garmonik kirish tebranishi  $s(t)$  uchun davom ettiramiz (5.11, a-rasm).  $s_{chiq}(t)$  tebranish kirish  $s(t)$  tebranishidan farqlanuvchi pog‘onali shaklni egallaydi (5.11, b-rasm), kvantlash xatoligi esa 5.11, c-rasmdagi funksiya ko‘rinishini oladi:

$$q(t) = s_{chiq}(t) - s(t).$$

$s(t)$  garmonik tebranishning amplitudasi va chastotasi keng oraliqlarda o‘zgarganda  $q(t)$  ning faqat yo‘nalish chastotasi o‘zgaradi va ularning shakli  $\Delta/2$  amplitudada uchburchaksimonga yaqin bo‘lib qoladi.  $q(t)$  funksiyani kvantlash xalaqiti yoki shovqini deb atash mumkin.

**Kvantlash shovqining o‘rtacha quvvatini** hisoblab chiqish qiyin emas. Impulslarning  $\Delta/2$  amplituda bilan shakli uchburchaksimon qilib olinganda (5.11, c-rasm) bitta impulsning davomiyligida o‘rtacha quvvati quyidagiga teng:

$$(1/3) \cdot (\Delta/2)^2 = \Delta^2/12. \quad (5.17)$$



5.11-rasm. Kvantlovchi qurilmaning kirishidagi (a) va chiqishidagi (b) signal; kvantlash shovqini (c).

Bu kattalik impulsning davomiyligiga bog‘liq bo‘lmagani uchun kvantlash shovqinining o‘rtacha quvvati quyidagicha olinishi mumkin:

$$P_q = \Delta^2 / 12.$$

Garmonik signal uchun chiqarilgan bu natijani boshqa istalgan signal, shu jumladan tasodifiy signalga ham qo‘llash mumkin. Farqi faqat shundaki,  $q(t)$  funksiya impulsning tasodifiy davomiyligi tufayli tasodifiy jarayon bo‘ladi.

**Kvantlash jarayonida signal/xalaqit nisbati.** Bu nisbatni hisoblash ham qiyinchilik tug‘dirmaydi. ARO‘ tavsifnomasining oraliqlariga joylashuvchi  $L$  ga teng pog‘onalarning umumiyligi soni va pog‘onanining  $\Delta$  balandligida garmonik signalning amplitudasi  $L \cdot \Delta / 2$  dan, signalning o‘rtacha quvvati esa  $1/2(L \cdot \Delta / 2)^2$  kattalikdan oshmasligi kerak.

Shularga asosan garmonik tebranishni kvantlaganda signal/xalaqit nisbati quyidagicha aniqlanadi:

$$P_s/P_q \leq 3L^2/2.$$

Darajalar soni  $L$  ikkilik razryadlari soni  $r$  bilan  $L=2^r$  orqali bog‘liq bo‘lgani uchun oxirgi ifodani quyidagi shaklda ko‘rsatish mumkin:

$$P_s/P_q = (3/2) \cdot 2^{2r}. \quad (5.18)$$

Kvantlash shovqinidan signaling ustunligini taxminan baholashda quyidagi nisbat beriladi:

$$P_s/P_q \approx 2^{2r}.$$

yoki detsibellarda quyidagicha aniqlanadi:

$$D_{dB} = (P_s/P_q)_{dB} = 10 \lg 2^{2r} = 10 \cdot 2r \cdot \lg 2 \approx 6r \quad (5.19)$$

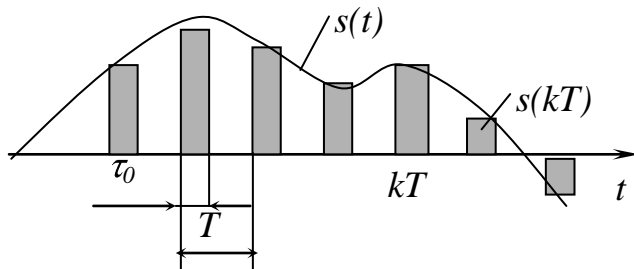
Zamonaviy ARO‘ larda razryadlar soni 10 va undan ortiq bo‘ladi. Bunda ARO‘ ning dinamik diapazonini tavsiflovchi  $D_{dB}$  kattalik taxminan 60 dB tashkil etadi (har bir razryadga 6 dB).

**Raqam-analog o‘zgartirish va kontinual signalni tiklash.** Signalni raqamli shakldan kontinualga qayta o‘zgartirish ikki qurilma yordamida (5.1-rasm) amalga oshiriladi: 1) RAO‘; 2) sintezlovchi filtr (SF).

RAO‘ da har bir  $r$  razryadga mos keluvchi o‘zgarmas kuchlanishlar manbasi va bu kuchlanishlarni summatorga sinxron ulovchi yoki uzuvchi qurilma (5.10, a-rasmdagi sxemada ARO‘ dan kelayotgan simvollarga bog‘liq holda) mavjud. RAO‘ chiqishida barcha elementlardan birlar kelganda kuchlanish maksimal bo‘ladi. Misol uchun, razryadlar soni  $r=4$  bo‘lsin, u holda diskret darajalar soni  $L=2^4=16$  ga teng va signaling maksimal kuchlanishi shartli ravishda 1 V bo‘ladi. Shunda eng kichik razryadning qiymati 1/16 V, undan keyin keluvchi razryadniki 1/8 V, keyingisiniki 1/4 V va 1/2 V bo‘ladi. ARO‘ dan 0,1111 ko‘rinishida kelayotgan kodlangan so‘zda RAO‘ chiqishidagi kuchlanish  $1/2+1/4+1/8+1/16=15/16$  V (maksimal qiymat), 0,0001 so‘zda esa 1/16 V (minimal qiymat) bo‘ladi. 0,0010 kodli so‘zga 2/16 V, 0,1000 kodli so‘zga 1/2 V va hokazo to‘g‘ri keladi.

Ko'rsatilgan kuchlanishlar RAO' chiqishida  $\tau_0 < T$  vaqt davomida, ba'zida esa yangi ( $\tau_0 = T$ ) kodlangan guruh kirib kelgunicha taqab qo'llab turiladi. Natijada RAO' chiqishida  $s(t)$  signalni filtrlaganda 5.12-rasmda ko'rsatilgan impulslar ketma-ketligi ko'rinishidagi kuchlanish ( $\tau_0 < T$  da) hosil bo'ladi. To'g'riburchakli impulslar amplitudasi ARO' dan kodlangan ko'rinishda keluvchi mos hisoblarga teng.

Bu ketma-ketlikning spektri murakkab tuzilishga ega. RAO' chishida filtr  $f_l/2$  ( $f_l = 1/T$  – impulslar takrorlanish chastotasi) chastotadan kichik yoki teng o'tkazish kengligida chastotaviy interval ajratib, unda signal haqida barcha ma'lumot joylashgan bo'ladi. Shu bilan filtrlangan signalning kontinual shaklini tiklash jarayoni oxiriga yetadi.



5.12-rasm. To'g'riburchak shaklida ko'rinishli impulsarning hisobi.

## 6. Radioaloqada xalaqitga bardoshlik vazifalari

Shovqin va xalaqitlarga qarshi kurashish radiotexnikaning ko'p sohalarida asosiy vazifalardan biri hisoblanadi. Axborotni uzatuvchi tizimlarning xalaqitga yuqori bardoshliligini ta'minlashning bir necha yo'llari mavjud. Masalan, signalni qayta ishlovchi shunday qurilmalar ishlab chiqiladiki, ular ma'lum bir usul bilan xalaqit ta'sirida buzilgan signalni yuqori darajada ajratib olishi mumkin.

Boshqa usulda esa uzatiladigan signalning tuzilishini mukammallashtiriladi, kodlash va modulatsiyaning xalaqitga bardosh usullari qo'llaniladi. Bunday xalaqitga bardoshli signallarga Barker kodlari va chiziqli chastotaviy modulatsiyalangan signallarni misol qilib keltirish mumkin.

## 6.1. Chiziqli chastotaviy filtr yordamida foydali signalni ajratib olish

**Signal/shovqin nisbati.** Xalaqit ta'sirida buzilgan foydali signalni ajratib olish uchun chastotaviy filtrlashdan foydalanish mumkin. Chiziqli statsionar filtrning chastotaviy uzatish koeffitsienti  $K(j\omega)$  shunday tanlangan bo'lsinki,  $|K(j\omega)|$  kattalik qiymailari signal energiyasining asosiy ulushi yig'ilgan chastotalar mintaqasida katta va shovqin quvvatining spektral zichligi katta mintaqada kichik bo'lsin. Bunday filtr kirishiga signal va shovqin yig'indisini berib, chiqishda foydali signal nisbiy ulushining sezilarli darajada ko'payishini olish mumkinligini kutsa bo'ladi.

Chiziqli filtr kirishida foydali  $s_{kir}(t)$  signal va shovqin  $n_{kir}(t)$  yig'indisidan iborat kirish signali mavjud bo'lsin:

$$u_{kir}(t) = s_{kir}(t) + n_{kir}(t). \quad (6.1)$$

Bu yerda va keyinchalik bu ikki signalning har biri bir xil markaziy  $\omega_0$  chastotali tor kenglikka ega deb faraz qilinadi. Quyidagi ko'paytmaning o'rtacha qiymati sababli  $s_{kir}$  va  $n_{kir}$  signallar korrelatsiyalanmagan hisoblanadi:

$$\langle s_{kir} n_{kir} \rangle = \lim_{T \rightarrow \infty} \frac{1}{T} \int_0^T s_{kir}(t) n_{kir}(t) dt = 0. \quad (6.2)$$

Shuningdek, bu signallarni vaqt intervalining chegaralanmagan davomiyligida statsionar ekanligini ham faraz qilish kerak.

Filtr kirishidagi tebranishlarning kuchayishini kirish signali o'rtacha kvadrati (o'rtacha quvvati) kattaligi orqali xarakterlash mumkin. U (6.2) tenglik bo'yicha foydali signal va shovqinning o'rtacha kvadratlari yig'indisi hisoblanadi:

$$\langle u_{kir}^2 \rangle = \langle s_{kir}^2 \rangle + \langle n_{kir}^2 \rangle = \langle s_{kir}^2 \rangle + \sigma_{n_{kir}}^2. \quad (6.3)$$

bunda  $\sigma_{n_{kir}}^2$  – kirish shovqinining dispersiyasi.

Signalning nisbiy darajasini ifodalash uchun filtr kirishida signal/shovqin nisbati tushunchasini kiritish lozim va u quyidagicha aniqlanadi:

$$Q_{kir} = \langle s^2_{kir} \rangle / \sigma^2_{nkir} \quad (6.4)$$

yoki logarifmik birlikdagi ko‘rinishda (dB):

$$q_{kir} = 10 \lg(\langle s^2_{kir} \rangle / \sigma^2_{nkir}). \quad (6.5)$$

O‘lchamsiz raqam  $Q_{kir}$  signal darajasini shovqin darajasiga nisbatan nihoyatda to‘liq emas va taxminan xarakterlashini ta’kidlash zarur. Bu nisbat bilan faqat signal va shovqinning realizatsiyasi qandaydir ma’noda bir-biriga “o‘xshash” ekanligi oldindan ma’lum bo‘lgandagina foydalanish mumkin. Kirish shovqini, odatda, tor polosali tasodifiy jarayon modeli orqali yaxshi ifodalananadi. Berilgan shovqinni alohida realizatsiyalari kvazigarmonik tebranishlar ko‘rinishidan iborat bo‘ladi. Tabiiyki, bu holda (6.4) ifoda orqali AM yoki ChM ko‘rinishida modulatsiyalangan foydali signallarning darajasini baholash uchun foydalanish mumkin.

**Filtr chiqishida signal/shovqin nisbati.** Chiziqli filtr superpozitsiya tamoyiliga bo‘ysunadi. Signal va shovqin bunday filtr tomonidan mustaqil qayta ishlanadi va chiqishda

$$\langle u^2_{chiq} \rangle = \langle s^2_{chiq} \rangle + \sigma^2_{nchiq} \quad (6.6)$$

o‘rtacha kvadratli  $u_{chiq}(t) = s_{chiq}(t) + n_{chiq}(t)$  signalni hosil qiladi.

Bu esa filtr chiqishida quyidagi signal/shovqin nisbatini kiritishga imkon beradi:

$$Q_{chiq} = \langle s^2_{chiq} \rangle / \sigma^2_{nchiq} \quad (6.7)$$

yoki logarifmik birliklarda

$$q_{chiq} = 10 \lg(\langle s^2_{chiq} \rangle / \sigma^2_{nchiq}). \quad (6.8)$$

Signal/shovqin nisbati bo‘yicha quyidagi kattalikni filtrning yutug‘i deb atash mumkin:

$$M_F = Q_{chiq}/Q_{kir}. \quad (6.9)$$

U ham detsibellarda ifodalanishi mumkin:

$$m_F = q_{chiq} - q_{kir}. \quad (6.10)$$

Ko‘rinib turganidek, agar  $M_F > 1$  bo‘lsa, ya’ni  $m_F > 0$  da signal va shovqin yig‘indisini filtrlash biz tomondan qabul qilingan kriteriy ma’nosida ijobiy natijaga olib keladi – foydali signalning chiqishda nisbiy darajasi ko‘payadi.

Radiotizimning normal ishlashi uchun yetarli bo‘lgan signal/shovqin nisbatining qaysi qiymati ma’qul degan savolga javob butunlay tizimning mo‘ljallanganligi va qo‘yilgan barcha texnik talablar to‘plamiga bog‘liq bo‘ladi.

## 6.2. Shakli ma’lum signallarni optimal chiziqli filtrlash

**Optimal chiziqli filtr** deb signal va shovqin yig‘indisini ma’lum bir usul bilan yuqori darajada qayta ishlovchi chastotaviy-tanlovchi tizimga aytildi.

Shakli ma’lum signal va shovqinning yig‘indisini optimal qayta ishlash muammosi misol uchun radiolokatsiyada sodir bo‘ladi. Bu yerda qabul qilingan foydali  $s_{qab}(t)$  signal uzatilgan  $s_{uzat}(t)$  signalning aniq masshtabli nusxasi hisoblanadi, ya’ni

$$s_{qab}(t) = A s_{uzat}(t - \tau).$$

bunda  $A \ll 1$  o‘zgarmas son.

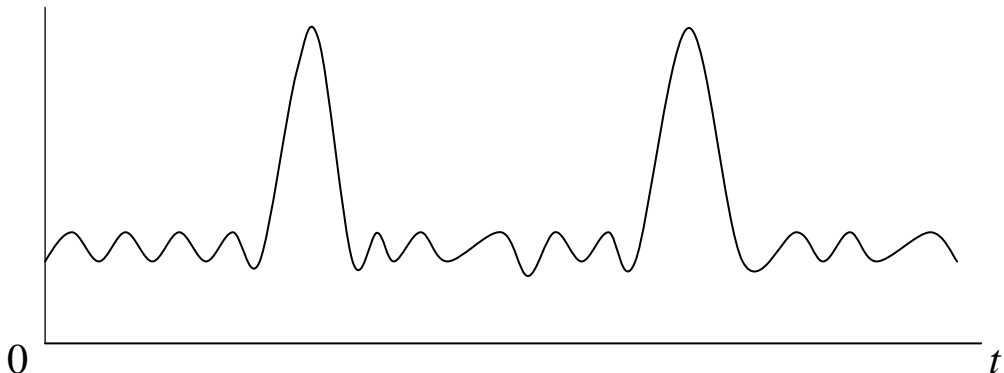
Qabul qilingan signalning amplitudasi juda kichik va qabul qilgichning kirishida shovqinning samarali kuchlanishi bilan taqqoslanishi mumkin.

Radiolokatorning qabul qiluvchi qurilmasi quyidagi operatsiyalarini bajaradi:

a) signalni topadi, ya’ni qabul qilingan tebranishda aks ettirilgan signalning mavjudligini faktning o‘zi tasdiqlaydi;

b) mo‘ljalgacha proporsional bo‘lgan masofani kechiktirish  $\tau$  vaqtini o‘lchaydi.

Radiolokatsion tizimning ishlashida foydali signalning shaklini saqlash talab etilmaydi. Undan tashqari qayta ishlash jarayonida foydali signalni shunday transformatsiyalash kerakki, uning filtr kirishiga berilishi vaqtning ma’lum momentida chiqish tebranishining oniy qiymatlarini yetarlicha ko‘tarilishiga olib kelishi mumkin bo‘lsin (6.1-rasm). Shovqin signali Gauss jarayoni bo‘lmish katta ko‘tarilishlarning kam ehtimolligi bilan tavsiflanadi.



6.1-rasm. Foydali signalning shovqin sathidan ko‘tarilishi.

Shuning uchun chiqish signali vaqtning ba’zi momentlarida shovqinning samarali kuchlanishidan ustun bo‘lsada, bu yuqori ehtimollik bilan qabul qilgich kirishida foydali signalning mavjudligini tasdiqlaydi.

**Chiziqli moslashgan filtr.** Signal va shovqin yig‘indisini qayta ishlovchi tizim  $h(t)$  impuls tavsifnomali statsionar chiziqli filtr bo‘lsin. Determinlangan foydali  $s_{kir}(t)$  signal filtr chiqishida quyidagi aks javobni hosil qiladi:

$$s_{chiq}(t) = \int_{-\infty}^{\infty} s_{kir}(\tau) h(t - \tau) d\tau.$$

Qandaydir, hozircha ixtiyoriy vaqt  $t_0$  momentini belgilab olib va  $h(t)$  funksiyani shunday tanlaylikki,  $|s_{chiq}(t_0)|$  kattalik maksimal mumkin bo‘lgan qiymatga yetsin. Agar bunday funksiya haqiqatan mavjud bo‘lsa, u holda unga javob beradigan chiziqli filtrni berilgan kirish signali bilan moslashgan filtr yoki *moslashgan filtr* deyiladi.

Shunday qilib, quyidagi ifoda modul bo'yicha maksimallash-tirilishi lozim bo'lgan filtr chiqishidagi aks javobi bo'lsin:

$$s_{chiq}(t_0) = \int_{-\infty}^{\infty} s_{kir}(\tau) h(t_0 - \tau) d\tau. \quad (6.11)$$

Koshi-Bunyakovskiy tengsizligiga asosan:

$$\left| \int_{-\infty}^{\infty} s_{kir}(\tau) h(t_0 - \tau) d\tau \right| \leq \left[ \int_{-\infty}^{\infty} s_{kir}^2(\tau) d\tau \int_{-\infty}^{\infty} h^2(t_0 - \tau) d\tau \right]^{1/2}. \quad (6.12)$$

Tenglik ishorasi integral osti ifodasidagi ham ko'paytuvchilar bir-biriga proporsional bo'lgandagina o'rnlidir:

$$h(t_0 - \tau) = k s_{kir}(\tau), \quad (6.13)$$

bunda  $k$  – ixtiyoriy koeffitsient.

$t$  o'zgaruvchini  $t=t_0-\tau$  shakliy almastirishni bajarib, undan quyidini olamiz:

$$h_{mos}(t) = k s_{kir}(t_0 - t). \quad (6.14)$$

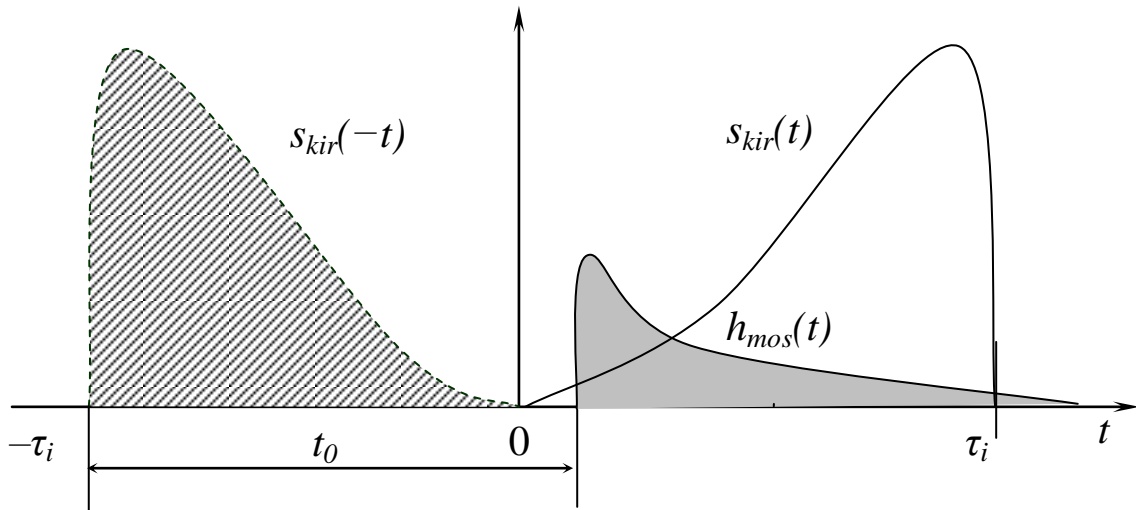
Yuqorida ko'rsatilganlarga asosan, moslashgan filtrning impuls Tavsifnomasi kirish signalning masshtabli nusxasi ko'rinishida bo'ladi, lekin u vaqt o'qi bo'ylab oynaviy tartibda joylashadi (buni (6.14) ifodada  $t$  o'zgaruvchining manfiy ishorasi ko'rsatib turibdi). Undan tashqari moslashgan filtrning impuls tavsifnomasi  $s_{kir}(-t)$  signalga nisbatan  $t_0$  oraliqqa surilgan.

6.2-rasm  $h_{mos}(t)$  funksiyani  $t=0$  da sodir bo'luvchi  $\tau_i$  davomiylikka ega  $s_{kir}(t)$  impuls signalga tegishli holda qurish prinsipini namoyon qiladi.

6.2-rasmdagi tavsifnoma qurilishini tahlil qilgan holda moslashgan filtrni fizikaviy ishlab chiqish uchun zarur (lekin yetarlicha emas) shartni tariflash mumkin: kirishda impuls boshlanishi va maksimal chiqish reaksiyasi sodir bo'lish momenti orasidagi  $t_0$  vaqt oralig'i chiqayotgan impuls davomiyligidan kam bo'lmassligi kerak.

Aks holda tizimning impuls tavsifnomasi  $t < 0$  da noldan farqlanuvchi bo‘lar edi, ya’ni, filtr kirishiga delta-impuls berilish momentigacha.

Bu shartning ma’nosi quyidagicha: chiqishda signalning maksimal mumkin bo‘lgan oniy qiymatini hosil qilish uchun moslashgan filtr butun kirish signalini qayta ishlashni oldindan amalga oshirishi lozim.



6.2-rasm. Moslashgan filtr impuls tavsifnomasining qurilishi

### 6.3. Moslashgan filtrlarni ishlab chiqish

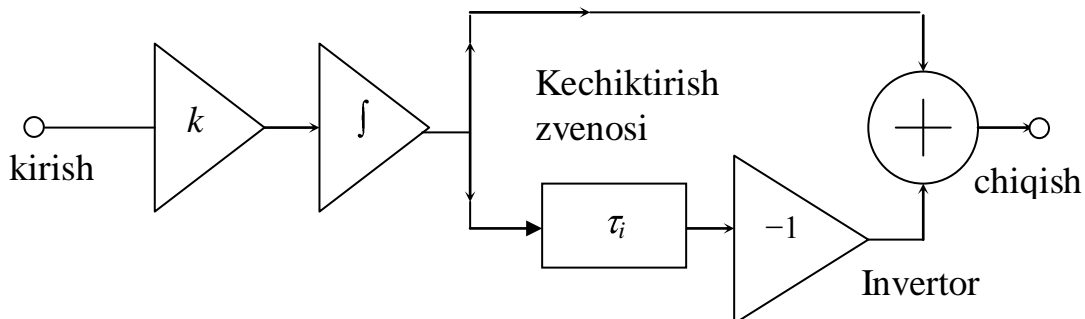
**To‘g‘ri burchakli videoimpuls uchun moslashgan filtr.** To‘g‘ri burchak shakldagi ma’lum  $\tau_i$  davomiylikka va ixtiyoriy  $U_0$  amplitudaga ega videoimpuls ko‘rinishdagi  $s_{kir}(t)$  impuls signalni ko‘rib chiqaylik. Bunday signal bilan moslashgan filtr tuzilishini aniqlash uchun spektral usulni qo‘llaymiz. Avval foydali signalning spektral zichligini hisoblaymiz:

$$S_{kir}(\omega) = \int_{-\infty}^{\infty} s_{kir}(t) e^{-j\omega t} dt = U_0 \int_0^{\tau_i} e^{-j\omega t} dt = \frac{U_0}{j\omega} \left[ -e^{-j\omega \tau_i} \right]. \quad (6.15)$$

Moslashgan filtrning chastotaviy uzatish koeffitsientini  $t_0 = \tau_i$  aniqlikni kiritib, ya’ni, filtrning reaksiyasi impuls tugagan momentda maksimal ekanligini hisobga olib quyidagicha aniqlaymiz:

$$K_{MOS} \left( j\omega \right) = k \frac{1 - e^{j\omega \tau_i}}{-j\omega} e^{-j\omega \tau_i} = \frac{k}{j\omega} \left( -e^{-j\omega \tau_i} \right). \quad (6.16)$$

Olingen natija moslashgan filtrni sintezlashga imkon beradi. Haqiqatan, (6.17) ifodaga asosan bunday filtr quyidagi uchta chiziqli zvenolarning kaskadli ulanishidan iborat bo‘lishi kerak: a)  $k$  kuchaytirish koeffitsientli masshtab kuchaytirgich; b) ideal integrator; c)  $K'(j\omega) = 1 - \exp(-j\omega\tau_i)$  uzatish koeffitsientli qurilma. Oxirgi qurilma signal ishorasini o‘zgartiruvchi invertoring signalini  $\tau_i$  vaqtga kechiktiruvchi zveno hamda summator yordamida ishlab chiqiladi. 6.3-rasmda filtrning struktura sxemasi tasvirlangan.



6.3-rasm. To‘g‘riburchakli videoimpuls uchun moslashgan filtrning struktura sxemasi.

**To‘g‘ri burchakli radioimpuls uchun moslashgan filtr.** Ishlab chiqilayotgan signal quyidagi ko‘rinishda berilgan radioimpuls bo‘lsin:

$$s_{kir} \left( t \right) = \begin{cases} 0, & t < 0 \\ U_0 \sin \omega_0 t, & 0 \leq t \leq \tau_i \\ 0, & t > \tau_i \end{cases} \quad (6.17)$$

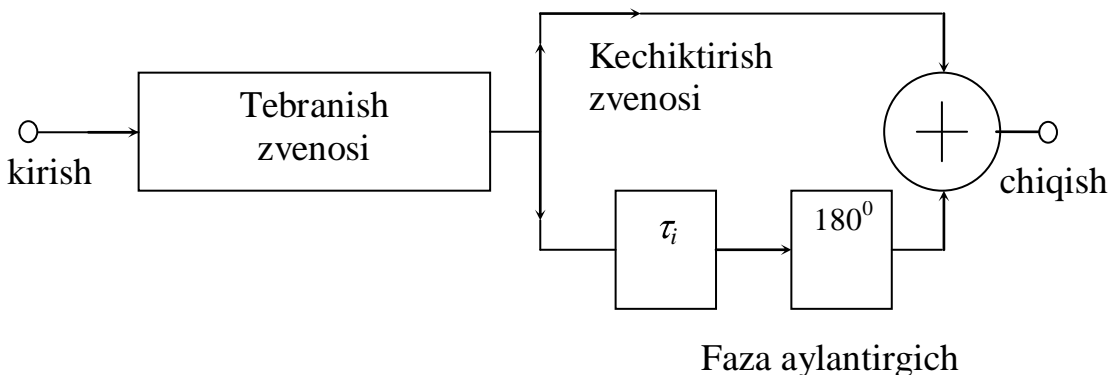
Bunday signal uchun filtrning impuls tavsifnomasi haqida ma’lumotlarni qo‘llagan holda moslashgan filtrni sintezlaymiz.

Moslashgan filtrning impuls tavsifnomasi  $h_{mos}(t) = ks_{kir}(t_0 - t)$  ekanligini oldingi paragrafda ko‘rilgan edi. Soddalashtirish uchun  $t_0 = \tau_i$  va  $\sin \omega_0 \tau_i = 0$  qilib olib impulsning davomiyligini yuqori chastotali to‘ldirish davriga karrali deb hisoblaymiz. U holda impuls tavsifnomasi quyidagicha bo‘ladi:

$$h_{mos}(t) = \begin{cases} 0, & t < 0, \\ k \sin \omega_0 t, & 0 \leq t \leq \tau_i, \\ 0, & t > \tau_i, \end{cases} \quad (6.18)$$

ya’ni moslashgan filtrning impuls tavsifnomasi kirish signalini amplituda bo‘lgichi aniqligida takrorlaydi.

Bunday impuls tavsifnomasini 6.4-rasmda ko‘rsatilgan struktura sxemadagi tizim yordamida taxminan ishlab chiqish mumkin.



6.4-rasm. To‘g‘riburchakli radioimpuls uchun moslashgan filtrning struktura sxemasi.

Filtr kirishida quyidagi impuls tavsifnomali tebranish zvenosi joylashgan (masalan, yuqori asilikka ega tebranish konturi):

$$h_{tebr}(t) = \begin{cases} 0, & t < 0, \\ b \sin \omega_0 t, & t \geq 0, \end{cases}$$

bunda  $b$  – o‘zgarmas kattalik.

Tebranish zvenosi yuqori asilikka ega bo‘lsa, vaqt bo‘yicha amplitudaning eksponensial pasayishini inobatga olmasa bo‘ladi.

Moslashgan filtrning impuls tavsifnomasi  $t > \tau_i$  da nolga teng bo‘lishi uchun sxemada summator qo‘llanilgan. Uning kirishlaridan biriga signal tebranish zvenosining chiqishidan bevosita berilsa, ikkinchisiga  $\tau_i$  soniyaga kechiktirish zvenosi va signal fazasini  $180^\circ$  ga o‘zgartiruvchi fazaaylantirgichlar orqali beriladi. Elementlarning bunday ulanishida vaqtning  $t = \tau_i$  momentidan boshlab summator kirishiga amplitudalari bir xil va fazalari qarama-qarshi bo‘lgan ikki garmonik tebranish ta’sir qilib, summator chiqishidagi signalni nolga aylantiradi.

### **Foydalanilgan adabiyotlar**

#### **Asosiy adabiyotlar**

- 1. Каганов В. И.** Радиотехнические цепи и сигналы. – М.: Высшее образование, 2010.
- 2. Гоноровский И. С.** Радиотехнические цепи и сигналы. – М.: ДРОФА, 2006.
- 3. Баскаков С. И.** Радиотехнические цепи и сигналы. – М.: Высшая школа, 2000.

#### **Qo‘srimcha adabiyotlar**

- 1. Баскаков С. И.** Радиотехнические цепи и сигналы. Руководство к решению задач. – М.: Высшая школа, 2002.
- 2. Радиотехнические цепи и сигналы.** Примеры и задачи. / Под ред. Гоноровского И. С. / М.: Радио и связь, 1989.
- 3. Абдуазизов А. А.** Электр алоқа ва радиотехника асослари. Ўқув қўлланма. – Т.: ТАТУ, 2007.
- 4. Умаров Ф. Ф.** Радиотехник занжирлар ва сигналлар фанидан маъruzалар тўплами. – Т.: ТДТУ, 1999.

#### **Internet saytlari**

- 1. [www.radio.ru](http://www.radio.ru)**
- 2. [www.elektronika.ru](http://www.elektronika.ru)**
- 3. [www.twirpx.com](http://www.twirpx.com)**

## Mundarija

### NOCHIZIQ ZANJIRLI VA RAQAMLI QURILMALAR ..... 3

<b>1. Nochiziqli zanjirlar va ularni tahlil qilish usullari .....</b>	<b>3</b>
1.1. Rezistiv va reaktiv nochiziqli elementlar .....	3
1.2. Nochiziq rezonansli kuchaytirish .....	9
1.3. Chastotani ko‘paytirish .....	14
1.4. Amplituda bo‘yicha chegaralash .....	16
1.5. Signal chastotasini o‘zgartirish .....	19
1.6. Nochiziqli elementlar zanjiriga garmonik signalning ta’siri. Nochiziq zanjirlarda jarayonlarni modellashtirish .....	25
<b>2. Garmonik tebranishlarni generatsiyalash va tebranish tizimlari .....</b>	<b>30</b>
2.1. Avtogeneratorlarda tebranishlarning vujudga kelishi .....	30
2.2. Tebranishlarning vujudga kelishi va o‘sib borishi shartlari ..	33
2.3. Tebranish konturlarida majburiy tebranishlar .....	35
2.4. Tebranish konturlarida o‘tish jarayonlari .....	40
2.5. Garmonik ta’sir ostida parallel konturdagi o‘tish tebranishlari .	44
2.6. Bog‘langan konturlardan iborat tebranish tizimlari .....	47
<b>3. Chastotaviy elektrik filtrlar .....</b>	<b>50</b>
3.1. Filtrlarning chastotaviy tavsifnomalari .....	50
3.2. Filtrlarni sintezlash nazariyasi elementlari .....	52
<b>4. Ichki teskari aloqali avtogeneratorlar .....</b>	<b>58</b>
4.1. Manfiy aktiv qarshilikni konturga kiritish .....	58
4.2. Tunnel diodli avtogenerator .....	59
4.3. Teskari aloqa zanjirida kechiktiruvchi liniyalı avtogenerator ..	61
4.4. RC-generatorlar .....	62
<b>5. Signallarni raqamli qayta ishlash .....</b>	<b>67</b>
5.1. Raqamli qayta ishlashning afzalliliklari. Raqamli filtrlash prinsiplari. Raqamli filtrning impuls va uzatish funksiyalari .....	67
5.2. Diskret signallar va zanjirlarni tahlil qilish usullari .....	76
5.3. Analog-raqam o‘zgartirish. Kvantlash shovqinlari. Raqam-analog o‘zgartirish va kontinual signalni tiklash .....	81

<b>6. Radioaloqada xalaqitga bardoshlik vazifalari . . . . .</b>	<b>85</b>
6.1. Chiziqli chastotaviy filtr yordamida foydali signalni ajratib olish . . . . .	86
6.2. Shakli ma'lum signallarni optimal chiziqli filrlash . . . . .	88
6.3. Moslashgan filrlarni ishlab chiqish . . . . .	91
<b>Foydalaniman adabiyotlar . . . . .</b>	<b>94</b>

Muharrir X. Po'latxo'jayev